

SPIS TREŚCI

	Str.
1. Marian Pasko, Lesław Topór-Kamiński: Modelowanie nieliniowych układów rezystancyjno-przełącznikowych	7
2. Marian Pasko, Tadeusz Świetlicki: Filtry aktywne RC drugiego rzędu o elektronicznie przestrajanych parametrach	19
3. Maciej Siwczynski: Synteza nieliniowych wymiernych układów autonomicznych	31
4. Janusz Walczak: Pewne uwagi o klasycznej definicji indukcyjności ..	43
5. Zofia Cichowska: Twierdzenia Thevenina i Nortona dla układu n-zaciskowego	55
6. Krystyna Stec, Lesław Topór-Kamiński: Zastosowanie rezystancji parametrycznych do poprawy współczynnika mocy	63
7. Zygmunt Garczarczyk: O długości kroku w dyskretnej metodzie kontynuacji	73
8. Andrzej Drygajło: Specjalne układy ortogonalne do filtracji sygnałów dyskretnych	81
9. Andrzej Drygajło: Decymacja sygnałów dyskretnych	89
10. Marian Pasko, Janusz Walczak: Modelowanie portretów fazowych równań stanu w otoczeniu punktu osobliwego za pomocą sprzężonych wzajemnie źródeł sterowanych i elementów RC	101

KOLEGIUM REDAKCYJNE

REDAKTOR NACZELNY — Prof. dr hab. inż. Wiesław Gajda,
 REDAKTOR GŁÓWNY — Doc. dr inż. Zofia Cichowska,
 SEKRETARZ REDAKCJI — Mgr inż. Andrzej Długajko,
 CZŁONKOWIE KOLEGIUM — Prof. dr hab. inż. Adolf Miodowski,
 — Prof. dr inż. Stanisław Matyszkiewicz

СОДЕРЖАНИЕ

Стр.

1. Марян Паско, Леслав Топур-Каминьски: Моделирование нелинейных резистивно-ключевых систем	7
2. Марян Паско, Тадеуш Сьветлицки: Активные фильтры RC-второго порядка с электронной перестройкой параметров	19
3. Мацей Сивчиньски: Синтез нелинейных автономных рациональных систем	31
4. Януш Вальчак: Некоторые замечания о классической дефиниции индуктивности	43
5. Зофия Циховска: Теорема Тевенина и Нортона для — зажимной схемы .	55
6. Кристина Стэц, Леслав Топур-Каминьски: Применение параметрических сопротивлений для улучшения коэффициента мощности	63
7. Зигмунт Гарчарчик: О длине шага в дискретном методе продолжения решения по параметру	73
8. Анджей Дрыгайло: Специальные ортогональные системы для фильтрации дискретных сигналов	81
9. Анджей Дрыгайло: Децимация дискретных сигналов	89
10. Марян Паско, Януш Вальчак: Моделирование фазовых портретов обих линейных цепей при помощи сопряжённых взаимно регулируемых источников и элементов RC	

PL 1535 002-803

Wydawnictwo Politechniki Śląskiej
 ul. Krzywobłocka 2, 41-100 Gliwice

Wydawnictwo Politechniki Śląskiej, ul. Krzywobłocka 2, 41-100 Gliwice, tel. 034 231 11 11, 231 11 12, 231 11 13, 231 11 14, 231 11 15, 231 11 16, 231 11 17, 231 11 18, 231 11 19, 231 11 20, 231 11 21, 231 11 22, 231 11 23, 231 11 24, 231 11 25, 231 11 26, 231 11 27, 231 11 28, 231 11 29, 231 11 30, 231 11 31, 231 11 32, 231 11 33, 231 11 34, 231 11 35, 231 11 36, 231 11 37, 231 11 38, 231 11 39, 231 11 40, 231 11 41, 231 11 42, 231 11 43, 231 11 44, 231 11 45, 231 11 46, 231 11 47, 231 11 48, 231 11 49, 231 11 50, 231 11 51, 231 11 52, 231 11 53, 231 11 54, 231 11 55, 231 11 56, 231 11 57, 231 11 58, 231 11 59, 231 11 60, 231 11 61, 231 11 62, 231 11 63, 231 11 64, 231 11 65, 231 11 66, 231 11 67, 231 11 68, 231 11 69, 231 11 70, 231 11 71, 231 11 72, 231 11 73, 231 11 74, 231 11 75, 231 11 76, 231 11 77, 231 11 78, 231 11 79, 231 11 80, 231 11 81, 231 11 82, 231 11 83, 231 11 84, 231 11 85, 231 11 86, 231 11 87, 231 11 88, 231 11 89, 231 11 90, 231 11 91, 231 11 92, 231 11 93, 231 11 94, 231 11 95, 231 11 96, 231 11 97, 231 11 98, 231 11 99, 231 11 100, 231 11 101, 231 11 102, 231 11 103, 231 11 104, 231 11 105, 231 11 106, 231 11 107, 231 11 108, 231 11 109, 231 11 110, 231 11 111, 231 11 112, 231 11 113, 231 11 114, 231 11 115, 231 11 116, 231 11 117, 231 11 118, 231 11 119, 231 11 120, 231 11 121, 231 11 122, 231 11 123, 231 11 124, 231 11 125, 231 11 126, 231 11 127, 231 11 128, 231 11 129, 231 11 130, 231 11 131, 231 11 132, 231 11 133, 231 11 134, 231 11 135, 231 11 136, 231 11 137, 231 11 138, 231 11 139, 231 11 140, 231 11 141, 231 11 142, 231 11 143, 231 11 144, 231 11 145, 231 11 146, 231 11 147, 231 11 148, 231 11 149, 231 11 150, 231 11 151, 231 11 152, 231 11 153, 231 11 154, 231 11 155, 231 11 156, 231 11 157, 231 11 158, 231 11 159, 231 11 160, 231 11 161, 231 11 162, 231 11 163, 231 11 164, 231 11 165, 231 11 166, 231 11 167, 231 11 168, 231 11 169, 231 11 170, 231 11 171, 231 11 172, 231 11 173, 231 11 174, 231 11 175, 231 11 176, 231 11 177, 231 11 178, 231 11 179, 231 11 180, 231 11 181, 231 11 182, 231 11 183, 231 11 184, 231 11 185, 231 11 186, 231 11 187, 231 11 188, 231 11 189, 231 11 190, 231 11 191, 231 11 192, 231 11 193, 231 11 194, 231 11 195, 231 11 196, 231 11 197, 231 11 198, 231 11 199, 231 11 200, 231 11 201, 231 11 202, 231 11 203, 231 11 204, 231 11 205, 231 11 206, 231 11 207, 231 11 208, 231 11 209, 231 11 210, 231 11 211, 231 11 212, 231 11 213, 231 11 214, 231 11 215, 231 11 216, 231 11 217, 231 11 218, 231 11 219, 231 11 220, 231 11 221, 231 11 222, 231 11 223, 231 11 224, 231 11 225, 231 11 226, 231 11 227, 231 11 228, 231 11 229, 231 11 230, 231 11 231, 231 11 232, 231 11 233, 231 11 234, 231 11 235, 231 11 236, 231 11 237, 231 11 238, 231 11 239, 231 11 240, 231 11 241, 231 11 242, 231 11 243, 231 11 244, 231 11 245, 231 11 246, 231 11 247, 231 11 248, 231 11 249, 231 11 250, 231 11 251, 231 11 252, 231 11 253, 231 11 254, 231 11 255, 231 11 256, 231 11 257, 231 11 258, 231 11 259, 231 11 260, 231 11 261, 231 11 262, 231 11 263, 231 11 264, 231 11 265, 231 11 266, 231 11 267, 231 11 268, 231 11 269, 231 11 270, 231 11 271, 231 11 272, 231 11 273, 231 11 274, 231 11 275, 231 11 276, 231 11 277, 231 11 278, 231 11 279, 231 11 280, 231 11 281, 231 11 282, 231 11 283, 231 11 284, 231 11 285, 231 11 286, 231 11 287, 231 11 288, 231 11 289, 231 11 290, 231 11 291, 231 11 292, 231 11 293, 231 11 294, 231 11 295, 231 11 296, 231 11 297, 231 11 298, 231 11 299, 231 11 300, 231 11 301, 231 11 302, 231 11 303, 231 11 304, 231 11 305, 231 11 306, 231 11 307, 231 11 308, 231 11 309, 231 11 310, 231 11 311, 231 11 312, 231 11 313, 231 11 314, 231 11 315, 231 11 316, 231 11 317, 231 11 318, 231 11 319, 231 11 320, 231 11 321, 231 11 322, 231 11 323, 231 11 324, 231 11 325, 231 11 326, 231 11 327, 231 11 328, 231 11 329, 231 11 330, 231 11 331, 231 11 332, 231 11 333, 231 11 334, 231 11 335, 231 11 336, 231 11 337, 231 11 338, 231 11 339, 231 11 340, 231 11 341, 231 11 342, 231 11 343, 231 11 344, 231 11 345, 231 11 346, 231 11 347, 231 11 348, 231 11 349, 231 11 350, 231 11 351, 231 11 352, 231 11 353, 231 11 354, 231 11 355, 231 11 356, 231 11 357, 231 11 358, 231 11 359, 231 11 360, 231 11 361, 231 11 362, 231 11 363, 231 11 364, 231 11 365, 231 11 366, 231 11 367, 231 11 368, 231 11 369, 231 11 370, 231 11 371, 231 11 372, 231 11 373, 231 11 374, 231 11 375, 231 11 376, 231 11 377, 231 11 378, 231 11 379, 231 11 380, 231 11 381, 231 11 382, 231 11 383, 231 11 384, 231 11 385, 231 11 386, 231 11 387, 231 11 388, 231 11 389, 231 11 390, 231 11 391, 231 11 392, 231 11 393, 231 11 394, 231 11 395, 231 11 396, 231 11 397, 231 11 398, 231 11 399, 231 11 400, 231 11 401, 231 11 402, 231 11 403, 231 11 404, 231 11 405, 231 11 406, 231 11 407, 231 11 408, 231 11 409, 231 11 410, 231 11 411, 231 11 412, 231 11 413, 231 11 414, 231 11 415, 231 11 416, 231 11 417, 231 11 418, 231 11 419, 231 11 420, 231 11 421, 231 11 422, 231 11 423, 231 11 424, 231 11 425, 231 11 426, 231 11 427, 231 11 428, 231 11 429, 231 11 430, 231 11 431, 231 11 432, 231 11 433, 231 11 434, 231 11 435, 231 11 436, 231 11 437, 231 11 438, 231 11 439, 231 11 440, 231 11 441, 231 11 442, 231 11 443, 231 11 444, 231 11 445, 231 11 446, 231 11 447, 231 11 448, 231 11 449, 231 11 450, 231 11 451, 231 11 452, 231 11 453, 231 11 454, 231 11 455, 231 11 456, 231 11 457, 231 11 458, 231 11 459, 231 11 460, 231 11 461, 231 11 462, 231 11 463, 231 11 464, 231 11 465, 231 11 466, 231 11 467, 231 11 468, 231 11 469, 231 11 470, 231 11 471, 231 11 472, 231 11 473, 231 11 474, 231 11 475, 231 11 476, 231 11 477, 231 11 478, 231 11 479, 231 11 480, 231 11 481, 231 11 482, 231 11 483, 231 11 484, 231 11 485, 231 11 486, 231 11 487, 231 11 488, 231 11 489, 231 11 490, 231 11 491, 231 11 492, 231 11 493, 231 11 494, 231 11 495, 231 11 496, 231 11 497, 231 11 498, 231 11 499, 231 11 500, 231 11 501, 231 11 502, 231 11 503, 231 11 504, 231 11 505, 231 11 506, 231 11 507, 231 11 508, 231 11 509, 231 11 510, 231 11 511, 231 11 512, 231 11 513, 231 11 514, 231 11 515, 231 11 516, 231 11 517, 231 11 518, 231 11 519, 231 11 520, 231 11 521, 231 11 522, 231 11 523, 231 11 524, 231 11 525, 231 11 526, 231 11 527, 231 11 528, 231 11 529, 231 11 530, 231 11 531, 231 11 532, 231 11 533, 231 11 534, 231 11 535, 231 11 536, 231 11 537, 231 11 538, 231 11 539, 231 11 540, 231 11 541, 231 11 542, 231 11 543, 231 11 544, 231 11 545, 231 11 546, 231 11 547, 231 11 548, 231 11 549, 231 11 550, 231 11 551, 231 11 552, 231 11 553, 231 11 554, 231 11 555, 231 11 556, 231 11 557, 231 11 558, 231 11 559, 231 11 560, 231 11 561, 231 11 562, 231 11 563, 231 11 564, 231 11 565, 231 11 566, 231 11 567, 231 11 568, 231 11 569, 231 11 570, 231 11 571, 231 11 572, 231 11 573, 231 11 574, 231 11 575, 231 11 576, 231 11 577, 231 11 578, 231 11 579, 231 11 580, 231 11 581, 231 11 582, 231 11 583, 231 11 584, 231 11 585, 231 11 586, 231 11 587, 231 11 588, 231 11 589, 231 11 590, 231 11 591, 231 11 592, 231 11 593, 231 11 594, 231 11 595, 231 11 596, 231 11 597, 231 11 598, 231 11 599, 231 11 600, 231 11 601, 231 11 602, 231 11 603, 231 11 604, 231 11 605, 231 11 606, 231 11 607, 231 11 608, 231 11 609, 231 11 610, 231 11 611, 231 11 612, 231 11 613, 231 11 614, 231 11 615, 231 11 616, 231 11 617, 231 11 618, 231 11 619, 231 11 620, 231 11 621, 231 11 622, 231 11 623, 231 11 624, 231 11 625, 231 11 626, 231 11 627, 231 11 628, 231 11 629, 231 11 630, 231 11 631, 231 11 632, 231 11 633, 231 11 634, 231 11 635, 231 11 636, 231 11 637, 231 11 638, 231 11 639, 231 11 640, 231 11 641, 231 11 642, 231 11 643, 231 11 644, 231 11 645, 231 11 646, 231 11 647, 231 11 648, 231 11 649, 231 11 650, 231 11 651, 231 11 652, 231 11 653, 231 11 654, 231 11 655, 231 11 656, 231 11 657, 231 11 658, 231 11 659, 231 11 660, 231 11 661, 231 11 662, 231 11 663, 231 11 664, 231 11 665, 231 11 666, 231 11 667, 231 11 668, 231 11 669, 231 11 670, 231 11 671, 231 11 672, 231 11 673, 231 11 674, 231 11 675, 231 11 676, 231 11 677, 231 11 678, 231 11 679, 231 11 680, 231 11 681, 231 11 682, 231 11 683, 231 11 684, 231 11 685, 231 11 686, 231 11 687, 231 11 688, 231 11 689, 231 11 690, 231 11 691, 231 11 692, 231 11 693, 231 11 694, 231 11 695, 231 11 696, 231 11 697, 231 11 698, 231 11 699, 231 11 700, 231 11 701, 231 11 702, 231 11 703, 231 11 704, 231 11 705, 231 11 706, 231 11 707, 231 11 708, 231 11 709, 231 11 710, 231 11 711, 231 11 712, 231 11 713, 231 11 714, 231 11 715, 231 11 716, 231 11 717, 231 11 718, 231 11 719, 231 11 720, 231 11 721, 231 11 722, 231 11 723, 231 11 724, 231 11 725, 231 11 726, 231 11 727, 231 11 728, 231 11 729, 231 11 730, 231 11 731, 231 11 732, 231 11 733, 231 11 734, 231 11 735, 231 11 736, 231 11 737, 231 11 738, 231 11 739, 231 11 740, 231 11 741, 231 11 742, 231 11 743, 231 11 744, 231 11 745, 231 11 746, 231 11 747, 231 11 748, 231 11 749, 231 11 750, 231 11 751, 231 11 752, 231 11 753, 231 11 754, 231 11 755, 231 11 756, 231 11 757, 231 11 758, 231 11 759, 231 11 760, 231 11 761, 231 11 762, 231 11 763, 231 11 764, 231 11 765, 231 11 766, 231 11 767, 231 11 768, 231 11 769, 231 11 770, 231 11 771, 231 11 772, 231 11 773, 231 11 774, 231 11 775, 231 11 776, 231 11 777, 231 11 778, 231 11 779, 231 11 780, 231 11 781, 231 11 782, 231 11 783, 231 11 784, 231 11 785, 231 11 786, 231 11 787, 231 11 788, 231 11 789, 231 11 790, 231 11 791, 231 11 792, 231 11 793, 231 11 794, 231 11 795, 231 11 796, 231 11 797, 231 11 798, 231 11 799, 231 11 800, 231 11 801, 231 11 802, 231 11 803, 231 11 804, 231 11 805, 231 11 806, 231 11 807, 231 11 808, 231 11 809, 231 11 810, 231 11 811, 231 11 812, 231 11 813, 231 11 814, 231 11 815, 231 11 816, 231 11 817, 231 11 818, 231 11 819, 231 11 820, 231 11 821, 231 11 822, 231 11 823, 231 11 824, 231 11 825, 231 11 826, 231 11 827, 231 11 828, 231 11 829, 231 11 830, 231 11 831, 231 11 832, 231 11 833, 231 11 834, 231 11 835, 231 11 836, 231 11 837, 231 11 838, 231 11 839, 231 11 840, 231 11 841, 231 11 842, 231 11 843, 231 11 844, 231 11 845, 231 11 846, 231 11 847, 231 11 848, 231 11 849, 231 11 850, 231 11 851, 231 11 852, 231 11 853, 231 11 854, 231 11 855, 231 11 856, 231 11 857, 231 11 858, 231 11 859, 231 11 860, 231 11 861, 231 11 862, 231 11 863, 231 11 864, 231 11 865, 231 11 866, 231 11 867, 231 11 868, 231 11 869, 231 11 870, 231 11 871, 231 11 872, 231 11 873, 231 11 874, 231 11 875, 231 11 876, 231 11 877, 231 11 878, 231 11 879, 231 11 880, 231 11 881, 231 11 882, 231 11 883, 231 11 884, 231 11 885, 231 11 886, 231 11 887, 231 11 888, 231 11 889, 231 11 890, 231 11 891, 231 11 892, 231 11 893, 231 11 894, 231 11 895, 231 11 896, 231 11 897, 231 11 898, 231 11 899, 231 11 900, 231 11 901, 231 11 902, 231 11 903, 231 11 904, 231 11 905, 231 11 906, 231 11 907, 231 11 908, 231 11 909, 231 11 910, 231 11 911, 231 11 912, 231 11 913, 231 11 914, 231 11 915, 231 11 916, 231 11 917, 231 11 918, 231 11 919, 231 11 920, 231 11 921, 231 11 922, 231 11 923, 231 11 924, 231 11 925, 231 11 926, 231 11 927, 231 11 928, 231 11 929, 231 11 930, 231 11 931, 231 11 932, 231 11 933, 231 11 934, 231 11 935, 231 11 936, 231 11 937, 231 11 938, 231 11 939, 231 11 940, 231 11 941, 231 11 942, 231 11 943, 231 11 944, 231 11 945, 231 11 946, 231 11 947, 231 11 948, 231 11 949, 231 11 950, 231 11 951, 231 11 952, 231 11 953, 231 11 954, 231 11 955, 231 11 956, 231 11 957, 231 11 958, 231 11 959, 231 11 960, 231 11 961, 231 11 962, 231 11 963, 23

WYDZIAŁ ELEKTROTECHNIKI I ELEKTRONIKI

CONTENTS

	Page
1. Marian Pasko, Lesław Topór-Kamiński: Modeling of nonlinear switched resistive-networks	7
2. Marian Pasko, Tadeusz Świetlicki: The second order active RC filters variable parameters	19
3. Maciej Siwczynski: Nonlinear rational autonomous systems synthesis	31
4. Janusz Walczak: Some remarks about classical definition of inductance	43
5. Zofia Cichowska: Thevenins's and Norton's theorems for the n-terminal system	55
6. Krystyna Stec, Lesław Topór-Kamiński: The use of timevarying linear resistances for the improvement of power factor	63
7. Zygmunt Garczarczyk: About stepsize in the discrete continuation method	73
8. Andrzej Drygajło: Special orthogonal systems for discrete signal filtering	81
9. Andrzej Drygajło: Decimation of discrete signals	89
10. Marian Pasko, Janusz Walczak: The modelling of phase portrait of state equations in the method of critical points with mutually coupled controlled sources and RC-elements	101

1. WSTĘP

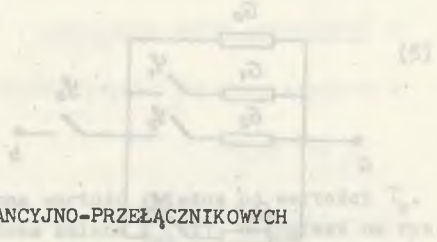
W niniejszym artykule przedstawiono wyniki badań nad nieliniowymi sieciami rezystywnymi. Wskazano na możliwość zastosowania takich sieci w układach [1]. Istotną wadą takich układów jest powstanie zjawiska rezonansu, które prowadzi do niekorzystnych skutków. W niniejszym artykule przedstawiono sposób na wyeliminowanie tego zjawiska. Wskazano na możliwość zastosowania takich sieci w układach [2]. Istotną wadą takich układów jest powstanie zjawiska rezonansu, które prowadzi do niekorzystnych skutków. W niniejszym artykule przedstawiono sposób na wyeliminowanie tego zjawiska. Wskazano na możliwość zastosowania takich sieci w układach [3].

2. PRZYKŁADY UKŁADÓW

Na rys. 1 przedstawiono przykład nieliniowej struktury sieciowej $G(s)$ realizowanej przy użyciu nieliniowych elementów [4]. W niniejszym artykule przedstawiono sposób na wyeliminowanie tego zjawiska. Wskazano na możliwość zastosowania takich sieci w układach [5].

Marian PASKO
Lesław TOPOR-KAMIŃSKI

Instituł Podstawowych Problemów
Elektroniki i Energoelektroniki
Politechniki Śląskiej



MODELOWANIE NIELINIOWYCH UKŁADÓW REZYSTANCYJNO-PRZEŁĄCZNIKOWYCH

Streszczenie. Przedstawiono zasadę działania sieci rezystancyjno-przełącznikowych modelujących rezystancje sieci nieliniowe. Przebiegi sterujące pracą kluczy są okresowe o stałym lub zmiennym czasie załączania. Zmienny czas zadziałania kluczy uzależniony jest od wartości zewnętrznego sygnału napięciowego. Zmienne zaciskowe układów rozpatruje się jako uśrednione za okres przebiegu sterującego klucza. Podano przykłady syntezy układów R - przełącznik opierając się na strukturze równoległej gałęzi RS , realizujących funkcje nieliniowe monotoniczne wklęsłe i wypukłe. Syntezę można przeprowadzić dwoma metodami poprzez rozkład funkcji przyrostów konduktancji pionowej i poziomej, otrzymując w każdej z nich inne wartości konduktancji gałęziowych oraz kształty sygnałów sterujących kluczami. Zrealizowany przykładowo dwójnik nieliniowy R - przełącznikowy zastosowano w układzie ze wzmacniaczem operacyjnym w celu otrzymania nieliniowych charakterystyk napięciowo-napięciowych. Otrzymane wyniki przedstawiono w postaci krzywych średniej wartości sygnału wyjścia w funkcji sygnału wejściowego zdjętych za pomocą pisaka $X - Y$.

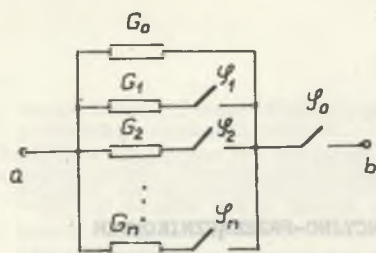
1. Wstęp

Obwody rezystancyjno-przełącznikowe pozwalają na budowę dwójników, których rezystancja zależna jest od stanu przełączników zmieniających się w czasie [5]. Jeżeli w takim układzie stan pewnych przełączników jest sterowany sygnałem elektrycznym, to zależność między tym sygnałem a wybraną zmienną zaciskową w układzie może być funkcją nieliniową, przyjmując jako zmienne średnie wartości tych wielkości za pewien okres czasu. W układach przełącznikowych można sterować czasem działania przełącznika, przy czym zmieniać się on może w stosunku do pewnego stałego okresu działania będącego okresem uśrednienia [3].

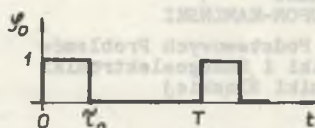
2. Podstawowy dwójnik modelujący

Na rys. 1 przedstawiona jest proponowana struktura dwójnika $g(t)$ rezystancyjno-przełącznikowego złożona z n równoległych gałęzi RS , w których przełączniki włączane są zgodnie z funkcjami φ_k o postaci stałej w stosunku

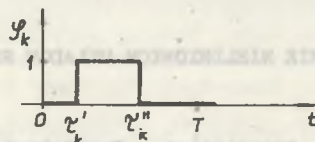
do zadanego okresu T , natomiast funkcja φ_0 sterująca kluczem szeregowym względem wszystkich gałęzi jest zmienna sygnałem zewnętrznym x (rys. 2).



Rys. 1



Rys. 2



Konduktancję dwójnika z rys. 1 między zaciskami ab opisuje relacja:

$$g_{ab}(t) = \varphi_0(G_0 + \sum_{k=1}^n G_k \varphi_k). \quad (1)$$

Wartość średnia tej konduktancji za okres T wynosi:

$$\bar{g}_{ab} = \frac{1}{T} \int_0^T g_{ab} dt = \frac{1}{T} \int_0^T \varphi_0(G_0 + \sum_{k=1}^n G_k \varphi_k) dt. \quad (2)$$

Zakładamy, że czas τ_0 impulsu φ_0 jest wartością zmienną, więc średnia przewodność \bar{g}_{ab} jest jego funkcją, zatem:

$$\bar{g}_{ab}(\tau_0) = \frac{1}{T} \int_0^{\tau_0} g_{ab} dt. \quad (3)$$

Funkcje φ_k są funkcjami o postaci przedstawionej na rys. 2, stąd wyrażenie $\sum_{k=1}^n G_k \varphi_k$ jest funkcją schodkową o skokowych zmianach wartości w punktach τ'_k i τ''_k . Punktów tych jest maksimum $2n$, gdyż niektóre z nich mogą być równe 0 lub T . Można je zatem ogólnie nazwać punktami λ_1 do λ_{2n} , przy czym $0 < 1 \leq 2n$. Stąd wartość średnia konduktancji dla $\tau_0 = T$ wynosi:

$$\bar{g}_{ab} = \frac{1}{T} \left[\int_0^{\lambda_1} \sum G_k \varphi_k dt + \int_{\lambda_1}^{\lambda_2} \sum G_k \varphi_k dt + \dots + \int_{\lambda_{2n}}^T \sum G_k \varphi_k dt \right], \quad (4)$$

gdzie $G_k \varphi_k$ w każdej całce są tylko konduktancjami pewnych wybranych gałęzi (stąd brak wskaźników przy sumach).

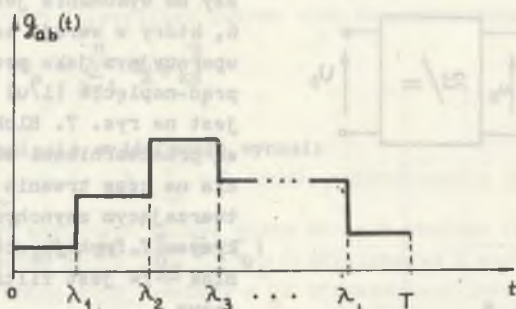
Ostatecznie:

$$\overline{G_{ab}} = \frac{1}{T} \sum_{n=1}^{l+1} \int_{\lambda_{n-1}}^{\lambda_n} (\sum G_k \varphi_k) dt \quad (5)$$

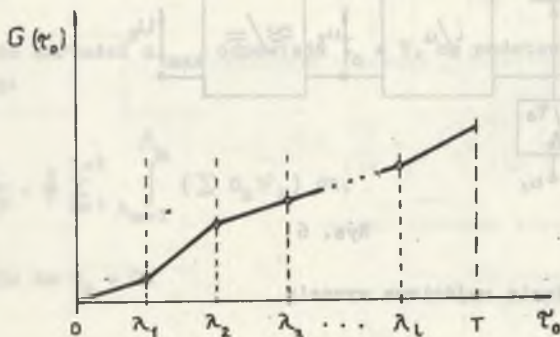
przy czym $\lambda_0 = 0$, $\lambda_{l+1} = T$.

Dla $\tau_0 < T$, $\overline{G_{ab}}$ przybiera odpowiednio inną wartość zależną od wartości τ_0 .

Na rys. 3 przedstawiona jest przykładowa zmiana $g_{ab}(t)$, natomiast na rys. 4 jej wartość średnia w funkcji długości τ_0 impulsu φ_0 .



Rys. 3



Rys. 4

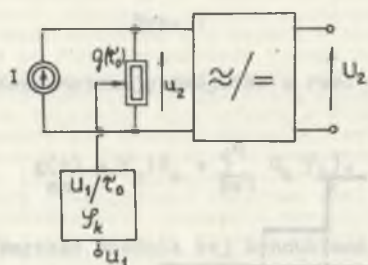
Jak wynika z przytoczonych zależności, na skutek skokowych zmian zmiennej konduktancji $g(t)$ (funkcja schodkowa) można jedynie modelować G jako funkcję odcinkami liniową.

3. Praktyczny układ modelujący

W praktyce zachodzi najczęściej konieczność realizacji zależności:

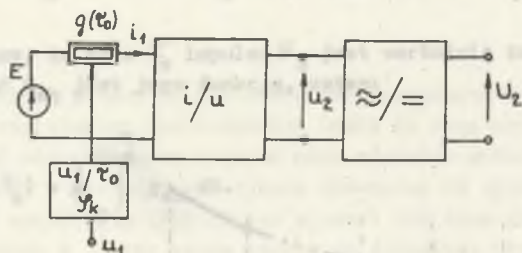
$$u_2 = f(u_1) \quad (6)$$

Korzystając z dwójnika przedstawionego na rys. 1 można to osiągnąć w dwu układach przedstawionych blokowo na rysunkach 5 i 6.



Rys. 5

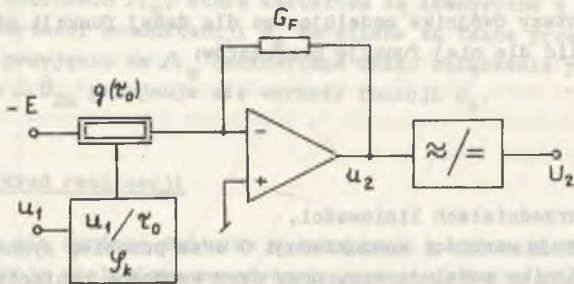
Ze względów praktycznych łatwiejszy do wykonania jest układ z rys. 6, który w wersji ze wzmacniaczem operacyjnym jako przetwornikiem prąd-napięcie (i/u) przedstawiony jest na rys. 7. Bloki (u_1/τ_0 , ψ_k) są przetwornikami wartości napięcia na czas trwania impulsu wytwarzającym zsynchronizowane z okresem T funkcje sterujące ψ_k . Blok $\approx/=$ jest filtrem uśredniającym.



Rys. 6

W układzie tym napięcie wyjściowe wynosi:

$$u_2 = \frac{g(\tau_0)}{G_F} E. \quad (7)$$



Rys. 7.

Uwzględniając wzór (1) mamy:

$$u_2 = \frac{E}{G_F} \left[\varphi_0 (G_0 + \sum_{k=1}^n G_k \varphi_k) \right]. \quad (8)$$

Wartość średnia napięcia wyjściowego wynosi:

$$\bar{U}_2 = \frac{E}{G_F} \frac{1}{T} \int_0^{\tau_0} g(t) dt = \frac{E}{G_F} \bar{G}(\tau_0) \quad (9)$$

Uwzględniając, że τ_0 jest funkcją u_1 , otrzymujemy

$$\bar{U}_2 = \frac{E}{G_F} \bar{G}(u_1). \quad (10)$$

Zakładając, że wartości u_{1max} odpowiada $\tau_0 = T$, na podstawie wzoru (5) otrzymuje się:

$$\bar{U}_2 = \frac{E}{G_F} \cdot \frac{1}{T} \sum_{m=1}^{l+1} \int_{\lambda_{m-1}}^{\lambda_m} (\sum G_k \varphi_k) dt, \quad (11)$$

przy założeniu że $G_0 = 0$.

4. Synteza dwójnika RS dla danej funkcji nieliniowej

Aby dokonać syntezy dwójnika modelującego dla danej funkcji nieliniowej (6), należy określić dla niej funkcję przyrostów:

$$d = \frac{\Delta U_2}{\Delta U_1} \quad (12)$$

w poszczególnych przedziałach liniowości.

Funkcja ta determinuje wartości konduktancji G oraz przebieg sygnałów sterujących φ dla dwójnika modelującego, przy czym wartości napięcia odpowiadające poszczególnym przedziałom Λ_m określa się przez przetwornik (u_1/τ_0), a zależą one od $u_{1\max}$. Funkcja ta pozwala jednocześnie na wiele różnych realizacji odpowiadających tej samej nieliniowości f .

Poniżej przedstawione są dwie metody realizacji: poprzez rozkład funkcji przyrostów d :

- pionowy
- poziomy

na sumę funkcji elementarnych, czyli $d = \sum_{m=1}^{l+1} d_m$.

Dla rozkładu a) zakłada się, że każdy sygnał sterujący φ_m różny jest od zera tylko w jednym z przedziałów $\Lambda_m = \lambda_m - \lambda_{m-1}$, co określa ich kształt, natomiast wartości konduktancji G_m w każdym z tych przedziałów można wyznaczyć z relacji (11), która przyjmuje postać:

$$\bar{U}_2 = \frac{E}{U_F} \cdot \frac{1}{T} \sum_{m=1}^{l+1} \lambda_m \int_{\lambda_{m-1}}^{\lambda_m} G_m \varphi_m dt \quad (13)$$

lub w wyniku addytywności wartości średnich:

$$\bar{U}_2 = \frac{E}{U_F} \cdot \frac{1}{T} \sum_{m=1}^{l+1} G_m \Lambda_m = \sum_{m=1}^{l+1} \Delta \bar{U}_{2,m} \dots \quad (14)$$

W jednym przedziale zachodzi zatem:

$$\Delta \bar{U}_{2,m} = \frac{E}{U_F} G_m \frac{\Lambda_m}{T}, \quad (15)$$

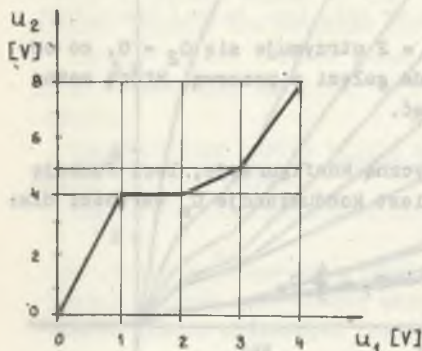
stąd oblicza się:

$$G_m = \frac{\Delta \bar{U}_{2,m}}{E} \cdot \frac{T}{\Lambda_m} G_F. \quad (16)$$

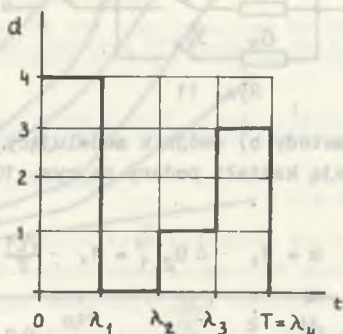
Metoda rozkładu poziomego b) prowadzi do funkcji d_m dwuwartościowych, lecz w różnych odcinkach Λ_m , które kształtem są identyczne z sygnałami sterującymi φ_m . Wartości konduktancji G_m określane są także przez relację (16), lecz przy przyjęciu za Λ_m całkowitego czasu załączenia przebiegu φ_m , natomiast za $\Delta \bar{U}_{2m}$ przyjmuje się wartość funkcji d_m .

5. Przykład realizacji

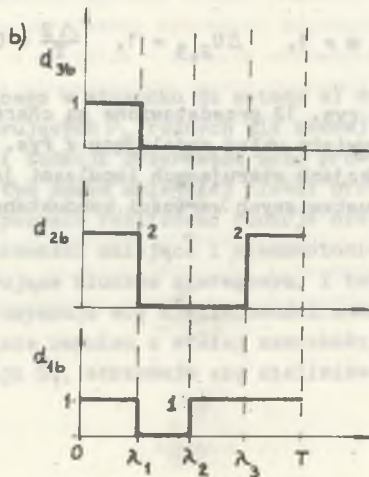
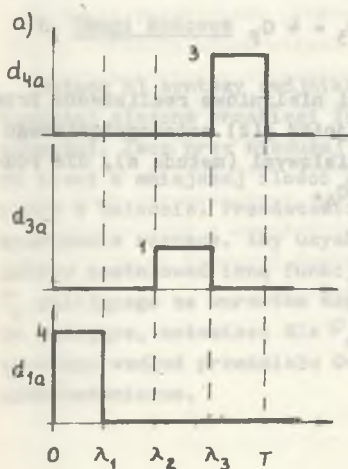
Zakłada się syntezę dwójnika modelującego g dla układu z rys. 7 modelującego funkcję nieliniową przedstawioną na rys. 8 dla zakresu napięć $u_1 = (0 \div 4)V$ oraz $u_2 = (0 \div 8)V$ o czterech przedziałach liniowych.



Rys. 8



Rys. 9



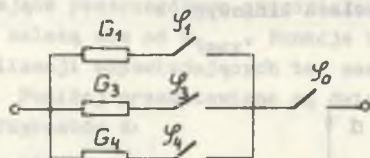
Rys. 10

Na rys. 9 przedstawiona jest funkcja przyrostów d odniesiona do okresu T odpowiadającego wartości $u_{1\max}$, stąd: $\frac{\Delta^m}{T} = 0,25$.

Rozkłady funkcji d według metody pionowej i poziomej przedstawione są na rys. 10a i rys. 10b.

Zakładając $E = 1$ V, otrzymuje się dla metody a) dwójnik modelujący pokazany na rys. 11, przy czym funkcje sterujące kluczami mają kształt taki jak d_{KA} , lecz o zmniejszonej wysokości 1, natomiast konduktancje G_m mają wartości zgodne z relacją (16):

$$G_m = 4 \Delta U_{2,m} G_F, \quad (17)$$



Rys. 11

czyli:

$$G_1 = 16 G_F, \quad G_3 = 4 G_F, \quad G_4 = 12 G_F.$$

Dla $m = 2$ otrzymuje się $G_2 = 0$, co odpowiada gałęzi z przerwą, którą można pominąć.

Dla metody b) dwójnik modelujący ma identyczną konfigurację, lecz funkcje ψ_k mają kształt podany na rys. 10b, natomiast konduktancje G_m wartości dla:

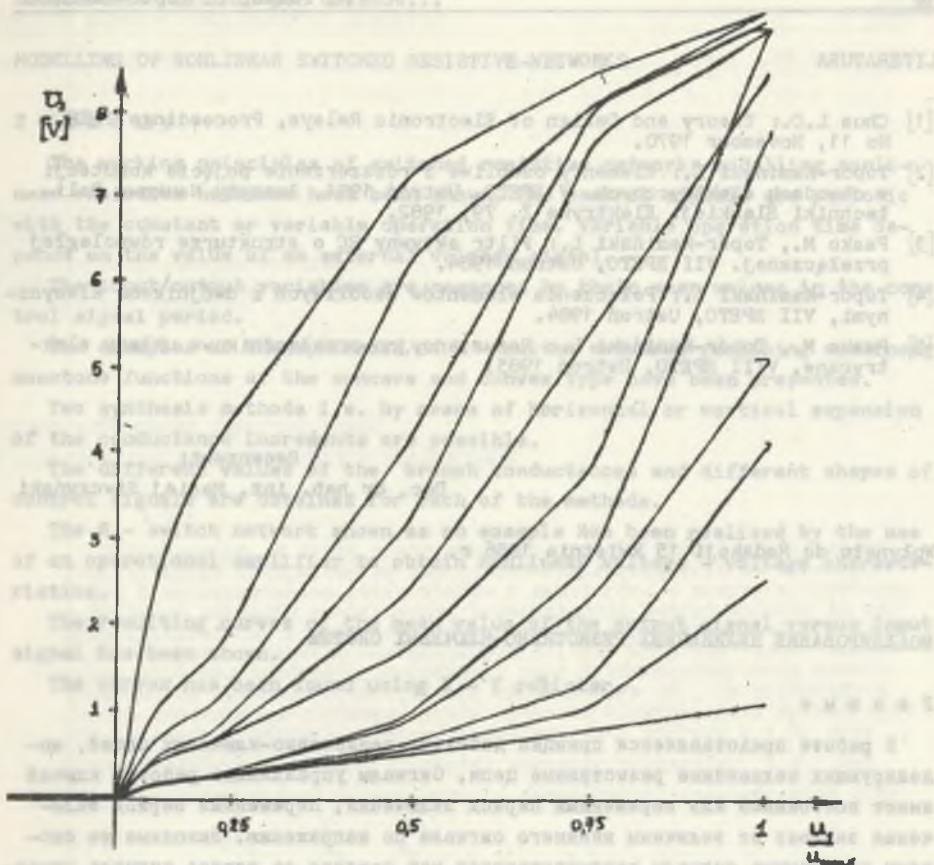
$$m = 1, \quad \Delta U_{2,1} = 1, \quad \frac{\Delta 1}{T} = 0,75 \rightarrow G_1 = \frac{4}{3} G_F$$

$$m = 2, \quad \Delta U_{2,2} = 2, \quad \frac{\Delta 2}{T} = 0,5 \rightarrow G_2 = 4 G_F$$

$$m = 3, \quad \Delta U_{2,3} = 1, \quad \frac{\Delta 2}{T} = 0,25 \rightarrow G_3 = 4 G_F$$

Na rys. 12 przedstawione są charakterystyki nieliniowe realizowane przez rzeczywisty układ modelujący z rys. 7 dla dwójnika $g(t)$ czterogałęziowego o funkcjach sterujących impulsami jednoprzędziałowymi (metoda a), dla różnych ustawianych wartości konduktancji G_1 do G_4 .





Rys. 12

6. Uwagi końcowe

Metoda b) syntezy dwójnika modelującego w stosunku do metody a) daje bardziej złożone przebiegi funkcji sterujących φ_k różnych dla każdej nieliniowości, lecz przy niedużej zmienności funkcji przyrostów może prowadzić do sieci o mniejszej ilości gałęzi, a tym samym mniejszej ilości przełączników w układzie. Przedstawiony układ pozwala realizować funkcje nieliniowe monotonnie rosnące. Aby uzyskać nieliniowości malejące i niemonotoniczne, należy zastosować inną funkcję φ_0 sterującą kluczem szeregowym. I tak dla τ_0 malejącego ze wzrostem napięcia U_1 uzyskuje się nieliniowości monotonicznie malejące, natomiast dla φ_0 o kształcie impulsu o stałej szerokości, przesuwanego wzdłuż przedziału 0-T w funkcji U_1 , otrzymuje się nieliniowości niemonotoniczne.

LITERATURA

- [1] Chua L.O.: Theory and Design of Electronic Relays, Proceedings IEEE, No 11, November 1970.
- [2] Topór-Kamiński L.: Elementy osobliwe i rozszerzenie pojęcia komutacji w obwodach elektrycznych. V SPETO, Ustroń 1981. Zeszyty Naukowe Politechniki Śląskiej. Elektryka Z. 79, 1982.
- [3] Pasko M., Topór-Kamiński L.: Filtr aktywny RC o strukturze równoległej przełączanej. VII SPETO, Ustroń 1984.
- [4] Topór-Kamiński L.: Połączenia elementów osobliwych z dwójnikami klasycznymi, VII SPETO, Ustroń 1984.
- [5] Pasko M., Topór-Kamiński L.: Rezystancyjno-przełącznikowe układy elektryczne, VIII SPETO, Ustroń 1985.

Recenzent:

Doc. dr hab. inż. Maciej Siwczyński

Wpłynęło do Redakcji 15 kwietnia 1986 r.

МОДЕЛИРОВАНИЕ НЕЛИНЕЙНЫХ РЕЗИСТИВНО-КЛЮЧЕВЫХ СИСТЕМ

Р е з ю м е

В работе представляется принцип действия резистивно-ключевых цепей, моделирующих нелинейные резистивные цепи. Сигналы управляющие работой ключей имеют постоянный или переменный период включения. Переменный период включения зависит от величины внешнего сигнала по напряжению. Выходные из системы переменные сигналы рассматриваются как среднее за период сигнала управляющего ключами. Даются примеры синтеза резистивно-ключевых цепей, опираясь на параллельной структуре резистивно-ключевых ветвей, реализующих нелинейные монотоничные функции - вогнутые и выпуклые. Синтез можно провести одним из двух способов путём вертикального или горизонтального разложения функций приростов проводимости. В каждом из них получается величина ветвенных проводимостей а также форма сигналов управляющих ключами. Примерно осуществлённый нелинейный резистивно-ключевой двухполюсник применяется между операционными усилителями с целью получения нелинейных характеристик типа напряжения - напряжение. Полученные результаты представлены в виде кривой средней величины выходного сигнала, который является функцией входного сигнала, полученного при помощи регистрирующего устройства.

MODELLING OF NONLINEAR SWITCHED RESISTIVE-NETWORKS

Summary

The working principles of switched resistive networks modelling nonlinear resistive networks have been shown. The control signals are periodic with the constant or variable operation time. Variable operation time depends on the value of an external voltage signal.

The input/output variables are regarded by their mean values in the control signal period.

The examples of the synthesis of R - switch networks realising nonlinear monotone functions of the concave and convex type have been presented.

Two synthesis methods i.e. by means of horizontal or vertical expansion of the conductance increments are possible.

The different values of the branch conductances and different shapes of control signals are obtained for each of the methods.

The R - switch network shown as an example has been realised by the use of an operational amplifier to obtain nonlinear voltage - voltage characteristics.

The resulting curves of the mean value of the output signal versus input signal has been shown.

The curves has been found using X - Y register.

Marian PASKO
Tadeusz Świetlicki
Instytut Podstawowych Problemów
Elektrotechniki i Energoelektroniki
Politechniki Śląskiej



FILTRY AKTYWNE RC DRUGIEGO RZĘDU O ELEKTRONICZNIE PRZESTRAJANYCH PARAMETRACH

Streszczenie. W pracy przeprowadzono analizę układu aktywnego RC realizującego transmitancję napięciowo-napięciową filtrów drugiego rzędu z wykorzystaniem integratorów i sumatorów. W pracy, korzystając z ogólnego schematu realizowanej transmitancji n -tego stopnia za pomocą integratorów i sumatorów [1], podano jedną z jego modyfikacji umożliwiającą realizację następujących filtrów drugiego rzędu: dolno-przepustowego, środkowoprzepustowego oraz środkowozaporowego zrealizowanych na czterech wzmacniaczach operacyjnych [2]. Na przykładzie filtru środkowoprzepustowego przeprowadzono elektroniczne przestrajanie pulsacji środkowej ω_0 przy stałej wartości dobroci Q i H_0 oraz przestrajanie dobroci Q przy stałej wartości pulsacji ω_0 i H_0 . Dla rozpatrywanego filtru przeprowadzono eksperymenty doświadczalne oraz analizę wrażliwości $S_{x_1}^Q$ i $S_{x_1}^{\omega_0}$.

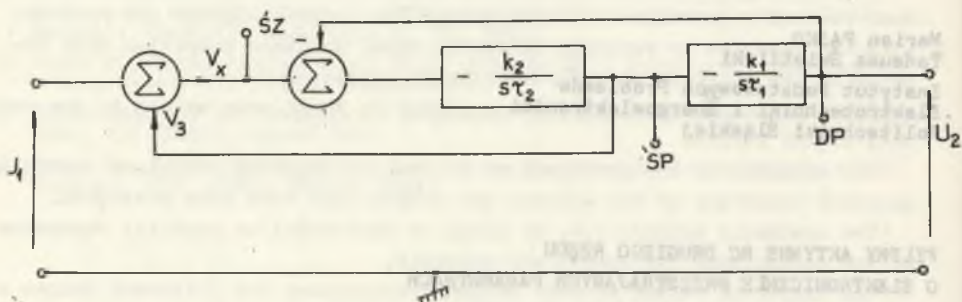
1. Wstęp

Wśród licznych modeli syntezy liniowych układów RC ze wzmacniaczami operacyjnymi (WO) najbardziej znane są sekcje bikwadratowe, które stanowią podstawową bazę do syntezy bardziej złożonych układów. Najbardziej rozpowszechnionym sposobem realizacji układów wyższych rzędów jest łańcuchowe połączenie wzajemnie nieobciążających się sekcji drugiego rzędu. Wśród sekcji drugiego rzędu najlepiej są zbadane realizacje, w których występuje tylko jeden wzmacniacz operacyjny. Dobrze zbadane są również realizacje z dwoma wzmacniaczami operacyjnymi. Stosunkowo mniej miejsca poświęcono realizacjom z trzema i czterema wzmacniaczami operacyjnymi. W literaturze opisano kilka układów tego typu, np. Kerwin - Huelsman - Newcomb (KHN) [9], Aderberg - Mossberg [6].

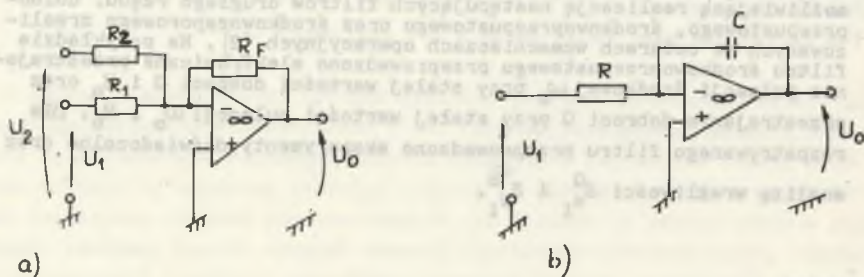
W pracy przedstawiono układ z czterema wzmacniaczami operacyjnymi o ogólnym schemacie przedstawionym na rys. 1.

Układ ten zawiera dwa integratory oraz dwa sumatory. Układ ten pozwala realizować sekcję bikwadratową następujących filtrów o łatwo przestrajanym

parametrach: dolnoprzepustowego, środkowoprzepustowego oraz środkowozaporowego. W ogólnej strukturze sekcji bikwadratowej przedstawionej na rys. 1 realizacja poszczególnych bloków przedstawiona jest na rys. 2.



Rys. 1



Rys. 2

Na rys. 2a przedstawiony jest sumator, który realizuje funkcję:

$$U_0 = -R_F \left(\frac{U_1}{R_1} + \frac{U_2}{R_2} \right) \quad (1)$$

Natomiast na rys. 2b przedstawiony jest integrator, dla którego transmi-tancja napięciowo-napięciowa ma postać:

$$K_u = \frac{U_0}{U_1} = -\frac{1}{sCR} \quad (2)$$

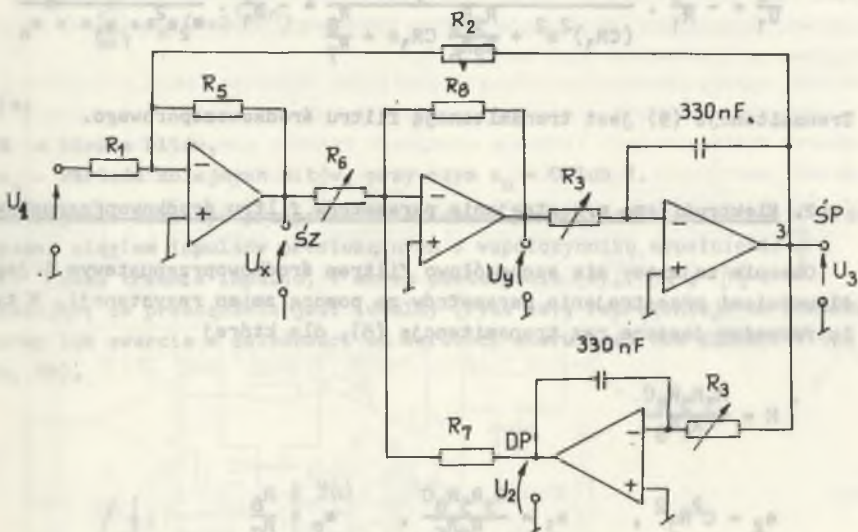
Wykorzystując bloki, przedstawione na rys. 1, otrzymujemy strukturę w postaci pokazanej na rys. 3. Równania opisujące układ z rys. 3, przy założeniu że wzmacniacze operacyjne są idealne, mają postać:

$$U_x = -R_5 \left(\frac{U_1}{R_1} + \frac{U_3}{R_2} \right) \quad (3)$$

$$U_y = -R_8 \left(\frac{U_x}{R_6} + \frac{U_2}{R_7} \right) \quad (4)$$

$$U_3 = -\frac{U_y}{sCR} \quad (5)$$

$$U_2 = -\frac{U_3}{sCR_3} \quad (6)$$



Rys. 3

Korzystając z równań (3 - 6) można wyznaczyć kolejne transmitancje napięciowo-napięciowe dla różnych zacisków traktowanych jako wyjściowe

$$\frac{U_2}{U_1} = \frac{\frac{R_5 R_8}{R_1 R_6}}{(CR_3)^2 s^2 + \frac{R_5 R_8}{R_2 R_6} CR_3 s + \frac{R_8}{R_7}} = \frac{H}{a_2 s^2 + a_1 s + a_0} \quad (7)$$

Transmitancja (7) jest transmitancją filtra dolnoprzepustowego.

$$\frac{U_3}{U_1} = \frac{-\frac{R_5 R_8}{R_1 R_6} s}{(CR_3)^2 s^2 + \frac{R_5 R_8}{R_2 R_6} CR_3 s + \frac{R_8}{R_7}} = \frac{-Hs}{a_2 s^2 + a_1 s + a_0} = \frac{L(s)}{D(s)} \quad (8)$$

Transmitancja (8) jest transmitancją filtra środkowoprzepustowego.

$$\frac{U_X}{U_1} = -\frac{R_5}{R_1} \cdot \frac{(sCR_3)^2 + \frac{R_8}{R_7}}{(CR_3)^2 s^2 + \frac{R_5 R_8}{R_2 R_6} CR_3 s + \frac{R_8}{R_7}} = -\frac{R_5}{R_1} \cdot \frac{(sCR_3)^2 + \frac{R_8}{R_7}}{a_2 s^2 + a_1 s + a_0} \quad (9)$$

Transmitancja (9) jest transmitancją filtra środkowozaporowego.

2. Elektroniczne przestrajanie parametrów filtra środkowoprzepustowego

Obecnie zajmiemy się szczegółowo filtrem środkowoprzepustowym i jego możliwościami przestrajania parametrów za pomocą zmian rezystancji. W tym celu rozważmy jeszcze raz transmitancję (8), dla której

$$H = \frac{R_5 R_8 C}{R_1 R_6}$$

$$a_2 = C^2 R_3^2, \quad a_1 = \frac{R_5 R_8 C}{R_2 R_6}, \quad a_0 = \frac{R_8}{R_7}$$

Dobroć

$$Q = \frac{\sqrt{a_0 a_2}}{a_1} = \frac{R_2 R_6}{R_5} \cdot \frac{1}{\sqrt{R_7 R_8}} \quad (10)$$

pulsacja środkowa

$$\omega_0 = \sqrt{\frac{a_0}{a_2}} = \frac{1}{R_3 C} \sqrt{\frac{R_8}{R_7}} \quad (11)$$

oraz współczynnik wzmocnienia dla pulsacji środkowej

$$H_0 = \frac{H}{a_1} = \frac{R_2}{R_1} \quad (12)$$

Z relacji (10), (11) i (12) wynika, że można niezależnie przestrajać ω_0 , Q przy stałej wartości H_0 . Zmieniając R_6 lub R_5 można zmieniać dobroć Q przy stałej wartości ω_0 i H_0 , zmieniając natomiast R_3 można zmieniać ω_0 przy stałej wartości dobroci Q i H_0 .

Wymienione parametry można przestrajać na wiele sposobów np. za pomocą mnożących przetworników cyfrowo-analogowych MPCA [7], w których to rezy-stancję można zmieniać wg funkcji:

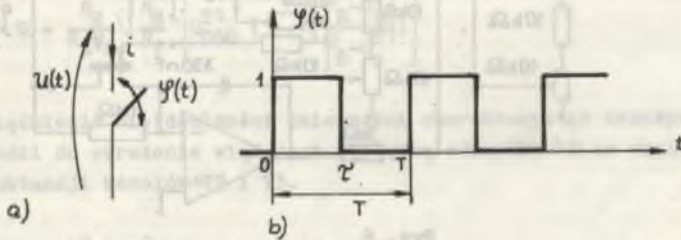
$$R_0 = \frac{3R}{\sum_{n=1}^N a_n (1+2^{1-2n})} \quad (13)$$

gdzie:

N - liczba bitów,

a_n - wartość kolejnych bitów, przy czym $a_n = 0$ lub 1.

Przestrajanie może być przeprowadzane też za pomocą zmian rezystancji prze-łączanej ciągiem impulsów prostokątnych o współczynniku wypełnienia $\frac{\tau}{T}$, gdzie τ czas trwania impulsu, T okres powtarzania [8], [9], [11]. Zakładając, że przełącznik jest idealny (rys. 4a), reprezentuje on idealną przerwę lub zwarcie w zależności od wartości sterującej nim funkcji $\varphi(t)$ (rys. 4b).

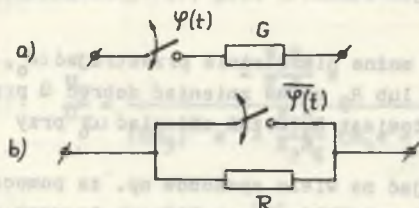


Rys. 4

Najprostsze połączenia klucza i elementów rezystancyjnych prowadzą do uzyskania rezystancji zmiennych w czasie (rys. 5).

$$g(t) = G \cdot \varphi(t),$$

$$r(t) = R \cdot \bar{\varphi}(t),$$

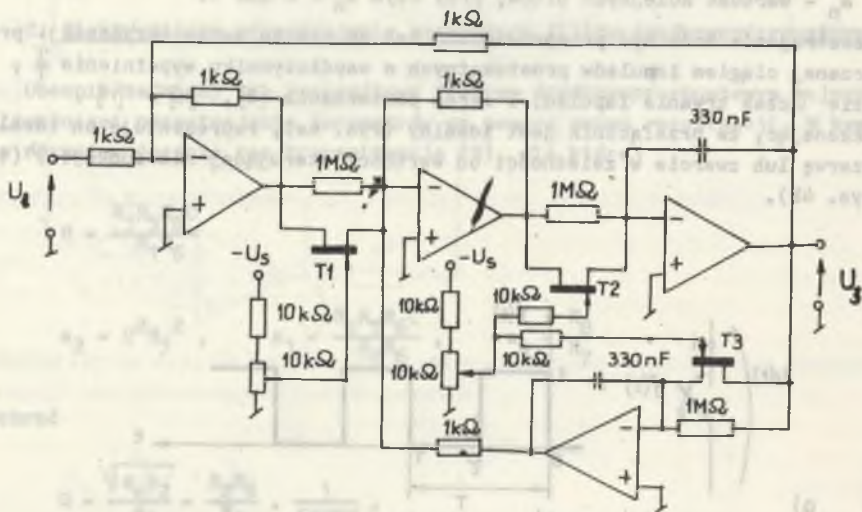


Rys. 5

gdzie:

$\varphi(t)$ jest negacją logiczną funkcji $\varphi(t)$ w stosunku do jej wartości 0 lub 1. Jeżeli okres powtarzania T jest znacznie mniejszy od okresu sygnału wejściowego T_s , wówczas wartość średnia za okres $\bar{g}(t) = G \cdot \frac{T}{T_s}$ (rys. 5a). W ogólnym przypadku rezystancje i konduktancje mogą być opisane za pomocą bardziej złożonych funkcji [1]. W pracy wykorzystano ideę tranzystora polowego jako rezystora o wartości przestrajanej napięciem. Praktyczna realizacja filtra wykorzystującego tranzystory polowe złączone przedstawiona jest na rys. 6.

Praktyczna realizacja filtra wykorzystującego tranzystory polowe złączone przedstawiona jest na rys. 6.



Rys. 6

Tranzystory pracują w układzie jako sterowane rezystancje. Aby nie wystąpiły efekty związane z nieliniowością charakterystyk tranzystorów, musi być spełniony warunek [3], [5]

$$U_{DS} - U_{GS} \ll U_p, \quad (14)$$

gdzie:

U_{DS} - napięcie dren - źródło,

U_{GS} - napięcie bramka - źródło,

U_p - napięcie odcięcia.

Przy spełnionym warunku (14) wyrażenie na konduktancję kanału ma postać [3]:

$$G_{DS} = G_{DSO} \left(1 - \sqrt{\frac{\varphi_B - U_{GS}}{\varphi_B - U_p}}\right), \quad (15)$$

gdzie:

G_{DSO} - konduktancja kanału otwartego,

φ_B - napięcie dyfuzyjne ($\approx 0,7$ V dla tranzystorów krzemowych).

Zapewnienie dużej wartości amplitudy sygnału wejściowego wymaga stosowania tranzystorów polowych o dużej wartości odcięcia. Uzyskanie prostej struktury układów stawia również wymaganie symetrii charakterystyk tranzystorów w kierunku normalnym i inwersyjnym. Zakładając identyczne charakterystyki tranzystorów T2 i T3 uzyskujemy następujące wyrażenia na zależność dobroci Q i pulsacji środkowej ω_0 filtru od napięć stałych sterujących tranzystory:

$$\omega_0 = \frac{1}{C} \sqrt{\frac{R_8}{R_7}} G_{DSO}^{T2} \left(1 - \sqrt{\frac{\varphi_B - U_{GS}^{T2}}{\varphi_B - U_p^{T2}}}\right) \quad (16)$$

$$Q = \frac{R_2}{R_5 R_8} \sqrt{\frac{R_8}{R_7}} \left[G_{DSO}^{T1} \left(1 - \sqrt{\frac{\varphi_B - U_{GS}^{T1}}{\varphi_B - U_p^{T1}}}\right) \right]^{-1} \quad (17)$$

Uwzględnienie nieidealności zbieżności charakterystyk tranzystorów T2 i T3 prowadzi do wyrażenia wiążącego względną odchyłkę δQ ze względną różnicą konduktancji kanałów T2 i T3.

$$\delta Q = \frac{Q_1 - Q_T}{Q_1}, \quad (18)$$

gdzie:

Q_i - dobroć dla idealnej zbieżności charakterystyk,

Q_r - dobroć rzeczywista.

I tak

$$\delta Q = 1 - \sqrt{1 - \delta G_{DS}} = 1 - \sqrt{1 - \frac{G_{DS}^{T2} - G_{DS}^{T3}}{G_{DS}^{T2}}}. \quad (19)$$

Indeksy $T1, T2, T3$ w wyrażeniach (16), (17) i (19) odnoszą się do tranzystorów $T1, T2, T3$.

Teoretyczny zakres zmian dobroci Q przy określonej pulsacji środkowej jest ograniczony z uwagi na charakterystykę częstotliwościową wzmacniaczy operacyjnych [1].

3. Analiza wrażliwości

Wrażliwość pierwszego rzędu na zmiany parametrów oceniamy wg definicji klasycznej podanej przez Bodego

$$S_{x_1}^T = \frac{\partial(\ln T)}{\partial(\ln x_1)} = \frac{\partial T}{\partial x_1} \cdot \frac{x_1}{T}. \quad (20)$$

Z definicji wrażliwości pierwszego rzędu wynikają pewne własności [1], [2], dzięki którym wrażliwości $S_{x_1}^Q$ i $S_{x_1}^{\omega_0}$ mogą być wyrażone za pomocą wzorów:

$$S_{x_1}^Q = \frac{1}{2} (S_{x_1}^{a_0} + S_{x_1}^{a_2} - 2S_{x_1}^{a_1}), \quad (21)$$

$$S_{x_1}^{\omega_0} = \frac{1}{2} (S_{x_1}^{a_0} - S_{x_1}^{a_2}). \quad (22)$$

W rozpatrywanym przez nas modelu z rys. 3

$$S_{R_2}^Q = 1, \quad S_{R_6}^Q = 1, \quad S_{R_5}^Q = -1, \quad S_{R_7}^Q = -\frac{1}{2}, \quad S_{R_8}^Q = -\frac{1}{2}.$$

Natomiast:

$$S_{R_3}^{\omega_0} = -1, \quad S_C^{\omega_0} = -1, \quad S_{R_8}^{\omega_0} = \frac{1}{2}, \quad S_{R_7}^{\omega_0} = -\frac{1}{2}.$$

4. Weryfikacja praktyczna i wnioski

Układ przedstawiony na rys. 6 sprawdzono praktycznie, realizując filtr środkowoprzepustowy.

W układzie modelowym zastosowano wzmacniacze operacyjne ULY 7741 oraz tranzystory polowe BF 245. Ze względu na małą wartość napięcia progowego tranzystorów i wymaganego dużego zakresu regulacji dobroci Q i pulsacji ω_0 (a więc dużych zmian U_{GS}) wartość międzyszczytowa napięcia wejściowego nie powinna przekraczać 100 mV. Dla wartości podanych na rys. 6 uzyskano następujące rezultaty:

Zakres zmian częstotliwości środkowej osiągnięto 2,5 Hz - 2 kHz. Wartości realizowanych dobroci wynosiły od kilkudziesięciu do około 1000. Przy zastosowaniu wewnątrznie skompensowanych wzmacniaczy operacyjnych filtr staje się niestabilny dla częstotliwości kilku kHz przy wymaganej dobroci rzędu kilkuset. Prosta struktura układu oraz łatwość niezależnego przestrajania pulsacji środkowej filtru i dobroci za pomocą napięcia stałego czynią go atrakcyjnym w wielu zastosowaniach. Może być on zastosowany w prostych analizatorach widmowych w zakresie małych i bardzo małych częstotliwości z automatycznym przestrajaniem zakresu i przedziału analizy, w układach pomiarowych.

LITERATURA

- [1] Białko M. i inni: Filtry aktywne RC. WNT, Warszawa 1979.
- [2] Hruby J., Novak M.: Filtry RC. Academia, Praha 1976.
- [3] Marciniak W.: Przyrządy półprzewodnikowe i układy scalone. WNT, Warszawa 1979.
- [4] Pawłowski J.: Podstawowe układy elektroniczne-wzmacniacze i generatory. WNT, Warszawa 1980.
- [5] Świt A., Puktorak J.: Przyrządy półprzewodnikowe. WNT, Warszawa 1979.
- [6] Akerberg D., Mossberg K.: A versatile active RC building block with inherent compensation for the finite bandwidth of the amplifier. IEEE Trans. Circuits and System, vol. CAS-21, 1974.
- [7] Czarnul Z., Białko M.: Realizacja filtrów aktywnych RC przestrajanych cyfrowo o zwiększonym zakresie częstotliwości. V KK TO i UE, Łódź 1982.
- [8] Guziński A., Matheau J.C.: Projektowanie filtrów R - przełączane. VII KK TO i UE, Kazimierz 1984.
- [9] Kerwin W., Huelsman L., Newcomb R.: State variable synthesis for insensitive integrated circuit transfer functions, IEEE J. Solid State Circuits, vol. SC-2, 1967.

- [10] Pasko M.: Wszecchprzepustowa sekcja drugiego rzędu na bazie ogniwa środkowoprzepustowego z okresowo sterowanymi parametrami. VII-SPETO, Ustroń 1984.
- [11] Pasko M., Topór-Kamiński L.: Rezystancyjno-przełącznikowe układy elektryczne. VIII - SPETO, Ustroń 1985.

Recenzent:

Doc. dr hab. inż. Maciej Siwczyński

Wpłynęło do Redakcji 15 kwietnia 1986 r.

АКТИВНЫЕ ФИЛЬТРЫ RC ВТОРОГО ПОРЯДКА С ЭЛЕКТРОННОЙ
ПЕРЕСТРОЙКОЙ ПАРАМЕТРОВ

Резюме

В статье проведён анализ активной системы RC содержащей сумматоры и интеграторы, реализующей передаточную функцию типа напряжение-напряжение фильтров второго порядка.

Некоторая модификация обобщённой схемы, выполняющей передаточную функцию n -порядка, пользующейся интеграторами и сумматорами [1] представляет возможность осуществления фильтра низких частот, полосового и полосового задерживающего фильтров, вмещающих четыре операционных усилителя [2]. Для полосового фильтра проведена электронная перестройка пульсации ω_0 с постоянными значениями добротности и H_0 , а также перестройка добротности Q с постоянными значениями пульсации ω_0 и H_0 .

В статье помещены итоги опытов с вышеуказанными фильтрами. Проведён также анализ чувствительности S_x^Q и $S_x^{\omega_0}$.

THE SECOND ORDER ACTIVE RC FILTERS WITH VARIABLE PARAMETERS

Summary

The paper contains an analysis of active RC filter, which permits realization of the 2nd order voltage - voltage transfer function by the use of integrators and summatoms. The authors modify the general realization of the n - order transfer function with integrators and summatoms [1] and obtain the particular realization of 2nd order low band - pass, middle band - pass and middle band - stop active filters made of four operating amplifiers [2]. On the base of middle band - pass filter, the authors show the possibility of electronic control of angular middle frequency ω_0 , when

Maciej SIWCZYŃSKI

Wyższa Szkoła Inżynierska
Zielona Góra

SYNTEZA NIELINIOWYCH WYMIERNYCH UKŁADÓW AUTONOMICZNYCH

Streszczenie. W artykule wprowadzono pojęcie równania różniczkowego wymiernego. Jest to równanie różniczkowe w \mathbb{R}^n , którego prawą stroną jest wielowymiarowa funkcja wymierna. Wykazano, że półgrupa wymiernych transformacji współrzędnych przekształca zbiór równań wymiernych w siebie, a każde równanie wymierne jest realizowane za pomocą integratorów, sumatorów i układów mnożących. Twierdzenie to zastosowano do syntezy dwuwymiarowego układu autonomicznego realizującego z dowolną dokładnością zadany gładki cykl graniczny. Podano też metodę syntezy równania wymiernego, którego rozwiązanie spełniają wymierne warunki nieholonomiczne. Zamieszczony przykład nadaje się do syntezy przestrajanych generatorów drgań.

1. Równania różniczkowe wymierne

Niech $x = (x_1, \dots, x_n)$ oznacza wektor w \mathbb{R}^n , a $p = (p_1, \dots, p_n)$ będzie multiindeksem o całkowitych, nieujemnych składowych p_1, \dots, p_n .

Suma skończonej liczby składników

$$a(x) = \sum_p a_p x^p = \sum_{p_1} \dots \sum_{p_n} a_{p_1 \dots p_n} x_1^{p_1} \dots x_n^{p_n}$$

jest wielomianem n -zmiennych. Z wyrażenia

$$ab(x) \triangleq \sum_p a_p x^p \sum_q b_q x^q = \sum_p c_p x^p,$$

gdzie

$$c_p = \sum_q a_{p-q} b_q,$$

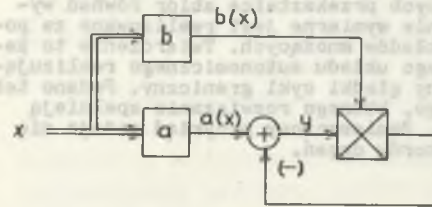
wynika, że iloczyn wielomianów jest wielomianem o współczynnikach danych splotem. Iloraz wielomianów

$$a/b(x) \hat{=} \frac{a(x)}{b(x)} = \frac{\sum_p a_p x^p}{\sum_p b_p x^p}$$

jest funkcją wymierną wielu zmiennych.

Kombinacje, iloczyn i iloraz funkcji wymiernych są funkcjami wymiernymi, zatem zbiór funkcji wymiernych tworzy ciało. Wynika stąd, że złożenie funkcji wymiernych jest funkcją wymierną.

Macierz o elementach wymiernych będzie dalej nazywana krótko macierzą wymierną. Kombinacja, iloczyn i odwrotna macierzy wymiernych są macierzami wymiernymi.



Rys. 1. Blok realizacji wielowymiarowej funkcji wymiernej

Fig. 1. The block realising multidimensional rational function

Funkcja wymierna jest realizowalna za pomocą sumatorów i układów mnożących. Aby udowodnić to twierdzenie, trzeba wykazać, że istnieje układ sumująco-mnożący realizujący funkcję wymierną. Dowolny wielomian jest realizowany za pomocą sumatorów i układów mnożących. Na rys. 1 pokazano układ złożony z dwóch bloków realizujących wielomiany a , b , z układu mnożącego i węzła sumacyjnego.

Z analizy schematu wynika równanie wiążące multisygnał wejściowy $x = (x_1, \dots, x_n)$ z sygnałem wyjściowym y : $[1 + b(x)]y = a(x)$. Zatem układ ten realizuje funkcję wymierną $a/(1+b)(x)$.

Z wyrażień

$$\frac{\partial a}{\partial x_1} = \sum_p p_1 a_p x_1^{p_1-1} \dots x_n^{p_n}$$

$$\frac{\partial a/b}{\partial x_1} = \frac{\frac{\partial a}{\partial x_1} b(x) - a \frac{\partial b}{\partial x_1}(x)}{[b(x)]^2} = c/d(x)$$

wynika, że pochodna cząstkowa wielomianu jest wielomianem, a pochodna cząstkowa funkcji wymiernej jest funkcją wymierną. Jeżeli $f(x)$ jest funkcją wymierną, to jej gradient

$$\frac{\partial f}{\partial x} = \left(\frac{\partial f}{\partial x_1}, \dots, \frac{\partial f}{\partial x_n} \right)$$

jest wektorem wymiernym. Jeżeli

$$F(x) = [F_1(x), \dots, F_m(x)]$$

jest wektorem wymiernym, to jacobian

$$\frac{\partial F}{\partial x} = \begin{bmatrix} \frac{\partial F_1}{\partial x_1} & \dots & \frac{\partial F_1}{\partial x_n} \\ \dots & \dots & \dots \\ \frac{\partial F_m}{\partial x_1} & \dots & \frac{\partial F_m}{\partial x_n} \end{bmatrix}$$

jest macierzą wymierną.

Równaniem różniczkowym wymiernym nazwiemy równanie w R^n z wymierną prawą stroną:

$$\dot{x} = F(x), \tag{1}$$

gdzie

$$F(x) = [a_1/b_1(x), \dots, a_n/b_n(x)].$$

Nietrudno wykazać, że wymierna zamiana zmiennych

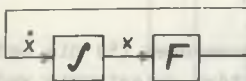
$$x = \phi(y) = [\alpha_1/\beta_1(y), \dots, \alpha_n/\beta_n(y)] \tag{2}$$

transformuje równanie różniczkowe wymierne w równanie różniczkowe wymierne. Istotnie działając transformacją (2) na równanie (1) otrzymujemy równanie różniczkowe:

$$\dot{y} = \left[\frac{\partial \phi}{\partial y} \right]^{-1} F[\phi(y)], \tag{3}$$

które na podstawie poprzednio wyprowadzonych twierdzeń o funkcjach wymiernych posiada wymierną prawą stronę.

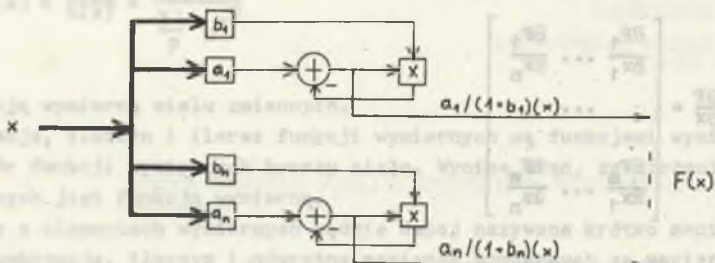
Powyższy rezultat można sformułować za pomocą następującego twierdzenia: Półgrupa wymiernych transformacji zmiennych przekształca zbiór równań różniczkowych wymiernych w siebie.



Rys. 2. Układ realizacji wymiernego równania różniczkowego

Fig. 2. The system realizing rational differential

Twierdzenie to ma istotne znaczenie podczas syntezy układów różniczkowych. Każdy taki układ jest realizowany w strukturze widocznej na rys. 2, w której blok wektor - funkcji wymiernej F utworzony jest poprzez multiplikację n -układów pokazanych na rys. 1. Strukturę takiego bloku ilustruje rys. 3.



Rys. 3. Blok realizacji wielowymiarowej wektorowej funkcji wymiernej
Fig. 3. The block realising multidimensional rational vector - function

2. Synteza układu wymiernego z pomocniczym wektorem sterowania

Dane jest równanie różniczkowe

$$\dot{x} = F(x, u), \quad (4)$$

gdzie: $x \in \mathbb{R}^n$, $u \in \mathbb{R}^m$, $F: \mathbb{R}^{n+m} \rightarrow \mathbb{R}^n$ jest funkcją wymierną od x, u . Zadaniem syntezy jest wybór wektora sterowania u w taki sposób, aby rozwiązania równania (4) spełniały warunek:

$$Q(x, \dot{x}) = 0, \quad \text{dla } t \in (0, \infty), \quad (5)$$

gdzie: $Q: \mathbb{R}^{2n} \rightarrow \mathbb{R}^m$ jest funkcją wymierną.

Wykażemy, że postawione zadanie jest z pewną dokładnością realizowane w klasie różniczkowych równań wymiernych. Poszukujemy w tym celu wektora sterowania u , który zapewni spełnienie warunku

$$Q(x, \dot{x}) = \delta, \quad (6)$$

gdzie $\delta \in \mathbb{R}^m$ oraz $\|\delta(t)\|_{\mathbb{R}^m} \rightarrow 0$ przy $t \rightarrow \infty$. Tym samym warunek (5) nie będzie spełniony dokładnie, lecz z pewnym małym błędem δ , który zmienia się według równania różniczkowego liniowego

$$\dot{\delta} = T\delta, \quad (7)$$

gdzie T jest $\mathbb{R}^m \times \mathbb{R}^m$ - macierzą o wartościach własnych leżących poza prawą domkniętą półpłaszczyzną. Wstawiając równość (6) do równania (7) otrzymuje się:

$$\frac{\partial Q}{\partial \dot{x}} \dot{x} + \frac{\partial Q}{\partial x} \ddot{x} = T Q(x, \dot{x}) \tag{8}$$

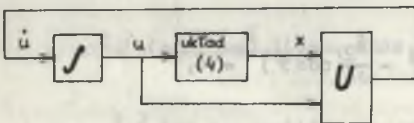
Równanie (8) musi być spełnione przez rozwiązanie równania (4) dla każdego $t \in [0, \infty)$, zatem wstawiając równanie (4) do (8), otrzymuje się

$$\begin{aligned} \frac{\partial Q}{\partial \dot{x}} [x, F(x, u)] \frac{\partial F}{\partial u} \dot{u} &= T Q [x, F(x, u)] - \frac{\partial Q}{\partial x} [x, F(x, u)] F(x, u) - \\ &- \frac{\partial Q}{\partial x} [x, F(x, u)] \frac{\partial F}{\partial x} F(x, u), \end{aligned}$$

skąd

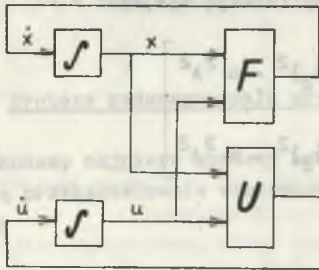
$$\begin{aligned} \dot{u} &= \left(\frac{\partial Q}{\partial \dot{x}} [x, F(x, u)] \frac{\partial F}{\partial u} \right)^{-1} \left(T Q [x, F(x, u)] - \frac{\partial Q}{\partial x} [x, F(x, u)] F(x, u) - \right. \\ &\left. - \left(\frac{\partial Q}{\partial x} \right)^{-1} \frac{\partial F}{\partial x} F(x, u) \right) = U(x, u). \end{aligned} \tag{9}$$

Otrzymana funkcja $U : \mathbb{R}^{n+m} \rightarrow \mathbb{R}^m$ jest funkcją wymierną od x, u , gdyż zbiór funkcji wymiernych tworzy ciało. W ten sposób równania (4) i (9) tworzą parę równań różniczkowych wymiernych



$$\dot{x} = F(x, u) \tag{4}$$

$$\dot{u} = U(x, u) \tag{9}$$



Podczas syntezy struktury realizującej parę równań (4), (9) trzeba rozpatrzyć dwa przypadki. Pierwsza struktura, w przypadku gdy układ (4) jest zadany, zilustrowana jest na rys. 4a, druga gdy układ (4) nie jest zadany, widoczna jest na rys. 4b. W obu przypadkach bloki F i U realizują funkcje wymierne $\mathbb{R}^{n+m} \rightarrow \mathbb{R}^n$ i $\mathbb{R}^{n+m} \rightarrow \mathbb{R}^m$.

Rys. 4. Struktury układów z pomocniczym wektorem sterowania

Fig. 4. The realisable structure of the systems with the auxiliary control vectors

Przykład

Dokonać syntezy struktury generatora dwóch drgań sinusoidalnych o nastawianej częstotliwości i nastawianym przesunięciu fazowym.

Żądane równania czasowe drgań są następujące:

$$x_1(t) = A \sin(\omega t + \varphi),$$

$$x_2(t) = A \sin(\omega t - \varphi),$$

skąd otrzymuje się tożsamości:

$$\frac{x_1}{A} = \sin \omega t \cos \varphi + \cos \omega t \sin \varphi$$

$$\frac{x_2}{A} = \sin \omega t \cos \varphi - \cos \omega t \sin \varphi$$

$$\frac{\dot{x}_1}{A} = \cos \omega t \cos \varphi - \sin \omega t \sin \varphi$$

$$\frac{\dot{x}_2}{A} = \cos \omega t \cos \varphi + \sin \omega t \sin \varphi.$$

Stąd

$$\left(\frac{x_1}{A} \sin \varphi + \frac{\dot{x}_1}{\omega A} \cos \varphi\right)^2 + \left(\frac{x_2}{A} \cos \varphi + \frac{\dot{x}_2}{\omega A} \sin \varphi\right)^2 = 1$$

$$\left(\frac{x_1}{A} \cos \varphi - \frac{\dot{x}_1}{\omega A} \sin \varphi\right)^2 + \left(\frac{x_2}{A} \sin \varphi - \frac{\dot{x}_2}{\omega A} \cos \varphi\right)^2 = 1.$$

Podstawiając $c = \cos \varphi$, $s = \sin \varphi$ zapisujemy funkcję $Q(x, \dot{x})$:

$$Q(x, \dot{x}) = \begin{bmatrix} (c\omega x_1 - s\dot{x}_1)^2 + (s\omega x_2 - c\dot{x}_2)^2 - \omega^2 A^2 \\ (s\omega x_1 + c\dot{x}_1)^2 + (c\omega x_2 + s\dot{x}_2)^2 - \omega^2 A^2 \end{bmatrix}$$

Za obiekt sterowania można przyjąć dowolny sterowany układ równań wymiernych, na przykład dwa integratory:

$$\begin{cases} \dot{x}_1 = u_1 \\ \dot{x}_2 = u_2 \end{cases} \implies F(x,u) = \begin{bmatrix} u_1 \\ u_2 \end{bmatrix}$$

Przyjmując

$$T = \begin{bmatrix} -1 & 0 \\ 0 & -1 \end{bmatrix}$$

otrzymamy

$$U(x,u) = \left(\frac{\partial Q}{\partial \dot{x}} [x, F(x,u)] \frac{\partial F}{\partial u} \right)^{-1} \left(TQ [x, F(x,u)] - \frac{\partial Q}{\partial x} [x, F(x,u)] F(x,u) \right) - \left(\frac{\partial F}{\partial u} \right)^{-1} \frac{\partial F}{\partial x} (x,u) =$$

$$= \frac{1}{-4sc\omega x_1 u_2 + 4sc\omega x_2 u_1 + 4(s^4 - c^4)u_1 u_2} \begin{bmatrix} 2s(su_2 + c\omega x_2), & 2c(s\omega x_2 - cu_2) \\ -2c(cu_1 + s\omega x_1), & 2s(su_1 - c\omega x_1) \end{bmatrix}$$

$$\omega^2 A^2 + (c\omega x_1 - su_1)(3su_1 - c\omega x_1) + (s\omega x_2 - cu_2)(3cu_2 - s\omega x_2)$$

$$\omega^2 A^2 - (s\omega x_1 + cu_1)(3cu_1 + s\omega x_1) + (c\omega x_2 + su_2)(3su_2 + c\omega x_2)$$

3. Synteza zadanego cyklu granicznego

Dokonyamy najpierw syntezy kołowego cyklu granicznego, a następnie za pomocą przekształcenia wielomianowego nadamy mu pożądaną kształt. Układ wymierny

$$\dot{x}_1 = \omega [x_2 + x_1 (1 - x_1^2 - x_2^2)]$$

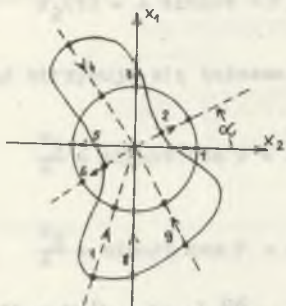
$$\dot{x}_2 = \omega [-x_1 + x_2 (1 - x_1^2 - x_2^2)]$$

(10)

posiada globalnie stabilny kołowy cykl graniczny. Istotnie przechodząc do współrzędnych biegunowych $x_1 = r \cos \alpha$, $x_2 = r \sin \alpha$ przekształcony układ równań (10) do postaci:

$$\dot{r} = \omega r(1 - r^2)$$

$$\dot{\alpha} = \omega.$$



Transformację wielomianową

$$x_1 = \sum_{i+j=n}^{i+j=1} a_{ij} y_1^i y_2^j$$

$$x_2 = \sum_{i+j=n}^{i+j=1} b_{ij} y_1^i y_2^j$$

(11)

Rys. 5. Przekształcenia gładkiego cyklu granicznego

Fig. 5. The smooth limit cycle radial change

dobieramy tak, aby przekształcała ona radialnie pożądaný cykl graniczny na okrąg jednostkowy (rys. 5). Niewiadome współczynniki transformacji wyznaczamy z równań liniowych:

$$\sum_{i+j=1}^{i+j=n} [r(\alpha)]^{i+j} (\cos \alpha)^i (\sin \alpha)^j a_{ij} = \cos \alpha,$$

$$\sum_{i+j=1}^{i+j=n} [r(\alpha)]^{i+j} (\cos \alpha)^i (\sin \alpha)^j b_{ij} = \sin \alpha.$$

(12)

Zależność $r(\alpha)$ wyznacza się z rys. 5. Po odpowiednim uporządkowaniu składników układ równań liniowych (12) przyjmuje postać (13).

Każdej parze odwzorowanych punktów - węzłów odpowiadają dwa równania, zatem związek między liczbą odpowiadających sobie par punktów p a stopniem wielomianu n ma postać:

$$p = \frac{n(n+3)}{2}.$$

Stosując transformację (11) do układu równań (10) otrzymamy wymierny układ równań posiadający przybliżony zadany cykl graniczny.

Problem aproksymacji zadanego dwuwymiernego cyklu granicznego nie ma jednoznacznego rozwiązania. Ponadto można go rozwiązywać za pomocą dwuwymiarowej aproksymacji rzeczywistej, jak to przeprowadzono powyżej lub za pomocą jednowymiarowej aproksymacji zespolonej.

$$\begin{bmatrix} a_{10} \\ a_{01} \\ a_{11} \\ a_{02} \\ a_{30} \\ a_{21} \\ a_{12} \\ a_{03} \\ a_{40} \\ \vdots \\ a_{0n} \end{bmatrix} = \begin{bmatrix} c_1 \\ c_2 \\ \vdots \\ c_p \end{bmatrix} \begin{bmatrix} b_{10} \\ b_{01} \\ b_{20} \\ b_{11} \\ b_{02} \\ b_{30} \\ b_{21} \\ b_{12} \\ b_{03} \\ b_{40} \\ \vdots \\ b_{0n} \end{bmatrix} = \begin{bmatrix} s_1 \\ s_2 \\ \vdots \\ s_p \end{bmatrix}$$

$$\begin{bmatrix} r_{1c_1} & r_{1s_1} & r_{1c_1}^2 & r_{1c_1s_1} & r_{1s_1}^2 & r_{1c_1}^3 & r_{1c_1}^2s_1 & r_{1c_1s_1}^2 & r_{1s_1}^3 & r_{1c_1}^3s_1 & r_{1c_1}^2s_1^2 & r_{1c_1s_1}^3 & r_{1s_1}^4 & \dots & r_{1c_1}^n s_1 \\ r_{2c_2} & r_{2s_2} & r_{2c_2}^2 & r_{2c_2s_2} & r_{2s_2}^2 & r_{2c_2}^3 & r_{2c_2}^2s_2 & r_{2c_2s_2}^2 & r_{2s_2}^3 & r_{2c_2}^3s_2 & r_{2c_2}^2s_2^2 & r_{2c_2s_2}^3 & r_{2s_2}^4 & \dots & r_{2c_2}^n s_2 \\ r_{pc} & r_{ps} & r_{pc}^2 & r_{pc}^2s_p & r_{ps}^2 & r_{pc}^3 & r_{pc}^2s_p & r_{pc}^2s_p & r_{ps}^3 & r_{pc}^3s_p & r_{pc}^2s_p^2 & r_{pc}^3s_p & r_{ps}^4 & \dots & r_{pc}^n s_p \end{bmatrix}$$

Układ równań liniowych do wyznaczenia współczynników transformacji wielomianowej. Oznaczenia:

$$\begin{aligned} r_k &= r(\alpha_k) \\ c_k &= \cos \alpha_k \\ s_k &= \sin \alpha_k \end{aligned}$$

(13)

LITERATURA

- [1] Gauszus E.W.: Issledowanije dinamiczeskich sistiem metodom toczechnych preobrazowanij. Nauka, Moskwa 1976.
- [2] Kowalew K.M.: Nieliniejnije zadaczi upravlienija i nabludienija w teorii dinamiczeskich sistiem. Naukowa Dumka, Kijew 1980.
- [3] Newcomb R.W.: Nonlinear Differential Systems: A Canonic, Multivariable Theory. Proc. IEEE, 6, 1977, pp. 930-936.
- [4] Sibirskij K.S.: Algebraiczeskije inwarianty differencjalnych urawnień i metric: "Sztiińca", Kiszyniew 1976.
- [5] Sibirskij K.S.: Wwiedienije w algebraiczeskiju teoriju inwariantow differencjalnych urawnień. "Sztiińca", Kiszyniwe 1982.
- [6] Siwczyński M.: Zynteza pewnej klasy nieliniowych układów autonomicznych w obecności zakłócenia. Zeszyty Naukowe WSI w Opolu, s. Elektryka z. 16, 1981 ss. 149-156.

Recenzent:

Doc. dr inż. Zdzisław Trzaska

Przyjęto do Redakcji dn. 15 kwietnia 1986 r.

СИНТЕЗ НЕЛИНЕЙНЫХ АВТОНОМНЫХ РАЦИОНАЛЬНЫХ СИСТЕМ

Р е з ю м е

В работе введено понятие рационального дифференциального уравнения. Это дифференциальное уравнение в \mathbb{R}^n с многомерной рациональной функцией в правой части. Доказано, что полугруппа рациональных координатных преобразований, переводит множество рациональных уравнений в себя и что произвольное рациональное уравнение можно реализовать в аналоговой схеме с помощью умножителей и интегрирующих и операционных усилителей. Эта теорема применена к синтезу двумерной автономной системы, которая с произвольной точностью реализует заданный гладкий предельный цикл. Представлен также метод синтеза рационального уравнения, которое имеет траектории на одном неголомном многообразии. Показанный пример можно применить к синтезу генераторов синусоидальных колебаний с частотной и фазовой перестройкой.

NONLINEAR RATIONAL AUTONOMOUS SYSTEMS SYNTHESIS

Summary:

In the paper the rational differential equation was defined. It is the differential equation, in \mathbb{R}^n with the multidimensional rational function on the right side. The rationals transformations semigroup were proved to

Janusz WALCZAK

Instytut Podstawowych Problemów
Elektrotechniki i Energoelektroniki
Politechniki Śląskiej

PEWNE UWAGI O KLASYCZNEJ DEFINICJI INDUKCYJNOŚCI

Streszczenie. Klasyczna definicja indukcyjności cewek cienkich wiąże się z pojęciem strumienia przenikającego powierzchnię ograniczoną konturem cewki. Problem rozpinalności powierzchni na cewkach będących dyfeomorficznymi obrazami okręgów jest trywialny, dla cewek zawężonych ulega on istotnej komplikacji. Komplikacja ta wiąże się z zagadnieniem możliwości rozpinania orientowalnych powierzchni na konturach zawężonych.

Problem zanurzenia (rozpinalności hiperpowierzchni) rozmaitości M^n w rozmaitości M^{n+1} stanowi aktualne zagadnienie topologii algebraicznej nierozwiązalne w pełni do chwili obecnej.

W pracy opisano dwa sposoby rozpinania powierzchni na zwartych rozmaitościach jednowymiarowych zanurzonych w przestrzeni R^n wykorzystując metody Brunna i Seifferta. Podano szereg przykładów ilustrujących zastosowanie tych metod.

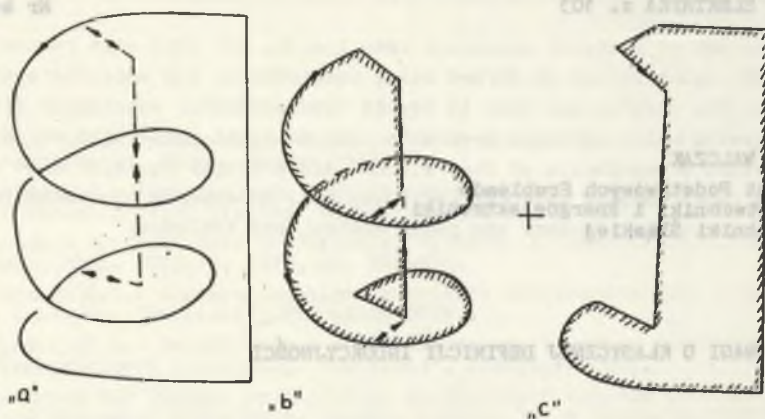
1. Wstęp

W topologii algebraicznej węzłem nazywamy jednowymiarową rozmaitość różniczkowalną zanurzoną w przestrzeni R^3 . Jeżeli rozmaitość różniczkowalna jest zwarta, to taki węzeł nazywamy rączkowym.

Mówimy, że dwa węzły W_1, W_2 są tego samego typu, tzn. są sobie równoważne topologicznie, jeśli istnieje homeomorfizm przekształcający węzeł W_1 wraz z pewnym jego otoczeniem trójwymiarowym w węzeł W_2 (wraz z jego otoczeniem trójwymiarowym). Zagadnienie klasyfikacji topologicznej węzłów jest bardzo złożone i z punktu widzenia niniejszego artykułu nieistotne.

W dalszym ciągu artykułu przez słowo "węzeł" rozumiemy węzeł rączkowy określonego typu bez wnikania w problem, jakie niezmienniki topologiczne charakteryzują typ węzła.

Problem rozpinalności powierzchni orientowalnych na węzłach rączkowych wiąże się ściśle ze stosownością klasycznej definicji indukcyjności opartej na pojęciu strumienia magnetycznego. Problem ten dla węzłów homeomorficznych (wraz z pewnym otoczeniem) ze sferą S^1 jest stosunkowo prosty, chociaż nawet w tym przypadku mogą wystąpić komplikacje. Klasycznym przykładem jest tu problem rozpinania powierzchni na cewce cylindrycznej (rys. 1).



Rys. 1. Rozpinanie powierzchni na cewce cylindrycznej
 Fig. 1. The spanning surface in the cylindrical coil

Jeśli długość cewki jest dostatecznie duża w porównaniu z jej średnicą, a skok linii śrubowej dostatecznie mały (brak ścisłego sprecyzowania tych terminów w literaturze), to każdy zwoj cewki można zastąpić prądem pierścieniowym o tym samym natężeniu co prąd cewki pierwotnej. Tym samym cewkę cylindryczną zastępuje się pojedynczym zwojem, w którym płynie prąd o natężeniu równym iloczynowi prądu cewki pierwotnej cylindrycznej i liczby jej zwojów. Przypadek, w którym założenia pozwalające na przyporządkowanie cewce cylindrycznej zwoju kołowego nie są spełnione, jest w literaturze całkowicie pomijany, np. ([1], [2]).

Intuicyjnie można przypuszczać, że operacja polegająca na przyklejaniu dodatkowych dwukrotnie orientowalnych łuków (w celu zapewnienia niezmienności rozpiętych prądu w cewce) do węzła powinna pozwolić na pozytywne rozwiązanie problemu rozpinalności orientowalnych powierzchni na węzłach.

Rozpatrzmy następujący przykład:

Przykład 1

Rozpiąć orientowaną powierzchnię na cewce cylindrycznej, dla której nie są spełnione założenia umożliwiające przyporządkowanie jej zwoju kołowego (rys. 1).

Wprowadzamy dodatkowe dwukrotnie orientowalne łuki, tak jak to pokazano na rys. 1 "a". Powierzchnię rozpiętą na cewce można przedstawić w postaci sumy dwóch orientowalnych powierzchni (rys. 1a, 1b). W celu łatwiejszego zaobserwowania faktu, że powierzchnia przedstawiona na rys. 1b jest orientowalna, można wprowadzić dalsze cięcia tej powierzchni (rys. 1b), co oznaczono na tym rysunku liniami kreskowanymi.

Problem rozpinania orientowalnych powierzchni na węzłach nie będących homeomorficznym obrazem sfery S^1 (wraz z pewnym trójwymiarowym jej otoczeniem) jest o wiele bardziej złożony. W niektórych przypadkach możliwe jest

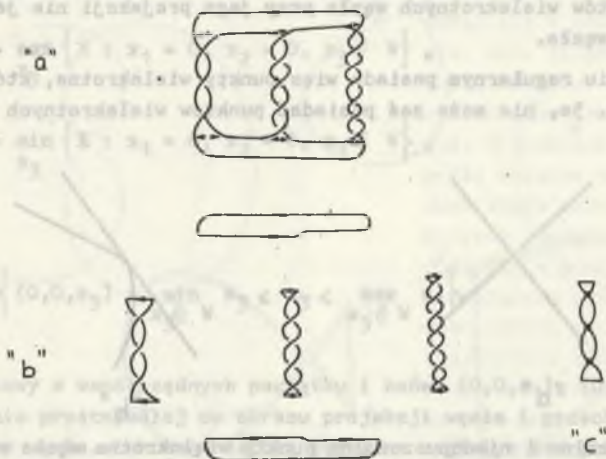
intuicyjne dołączenie dwukrotnie orientowanych łuków do węzła tak, by można było na nim rozpiąć powierzchnię orientowaną.

Rozpatrzmy następujący przykład:

Przykład 2

Rozpiąć powierzchnię na nieodwracalnym węźle Trottera przedstawionym na rys. 2.

Gdy wprowadzimy pomocnicze dwukrotnie orientowalne łuki, tak jak to pokazano na rys. 2a (za pomocą linii kreskowanych), węzeł Trottera rozpada się na pięć węzłów homeomorficznych ze sferą S^1 (rys. 2b). Chcąc uprościć powierzchnię rozpiętą na zwojach bifilarnych (rys. 2b), można wprowadzić dodatkowe dwukrotnie orientowalne łuki w płaszczyźnie prostopadłej do rysunku (łuki te na rys. 2c oznaczono kropkami).



Rys. 2. Rozpinanie powierzchni na węźle Trottera
Fig. 2. The spanning surface in the Trotter knots

Procedurę dołączania dodatkowych (dwukrotnie orientowalnych) łuków do danego węzła nazywać będziemy cięciem węzła. Przed przystąpieniem do syntezy efektywnych algorytmów umożliwiających proces rozpinania orientowalnych powierzchni na węzłach należy odpowiedzieć na następujące pytania:

1. Czy dla każdego węzła należącego do zbioru węzłów topologicznie równoważnych istnieje postać kanoniczna, wspólna dla całego zbioru.
2. Jeśli odpowiedź na ww. pytanie jest pozytywna, to w jaki sposób należy dołączać dodatkowe łuki do węzła, by ulegał on rozpadowi na węzły elementarne homeomorficzne ze sferą S^1 .

Zagadnienia te będą rozpatrzone w dalszej części artykułu.

2. Metoda cięć węzła oparta na twierdzeniu Brunna

Przed przystąpieniem do analizy metod cięć węzła wprowadźmy najpierw pewne pojęcia podstawowe:

Projekcją węzła W nazywamy odwzorowanie:

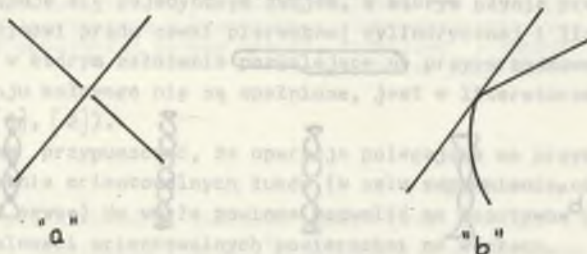
$$Pr : W \subset \mathbb{R}^3 \rightarrow \mathbb{R}^2. \quad (1)$$

Punkt p należący do obrazu projekcji węzła nazywamy K -krotnym, jeśli jego przeciwobraz odpowiada k punktom węzła.

Węzeł znajduje się w położeniu regularnym, gdy:

- 1) wszystkie jego punkty wielokrotne mają krotność równą dwa,
- 2) liczba punktów wielokrotnych węzła jest skończona,
- 3) żaden z punktów wielokrotnych węzła przy jego projekcji nie jest obrazem wierzchołka węzła.

Węzeł w położeniu regularnym posiada więc punkty wielokrotne, których obraz pokazano na rys. 3a, nie może zaś posiadać punktów wielokrotnych pokazanych na rys. 3b.



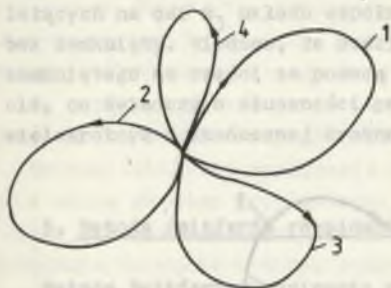
Rys. 3. Dopuszczalne i niedopuszczalne punkty wielokrotne węzła w położeniu regularnym

Fig. 3. The admissible and non-admissible multiple points for knot in the regular position

Można wykazać ([3], s. 18), że:

- każdy węzeł rączkowy można przedstawić w położeniu regularnym,
- liczba regularnych położzeń węzłów rączkowych jest co najwyżej przeliczalna, tzn. liczba wszystkich typów topologicznie równoważnych węzłów jest co najwyżej przeliczalna.

Mówimy, że węzeł rączkowy znajduje się w zmodyfikowanym położeniu regularnym, jeśli posiada on jeden punkt wielokrotny o skończonej krotności. Można wykazać [4], że każdy węzeł rączkowy znajdujący się w położeniu regularnym można sprawdzić do zmodyfikowanego położenia regularnego. Powyższe stwierdzenie nosi nazwę twierdzenia Brunna [4]. Przykład obrazu węzła znajdującego się w zmodyfikowanym położeniu regularnym przedstawiono na rys. 4.



Rys. 4. Obraz węzła rączkowego w zmodyfikowanym położeniu regularnym

Fig. 4. The image of handle knot in the modified regular position

Przeanalizujemy obecnie procedurę rozpinania powierzchni orientowalnych na węzle znajdującym się w położeniu regularnym zmodyfikowanym. W tym położeniu jedynym punktem wspólnym gałęzi węzła (w obrazie projekcji) jest punkt wielokrotny leżący w początku układu współrzędnych. Przyklejmy do węzła dodatkowy łuk (dwukrotnie orientowalny) leżący na osi x_3 (rys. 5). Współrzędne początku i końca łuku oznaczmy przez $(0, 0, z_1)$, $(0, 0, z_2)$. Współrzędne z_1, z_2 początku i końca dodatkowego łuku dobierzmy zgodnie ze wzorami:

$$z_1 = \max_{x_3} \{ X : x_1 = 0, x_2 = 0, x_3 \in W \}, \quad (2)$$

$$z_2 = \min_{x_3} \{ X : x_1 = 0, x_2 = 0, x_3 \in W \}, \quad (3)$$

gdzie:

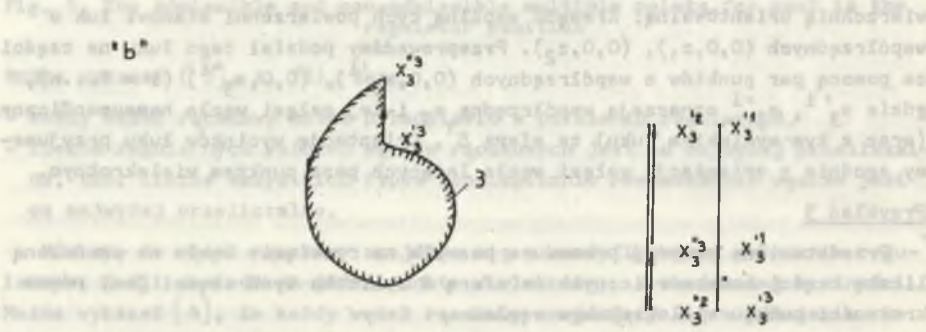
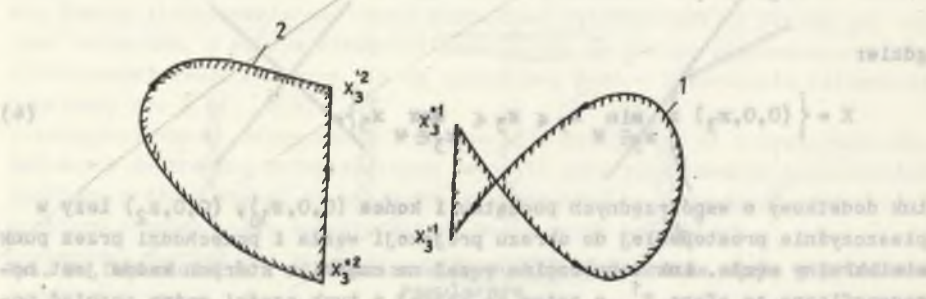
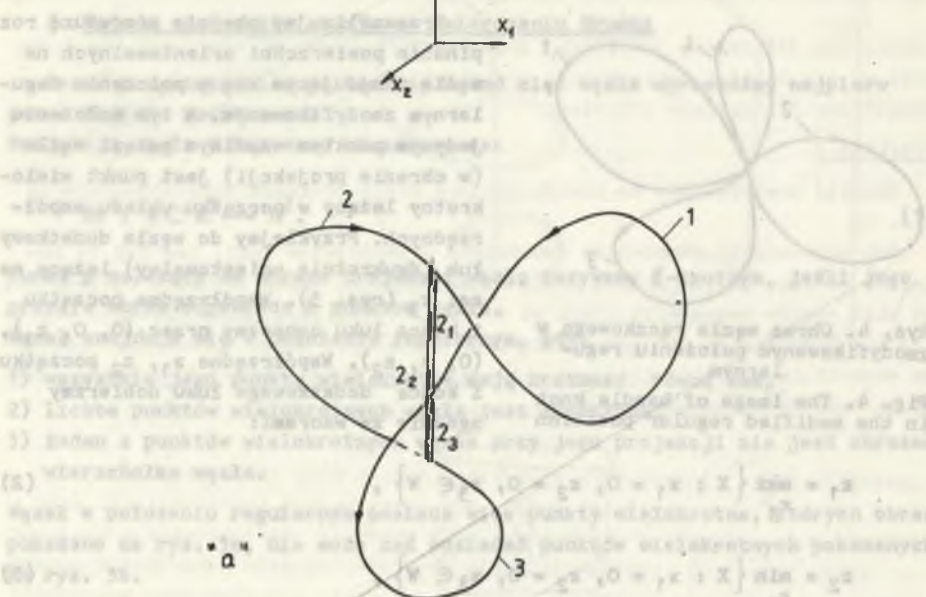
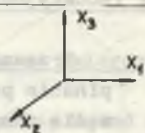
$$X = \left\{ (0, 0, x_3) : \min_{x_3 \in W} x_3 \leq x_3 \leq \max_{x_3 \in W} x_3 \right\}. \quad (4)$$

Łuk dodatkowy o współrzędnych początku i końca $(0, 0, z_1)$, $(0, 0, z_2)$ leży w płaszczyźnie prostopadłej do obrazu projekcji węzła i przechodzi przez punkt wielokrotny węzła. Łuk ten rozcina węzeł na części, z których każda jest homeomorficzna ze sferą S^1 , a zatem na każdej z tych części można rozpiąć powierzchnię orientowalną. Krawędź wspólną tych powierzchni stanowi łuk o współrzędnych $(0, 0, z_1)$, $(0, 0, z_2)$. Przeprowadźmy podział tego łuku na części za pomocą par punktów o współrzędnych $(0, 0, x_3^{i-1})$, $(0, 0, x_3^i)$ ($i = 1 \dots n$), gdzie x_3^{i-1} , x_3^i oznaczają współrzędną x_3 i -tej gałęzi węzła homeomorficznej (wraz z tym wycinkiem łuku) ze sferą S^1 . Orientację wycinków łuku przyjmujemy zgodnie z orientacją gałęzi węzła leżących poza punktem wielokrotnym.

Przykład 3

Przedstawiona powyżej procedura pozwala na rozcięcie węzła na skończoną liczbę części homeomorficznych ze sferą S^1 . Liczba tych części jest równa krotności punktu wielokrotnego węzła.

Opisaną procedurę pokazano na przykładzie węzła znajdującego się w zmodyfikowanym położeniu regularnym, dla krotności punktu wielokrotnego równej 3. Zauważmy, że przedstawiona procedura jest słuszna dla dowolnego węzła znajdującego się w położeniu regularnym zmodyfikowanym.



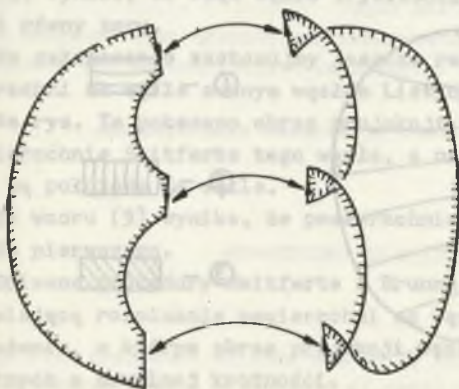
Rys. 5. Rozpinanie powierzchni na węzle z punktem wielokrotnym o krotności równej 3
 Fig. 5. The spanning surface in the knot with multiple points of multiplication factor equal 3

Dodatkowy łuk wprowadzany w celu rozcięcia węzła można traktować jako układ dwóch przeciwnie skierowanych kolinearnych wektorów o równej długości leżących na osi x_3 układu współrzędnych. Układ tych wektorów tworzy wielobok zamknięty. Wiadomo, że podział wektorów wchodzących w skład wieloboku zamkniętego na części za pomocą par punktów nie może spowodować jego otwarcia, co świadczy o słuszności przedstawionej procedury dla węzła z punktem wielokrotnym o skończonej krotności.

3. Metoda Seiferta rozpinania powierzchni na węzłach

Metoda Seiferta rozpinania powierzchni na węzłach opisana przez Foxa ([5], str. 140) polega na dołączaniu do węzła dodatkowych zorientowanych konturów, w wyniku czego węzeł rozpada się na skończoną liczbę części homeomorficznych ze sferą S^1 .

Przykład 4

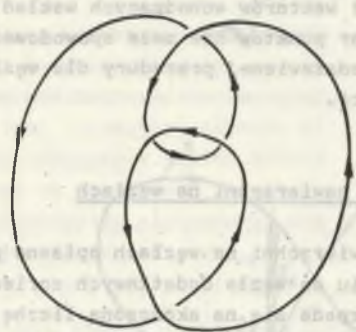


Rys. 6. Okręgi Seiferta dla węzła trzylistnego

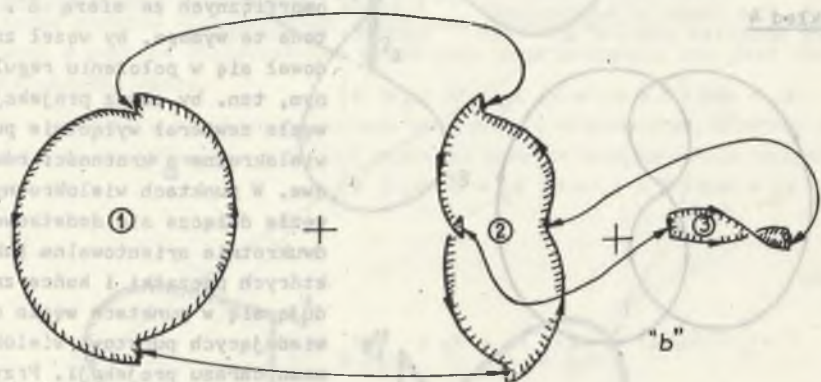
Fig. 6. The Seifert circles for the trefoil knots

Metoda ta wymaga, by węzeł znajdował się w położeniu regularnym, tzn. by obraz projekcji węzła zawierał wyłącznie punkty wielokrotne o krotności równej dwa. W punktach wielokrotnych węzła dołącza się dodatkowe dwukrotnie orientowalne łuki, których początki i końce znajdują się w punktach węzła odpowiadających punktowi wielokrotnemu obrazu projekcji. Przyporządkowanie tych łuków gałęziom węzła przeprowadza się w sposób następujący. Przyjmijmy dowolny punkt węzła nie będący jego punktem wielokrotnym jako "punkt startu". Poruszając się z tego punktu zgodnie z orientacją węzła dochodzimy do punktu wielokrotnego, w którym przeskakujemy na drugą gałąź węzła. Poruszając się po tej gałęzi węzła zgodnie z jej orientacją dochodzimy do następnego punktu wielokrotnego, w którym przeskakujemy na następną gałąź węzła. Procedurę tę powtarzamy tyle razy, aż znajdziemy się w "punkcie startu". Krzywa zamknięta

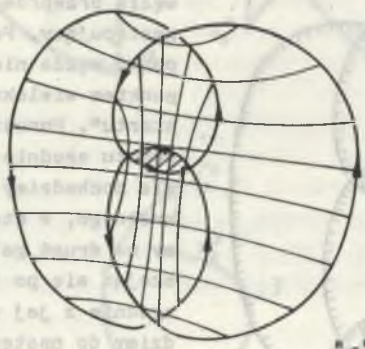
Przykład 5



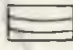


"a"



"b"



"c"

- ① - 
- ② - 
- ③ - 

Rys. 7. Powierzchnie Seiferta dla węzła Listinga
Fig. 7. The Seifert surface for the Listing knots

uzyskana opisaną powyżej metodą jest homeomorficzna z okręgiem i nosi nazwę okręgu Seiferta. Dobierając "punkt startu" we wszystkich gałęziach węzła znajdujących się poza jego punktami wielokrotnymi wyznacza się okręgi Seiferta przyporządkowane danemu węzłowi.

Na okręgach Seiferta (z uwagi na to, że są one homeomorficzne z okręgiem) można zawsze rozpiąć powierzchnie orientowalne.

Metodę Seiferta rozpinania powierzchni na węzłach pokazano na przykładzie węzła zwanego trzylistnym, posiadającego w obrazie projekcji trzy punkty wielokrotne (rys. 6). Na tym rysunku odpowiadające sobie łuki (tzn. dołączone do węzła w danym punkcie wielokrotnym) oznaczono strzałkami. Powierzchnie Seiferta nie mogą się ze sobą przecinać, mogą mieć one wspólne części brzegów (odpowiadające dołączanym dwukrotnie i przeciwnie orientowalnym łukom) lub też mogą zawierać się w sobie (w obrazie projekcji). Metoda Seiferta rozpinania powierzchni na węzłach pozwala określić jeden z niezmienników topologicznych określających typ węzła.

Rzędem powierzchni naciągniętej na węzeł a zarazem rzędem węzła nazywamy liczbę określoną przez:

$$\text{rzęd} \{ W \} = \frac{1}{2} (d - f + 1), \quad (5)$$

gdzie:

- d - liczba punktów wielokrotnych węzła w położeniu regularnym,
- f - liczba powierzchni Seiferta wyznaczonych dla danego węzła.

Istnieją ([5], s. 141) efektywne metody wyznaczania rzędu węzła. Ze wzoru (5) wynika, że rząd węzła trywialnego, tzn. homeomorficznego ze sferą S^1 , jest równy zeru.

Na zakończenie zastosujemy jeszcze raz metodę Seiferta do rozpięcia powierzchni na węzle zwanym węzłem Listinga (przykład 5).

Na rys. 7a pokazano obraz projekcji węzła Listinga, na rys. 7b pokazano powierzchnie Seiferta tego węzła, a na rys. 7c pokazano, jak te powierzchnie są położone na węzle.

Ze wzoru (5) wynika, że powierzchnia rozpięta na węzle Listinga jest rzędu pierwszego.

Opisane procedury Seiferta i Brunna można łatwo połączyć w jedną umożliwiającą rozpinanie powierzchni na węzłach rączkowych znajdujących się w położeniu, w którym obraz projekcji węzła zawiera skończoną liczbę wielokrotnych o dowolnej krotności.

LITERATURA

- 1 E.I. Tamm: Podstawy teorii elektryczności. WNT, Warszawa 1967.
- 2 R.M. Fano, L.J. Chu, R.B. Adler: Electromagnetic Fields, Energy and Forces. J. Wiley N. York. 1963.

- 3 R.H. Crowell, R.H. Fox: Introduction to Knot Theory. G. C. N. York. 1963.
- 4 H. Brunn: Topologische Betrachtungen. Z. für Math. und Phys. Bd. 37. 1892. str. 106-116.
- 5 M.K. Fort: Topology of 3-Manifolds and Related Topics. Engl. Cliffs. N. Jersey. 1952.

Recenzent:

Doc. dr hab. inż. Stanisław K. Krzemiński

Wpłynęło do Redakcji 15 kwietnia 1986 r.

НЕКОТОРЫЕ ЗАМЕЧАНИЯ О КЛАССИЧЕСКОЙ ДЕФОРМАЦИИ ИНДУКТИВНОСТИ

Резюме

Классическая дефиниция индуктивности линейных катушек связана с понятием потока, проникающего поверхность ограниченную контуром катушки. Проблема растягивания поверхности на катушках будущих диффеоморфичными образами округов, очень тривиальна.

Для катушек зацеплённых, проблема подвергается существенному сложению. Осложнение связано с вопросом возможности растягивания ориентированных поверхностей на контурах зацепления.

Проблема погружения (растягивания гиперповерхности) многообразия M^n в многообразии M^{n+1} представляет собой актуальный вопрос алгебраической топологии неразрешённый полностью до сих пор.

В работе описаны два способа растягивания поверхности на компактных многообразиях, имеющих одно измерение погруженных в пространстве при помощи методов Брунна и Сейтферта.

Представлен ряд примеров, поясняющих применение этих методов.

SOME REMARKS ABOUT CLASSICAL DEFINITION OF INDUCTANCE

Summary:

Classical definition of inductance of linear coil is connected with an idea of a flux penetrating surface (that is limited of a coil contour). The problem of surface spanning on the coils, with are diffeomorphic images of circles is trival. For the linking coils, this problem is much more complicated, that complication concerns a problem of possibility of the spanning oriented surface on the linking contours.

The problem of immersion (of the spanning hypersurface) of manifold M^n in manifold M^{n+1} is very for algebraic topology, not quite solvable till now.

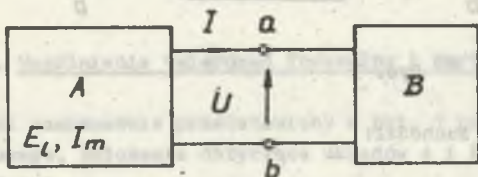
Zofia CICHOWSKA

Instytut Podstawowych Problemów
Elektroniki i Energoelektroniki
Politechniki ŚląskiejTWIERDZENIA THEVENINA I NORTONA DLA UKŁADU n -ZACISKOWEGO

Streszczenie. Korzystając z zasady wyodrębnienia i zasady superpozycji wykazano słuszność twierdzenia o zastępczym generatorze dla układu 2-zaciskowego. Następnie powtórzono tok rozumowania dla układu n -zaciskowego i uzyskano opis macierzowy tego układu w dwóch równoważnych postaciach. Przedstawiono dwie możliwe struktury układu zastępczego wynikające bezpośrednio z tych równań macierzowych. Przedstawione układy zbudowane są $n-1$ źródeł autonomicznych, $n-1$ dwójników o zadanych impedancjach (admitancjach) oraz $n-1$ źródeł sterowanych.

1. Twierdzenia Thévenina i Nortona dla układu 2-zaciskowego

Uzasadnienie twierdzeń Thevenina i Nortona o zastępczym generatorze można przeprowadzić w sposób odmienny od powszechnie stosowanego. Rozpatrzmy układ aktywny A zawarty między zaciskami ab współpracujący z układem B (rys.



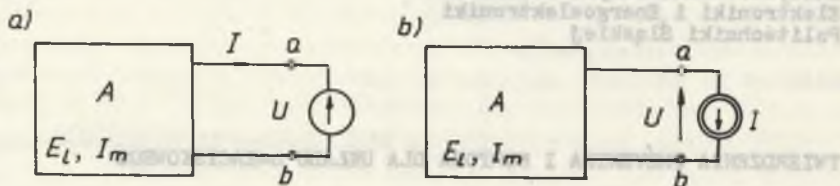
Rys. 1

1). Załóżmy, że układy A i B są to układy SLS, a więc stacjonarne, liniowe, skupione, złożone z elementów RLCM, źródeł autonomicznych i źródeł sterowanych. Układy te będziemy analizować symboliczną¹⁾ dla przebiegów sinusoidalnych w stanie ustalonym dla wspólnej częstotliwości sił elektromotorycznych i wydajności prądowych źródeł autonomicznych. Załóżmy, że układ A zawiera L autonomicznych źródeł napięciowych E_l i M autonomicznych źródeł prądowych I_m ($l \in \{1, \dots, L\}$, $m \in \{1, \dots, M\}$).

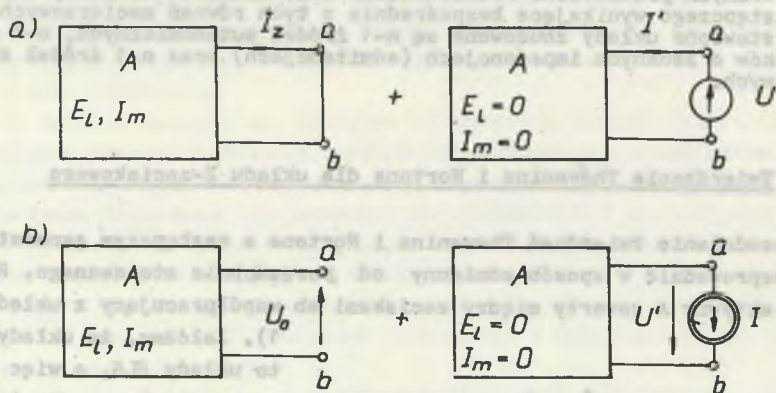
Poszukujemy aktywnego dwójnika równoważnego układowi A ze względu na zaciski ab. W tym celu zastąpimy zgodnie z zasadą wyodrębnienia układ B idealnym źródłem napięciowym lub prądowym o wartościach napięcia U lub prądu I

¹⁾ Rozważania można uogólnić na układy SLS o dowolnych przebiegach wymuszeń badane w stanie nieustalonym przy użyciu przekształcenia Laplace'a.

w przekroju ab (rys. 2). Obliczymy w układzie z rys. 2a prąd I , a w układzie z rys. 2b napięcie U za pomocą zasady superpozycji. W tym celu każdy z układów rozbijamy na dwa układy grupując w pierwszym wszystkie źródła układu A przy zwartej siłę elektromotorycznej U lub rozwartej wydajności prądowej I , a w drugim siłę elektromotoryczną U lub wydajność prądową I przy zwartej wszystkich siłach elektromotorycznych E_l i rozwartych wszystkich wydajnościach prądowych I_m , czyli przy $E_l = 0, 1 \in \{1, \dots, L\}$ oraz $I_m = 0, m \in \{1, \dots, M\}$ (rys. 3).



Rys. 2



Rys. 3

Zgodnie z zasadą superpozycji zachodzi:

$$I = I_z - I' = I_z - I_0 \quad (1)$$

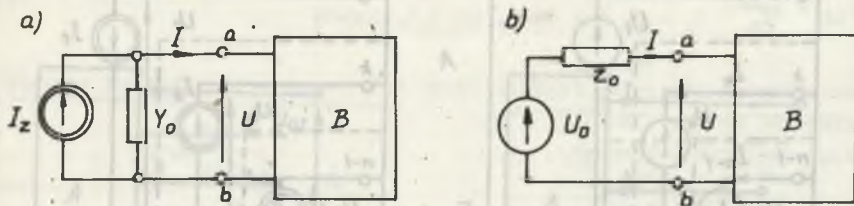
$$U = U_0 - U' = U_0 - Z_0 I \quad (2)$$

Równania (1) i (2) są równoważnym opisem tego samego układu. Opisy te istnieją równocześnie z wyjątkiem przypadków granicznych, tj. $Y_0 = 0$ lub $Z_0 = 0$, a więc przypadków, gdy układ A jest idealnym źródłem prądowym lub napięciowym.

Warunki równoważności można wyrazić w postaci:

$$Z_0 = \frac{1}{Y_0} = \frac{U_0}{I_z} \quad (3)$$

Wzory (3) podają możliwość pomiarowego lub obliczeniowego wyznaczenia impedancji Z_0 (konduktancji Y_0) dla układu A zawierającego źródła sterowane. Przy braku źródeł sterowanych w układzie A Z_0 można również wyznaczyć metodą transfiguracji. Sposób obliczania parametrów dwójników równoważnych na podstawie zmodyfikowanej metody węzłowej podano w pracy [3].



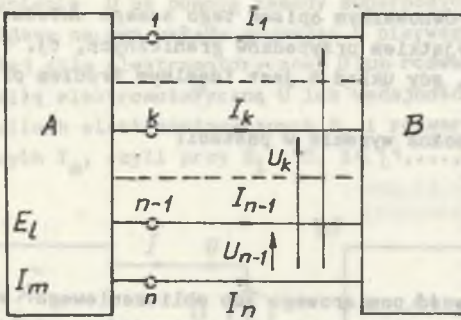
Rys. 4

Opisowi wyrażonemu wzorami (1) i (2) można przyporządkować obwody o prostych strukturach przedstawionych na rys. 4. Części zawarte na lewo od zacisków a b nazywane są dwójnikiem Nortona (rys. 4a) i dwójnikiem Thévenina (rys. 4b).

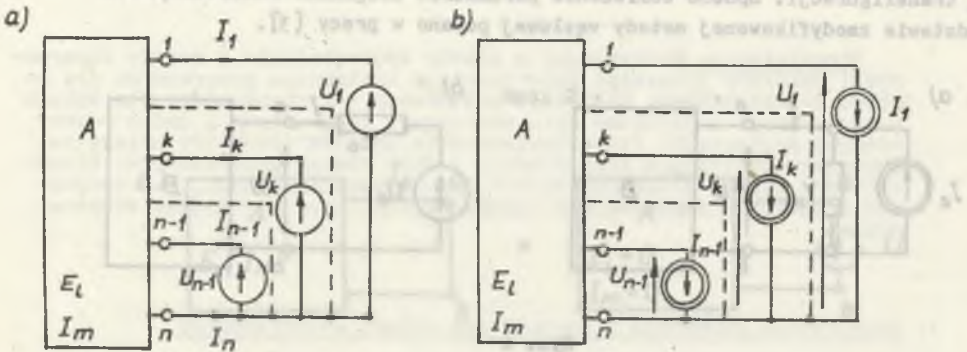
2. Uogólnienie twierdzeń Thévenina i Nortona dla układu n-zaciskowego

Tok rozumowania przedstawiony w pkt. 1 powtórzmy teraz dla układu n-zaciskowego. Założenia dotyczące układów A i B (rys. 5) są identyczne z poprzednimi.

Układ B zastępujemy w myśl zasady wyodrębnienia zespołem n-1 sił elektromotorycznych lub n-1 wydajności prądowych o wartościach napięć i prądów w przekroju 1...n. Wybór przewodu odniesienia jest dowolny, a więc układ źródeł zastępczych może być zrealizowany na n sposobów. Na rys. 6 przedstawiono te układy dla n-tego przewodu przyjętego jako przewód odniesienia. Obliczmy $J_1 \dots J_{n-1}$ w układzie z rys. 6a oraz napięcia $U_1 \dots U_{n-1}$ w układzie z rys. 6b za pomocą zasady superpozycji. Każdy z tych układów rozbijamy na



Rys. 5



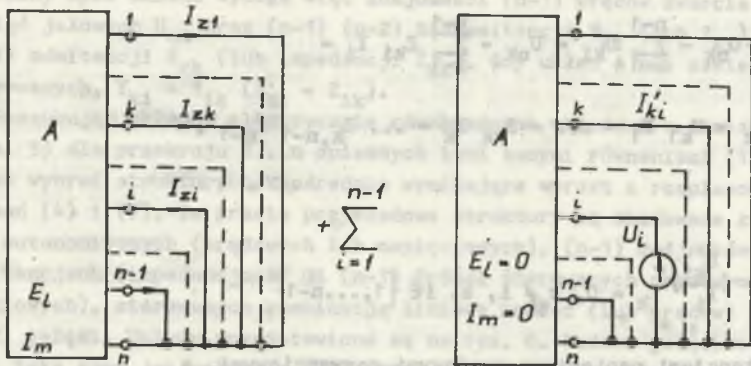
Rys. 6

n układów grupując w pierwszym wszystkie źródła autonomiczne części A, a w pozostałych kolejno $n-1$ źródeł napięciowych lub prądowych (rys. 7). Prąd płynący przez k -ty zacisk

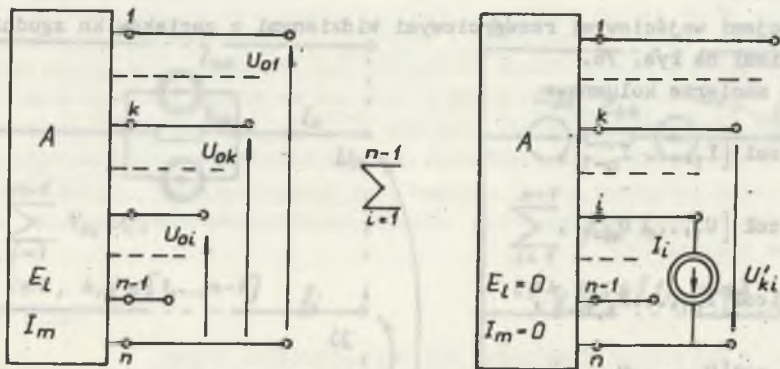
$$\begin{aligned}
 I_k &= I_{zk} - \sum_{i=1}^{n-1} I'_{ki} & I'_{ki} &= I_{zk} - \sum_{i=1}^{n-1} Y_{ki} U_i = \\
 &= I_{zk} - Y_{k1} U_1 - \dots - Y_{kk} U_k - \dots - Y_{k,n-1} U_{n-1},
 \end{aligned} \quad (4)$$

gdzie:

$$Y_{ki} = \left(\frac{I'_{ki}}{U_i} \right) U_k = 0, \quad k \neq i, \quad k, i \in \{1, \dots, n-1\} \quad (5)$$



Rys. 7a $k, i \in \{1, \dots, n-1\}$
 $l \in \{1, \dots, L\}, m \in \{1, \dots, M\}$.



Rys. 7b $k, l \in \{1, \dots, n-1\}$
 $l \in \{1, \dots, L\}, m \in \{1, \dots, M\}$.

rys. /

są transmitancjami prądowo-napięciowymi zwarciovymi, a

$$Y_{kk} = \left(\frac{I'_{k1}}{U_k} \right) U_1 = 0, \quad k \neq 1, \quad k, i \in \{1, \dots, n-1\} \quad (6)$$

są admittancjami wejściowymi zwarciovymi widzianymi z zacisków k_n zgodnie z oznaczeniami na rys. 7a.

Analogicznie napięcie między zaciskami k-tym i n-tym

$$U_k = U_{ok} - \sum_{i=1}^{n-1} U'_{ki} = U_{ok} - \sum_{i=1}^{n-1} Z_{ki} I_i =$$

$$= U_{ok} - U_{k1} I_1 - \dots - Z_{kk} I_k - \dots - Z_{k,n-1} I_{n-1}, \quad (7)$$

gdzie:

$$Z_{ki} = \left(\frac{U'_{ki}}{I_1} \right)_{I_k = 0}, \quad k \neq i, \quad k, i \in \{1, \dots, n-1\} \quad (8)$$

są transmitancjami napięciowo prądowymi rozwarciowymi, a

$$Z_{kk} = \left(\frac{U'_{ki}}{I_k} \right)_{I_1 = 0}, \quad k \neq i, \quad k, i \in \{1, \dots, n-1\} \quad (9)$$

są impedencjami wejściowymi rozwarciowymi widzianymi z zacisków kn zgodnie z oznaczeniami na rys. 7b.

Oznaczając macierze kolumnowe

$$\mathbf{I} = \text{col} [I_1, \dots, I_{n-1}],$$

$$\mathbf{U} = \text{col} [U_1, \dots, U_{n-1}],$$

$$\mathbf{I}_z = \text{col} [I_{z1}, \dots, I_{z,n-1}],$$

$$\mathbf{U}_0 = \text{col} [U_{01}, \dots, U_{0,n-1}] \quad (10)$$

oraz macierze kwadratowe o wymiarze (n-1)

$$\mathbf{Y} = [Y_{ki}] \quad (11)$$

$$\mathbf{Z} = [Z_{ki}]$$

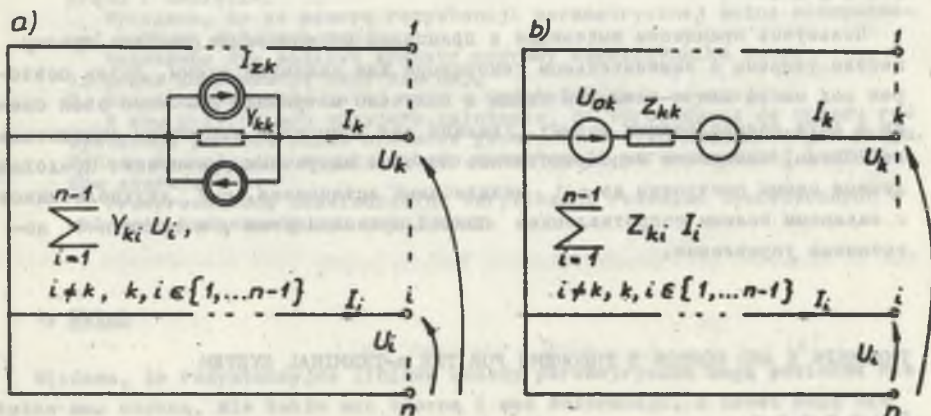
można układ z rys. 5 opisać równaniami macierzowymi

$$\mathbf{I} = \mathbf{I}_z - \mathbf{YU} \quad (12)$$

$$\mathbf{U} = \mathbf{U}_0 - \mathbf{ZI}. \quad (13)$$

Pełny opis układu wymaga więc znajomości $(n-1)$ prądów zwarcia I_{zk} lub napięć jałowych U_{ok} oraz $(n-1)$ $(n-2)$ transmitancji Y_{ki} (lub Z_{ki}), oraz $(n-1)$ admittancji Y_{kk} (lub impedancji Z_{kk}). Gdy układ A nie zawiera źródeł sterowanych, $Y_{ki} = Y_{ik}$ ($Z_{ki} = Z_{ik}$).

Poszukując układów elektrycznie równoważnych układowi n-zaciskowemu A (rys. 5) dla przekroju 1...n opisanych tymi samymi równaniami (12) lub (13) można wybrać struktury bezpośrednie wynikające wprost z rozpisanej postaci równań (4) i (7). Te proste przykładowe struktury są zbudowane z $(n-1)$ źródeł autonomicznych (prądowych lub napięciowych), $(n-1)$ dwójników o zadanych admittancjach (impedancjach) i $(n-1)$ źródeł sterowanych prądowych (lub napięciowych), sterowanych kombinacją liniową napięć (lub prądów) pozostałych $(n-2)$ gałęzi. Układy przedstawione są na rys. 8. Budowa gałęzi od 1 do $n-1$ jest taka sama jak gałęzi k -tej, gałąź n -ta w obydwu układach stanowi zwarcie. Układy te można nazwać: strukturą n-zaciskową Nortona (a) i strukturą n-zaciskową Thévenina (b).



Rys. 8

Istnienie obydwu opisów układu A wyrażonych równaniami (12) i (13) wymaga spełnienia warunku:

$$\det \mathbf{Y} \neq 0 \quad \text{lub} \quad \det \mathbf{Z} \neq 0 \quad (14)$$

Zachodzą wtedy warunki równoważności

$$\mathbf{U}_0 = \mathbf{Y}^{-1} \mathbf{I}_2 \quad (15)$$

$$\mathbf{Z} = \mathbf{Y}^{-1} \quad (16)$$

LITERATURA

- [1] Brodzki M.: Wstęp do teorii liniowych obwodów elektrycznych w ujęciu geometrycznym. Skrypt Politechniki Śląskiej Gliwice 1979, ss. 71-76.
- [2] Fryze S.: Ogólna teoria transfiguracji obwodów elektrycznych. Przegląd elektrotechniczny nr 4-8, 1934.
- [3] Haji I.N.: Computation of Thévenin and Norton equivalents. Electronics Letters, 27th May 1976, vol 12, nr 11.

Recenzent:

Doc. dr inż. Zdzisław Trzaska

Wpłynęło do Redakcji 15 kwietnia 1986 r.

ТЕОРИЯ ТЕВЕНИНА И НОРТОНА ДЛЯ n -ЗАЖИМНОЙ СХЕМЫ

Р е з ю м е

Пользуясь принципом выделения и принципом суперпозиции указано преимущество теоремы о заменительном генераторе для зажимной схемы. Затем повторен ход мысли для n -зажимной схемы и получено матричное описание этой схемы в двух эквивалентных формах. Указаны две возможные структуры заменительной схемы, следующие непосредственно из этих матричных уравнений. Представленные схемы построены из $n-1$ независимых источников, $n-1$ двухполюсников с заданным полным сопротивлением полной проводимостью, а также $n-1$ источников управления.

THEVENIN'S AND NORTON'S THEOREMS FOR THE n -TERMINAL SYSTEM

S u m m a r y

On the basis of the principles of isolation and of superposition it has been proved that the equivalent generator theorem (Thévenin's theorem) is true for the 2-terminal system.

Then, the proces of argumentation has been repeated for the n -terminal system.

As a result of this the system has been described as a matrix in two equivalent forms.

Two possible structures of the equivalent circuit resulting directly from the above matrix equations are presented. The presented systems incorporate $n-1$ independent sources, $n-1$ two-terminal networks with preset impedances (admittances) and $n-1$ controlled sources.

Krystyna STEC
Lesław TOPÓR-KAMIŃSKI

Instytut Podstawowych Problemów
Elektrotechniki i Energoelektroniki
Politechniki Śląskiej

ZASTOSOWANIE REZYSTANCJI PARAMETRYCZNYCH DO POPRAWY WSPÓŁCZYNNIKA MOCY

Streszczenie. W pracy rozpatrzono możliwość poprawy współczynnika mocy za pomocą rezystancji parametrycznych.

Pod uwagę wzięto układy z okresowymi niesinusoidalnymi przebiegami prądu i napięcia.

Wykazano, że za pomocą rezystancji parametrycznej można skompensować wybraną składową prądu.

Rozważano dwa możliwe sposoby poprawy współczynnika mocy:

1. przez kompensację mocy biernej;
2. przez kompensację całej mocy z wyjątkiem mocy czynnej.

W obu przypadkach przyjęto założenie, że wprowadzona do układu rezystancja parametryczna nie może generować nowych harmonicznych prądu. Podano teoretyczne reguły doboru rezystancji parametrycznej i sygnałów sterujących.

Przeprowadzono doświadczalną weryfikację rozważań teoretycznych w układzie kompensacyjnym małej mocy.

1. Wstęp

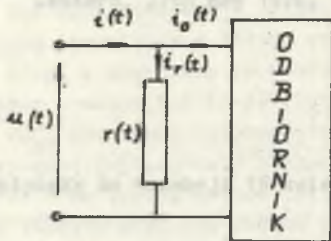
Wiadomo, że rezystancyjne liniowe układy parametryczne mogą pobierać nie tylko moc czynną, ale także moc bierną i moc deformacji, a nawet mogą nie pobierać w ogóle mocy czynnej. Powinno więc być możliwe zastosowanie ich do poprawy współczynnika mocy układu.

W ogólnym jednak przypadku [2] włączenie dwójnika o rezystancji $r(t) = R x(t)$ (gdzie $x(t)$ - parametr sterujący R - stała) powoduje pojawienie się w układzie dodatkowych harmonicznych, co może spowodować pogorszenie współczynnika mocy.

Celem niniejszej pracy jest wykazanie, że możliwe jest poprawienie współczynnika mocy układu za pomocą liniowych rezystancji sterowanych oraz podanie zasad doboru tych rezystancji.

2. Ogólne zasady poprawy współczynnika mocy za pomocą rezystancji sterowanej $r(t)$

Układ do poprawy współczynnika mocy pokazany jest na rys. 1. Przyjęte założenie, że napięcie i prąd odbiornika są przebiegami okresowymi niesinusoidalnymi i mogą być przedstawione za pomocą szeregu Fouriera



$$u(t) = \sum_{n=1}^{\infty} U_{mn} \sin(n\omega t + \alpha_n) \quad (1)$$

$$i(t) = \sum_{n=1}^{\infty} I_{mn} \sin(n\omega t + \alpha_n - \varphi_n) \quad (2)$$

Rys. 1. Ogólny układ kompensacyjny

Fig. 1. General compensation network

W układzie takim stosowane są dwa sposoby podejścia do sprawy poprawy współczynnika mocy.

2.1. Kompensacja mocy biernej

Pierwszy z nich to kompensacja mocy biernej Q określonej wzorem [1]

$$Q = \frac{1}{T} \int_0^T u(t) \mathcal{H}\{i(t)\} dt \quad (3)$$

Moc ta wywołana jest przez składową bierną prądu

$$i_p(t) = - \sum_{n=1}^{\infty} I_{mn} \sin \varphi_n \cos(n\omega t + \alpha_n) \quad (4)$$

a prąd odbiornika określony jest jako suma dwóch składowych $i_c(t)$ i $i_p(t)$

$$i_o(t) = i_c(t) + i_p(t) \quad (5)$$

Kompensację mocy biernej uzyskuje się przez równoległe dołączenie do zacisków odbiornika takiego elementu, który pobiera prąd

$$i_r(t) = - i_p(t) \quad (6)$$

tzn. rezystancji

$$r(t) = - \frac{u(t)}{i_p(t)} \quad (7a)$$

lub konduktancji

$$g(t) = - \frac{i_p(t)}{u(t)} \quad (7b)$$

Przy kompensacji kilku wybranych harmonicznych np. k, l, m

$$i_r(t) = - [i_{pk}(t) + i_{pl}(t) + i_{pm}(t)] \quad (8)$$

gdzie

$$i_{pn} = |I_{nm}| \sin \varphi_n \cos n\omega t$$

$$n = k, l, m,$$

a rezystancja (konduktancja) powinna wyrażać się wzorem:

$$r(t) = - \frac{u(t)}{i_{pk}(t) + i_{pl}(t) + i_{pm}(t)} \quad (9a)$$

lub

$$g(t) = - \frac{i_{pk}(t) + i_{pl}(t) + i_{pm}(t)}{u(t)} \quad (9b)$$

Jak widać, rezystancja $r(t)$ musi być sterowana dwiema funkcjami

$$x(t) = k_1 u(t)$$

$$y(t) = k_2 [-i_p(t)]$$

lub funkcją proporcjonalną do ilorazu tych funkcji.

2.2. Kompensacja zadanego prądu zależnego od przyjętego rozkładu prądu odbiornika

Drugi sposób poprawy współczynnika mocy oparty jest na przyjęciu innego rozkładu prądu na składowe [6]. Prąd odbiornika przedstawiony jest jako suma

$$i_o(t) = i_a(t) + i_b(t), \quad (10)$$

w której wyłącznie składowa

$$i_a(t) = G u(t) \quad (11)$$

jest odpowiedzialna za pobór mocy czynnej, a konduktancja G dobrana jest tak, że

$$P = \frac{1}{T} \int_0^T u(t) i_o(t) dt = \frac{1}{T} \int_0^T u(t) i_a(t) dt, \quad (12)$$

a więc

$$G = \frac{P}{|U|^2}. \quad (13)$$

Zakładamy tutaj całkowitą kompensację składowej $i_b(t)$ tak, że ze źródła pobierana będzie wyłącznie moc czynna.

Wymaga to zastosowania rezystancji

$$r(t) = \frac{u(t)}{-i_b(t)} = -\frac{u(t)}{i_o(t) - i_a(t)} \quad (14a)$$

lub konduktancji

$$g(t) = -\frac{i_b(t)}{u(t)} = -\frac{i_o(t) - i_a(t)}{u(t)} \quad (14b)$$

ewentualnie dwóch konduktancji połączonych równolegle

$$g_1(t) = \frac{-i_o(t)}{u(t)} \quad (15a)$$

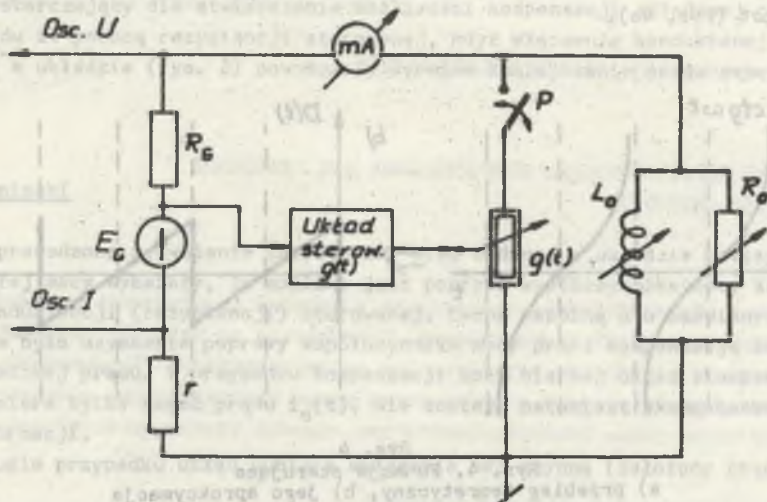
$$g_2(t) = \frac{i_a(t)}{u(t)} = G = \frac{P}{|U|^2}. \quad (15b)$$

Tak jak w poprzednie omówionym sposobie konduktancje te muszą być sterowane dwiema funkcjami lub funkcją proporcjonalną do ich ilorazu.

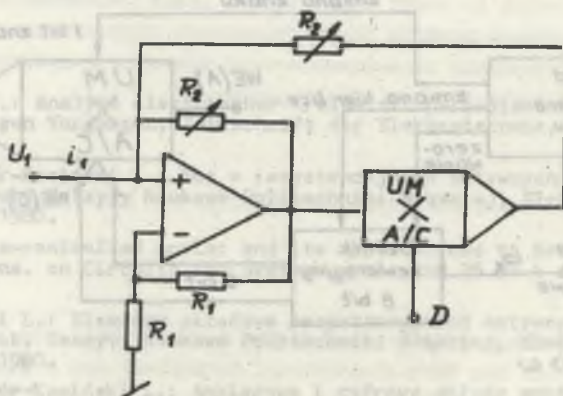
Konduktancje (rezystancje) takie można realizować za pomocą układów aktywnych zawierających elementy sterowane [3], [4], [5].

3. Doświadczalna weryfikacja zjawiska rezystancyjnej parametrycznej kompensacji

Działanie kompensacji sprawdzono w układzie małej mocy zasilanym z rzeczywistego źródła sinusoidalnego (rys. 2). Założono tu kompensację składowej biernej prądu.



Rys. 2. Doświadczalny układ małej mocy
Fig. 2. Experimental low power network



Rys. 3. Konduktancja sterowana
Fig. 3. Time varying conductance

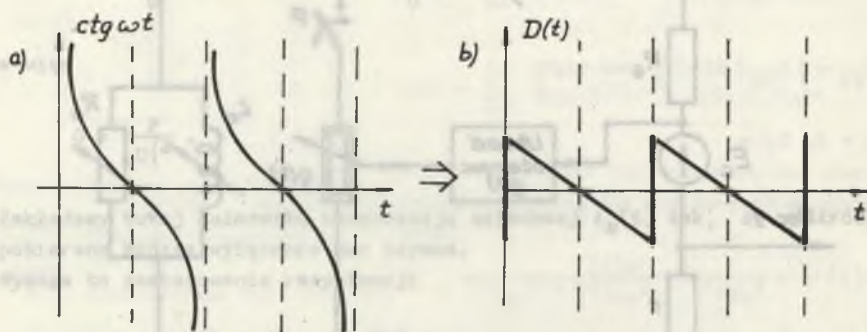
Jako element kompensujący zastosowano konduktancję zmienną z analogowo-cyfrowym układem mnożącym sterowanym sygnałem cyfrowym (rys. 3).

Konduktancja ta winna być równa:

$$g(t) = |Y| \sin\varphi \operatorname{ctg}\omega t, \quad (16)$$

gdzie $Y = |Y| e^{-j\varphi}$ jest admitancją odbiornika typu RL.

Z relacji (13) widać, że przebiegiem sterującym winna być funkcja $f(t) = \operatorname{ctg}\omega t$ (rys. 4a).



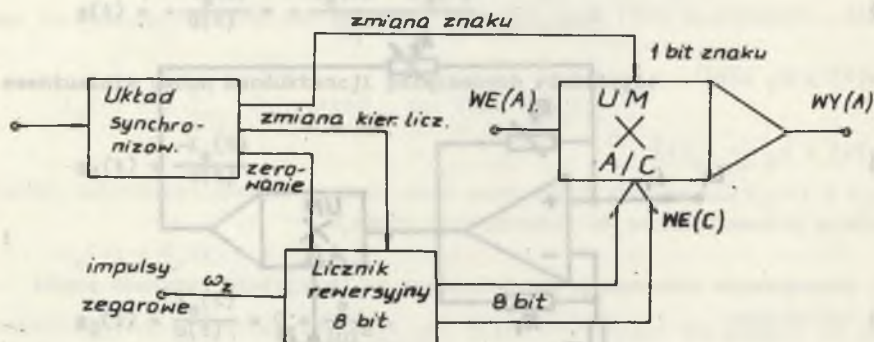
Rys. 4

Rys. 4. Funkcja sterująca

a) przebieg teoretyczny, b) jego aproksymacja

Fig. 4. Control function

a) theoretical, b) its approximation



$$\omega_z \gg \omega$$

Rys. 5. Generator napięcia piłowego

Fig. 5. Triangular signal generator

Ze względu na możliwości realizacyjne przebieg ten został przybliżony przebiegiem piłowym (rys. 4b) łatwym do uzyskania w układzie cyfrowym. Układ do otrzymywania cyfrowego piłowego przebiegu zsynchronizowanego z napięciem generatora pokazano na rys. 5. Przy wprowadzeniu takiego przybliżonego przebiegu sterującego uzyskano efekt kompensacyjny wprawdzie niepełny, lecz wystarczający dla stwierdzenia możliwości kompensacji składowej biernej prądu za pomocą rezystancji sterowanej, gdyż włączenie konduktancji sterowanej w układzie (rys. 2) powodowało wyraźne zmniejszenie prądu generatora.

4. Wnioski

Przeprowadzone rozważanie teoretyczne oraz badanie w układzie rzeczywistym małej mocy wykazały, że możliwa jest poprawa współczynnika mocy za pomocą konduktancji (rezystancji) sterowanej. Cechą wspólną obu omówionych sposobów było uzyskanie poprawy współczynnika mocy przez kompensację zadanej składowej prądu. W przypadku kompensacji mocy biernej układ skompensowany pobiera tylko część prądu $i_0(t)$. Nie zostaje natomiast skompensowana moc deformacji.

W drugim przypadku układ pobiera wyłącznie moc czynną (założony prąd $i_a(t)$).

Praktyczna realizacja proponowanych sposobów poprawy współczynnika mocy wymaga zbudowania konduktancji (rezystancji) sterowanych dużej mocy.

LITERATURA

- [1] Nowowiejski Z.: Analyse elektrischer Kreise mit periodischen nicht sinusoidalformigen Vorgängen, Zeitschrift der Elektrotechnik, No 8, 1967, ss. 244-254.
- [2] Stec K., Topór-Kamiński L.: Moc w rezystancyjnych aktywnych obwodach parametrycznych, Zeszyty Naukowe Politechniki Śląskiej, Elektryka nr 68, ss. 115-122. 1980.
- [3] Goras L. The x-controlled scalar and its applications to Netwok Synthesis, IEEE Trans. on Circuits and Systems, vol. CAS 26 No 4 April 1979 pp. 288-290.
- [4] Topór-Kamiński L.: Elementy składowe rezystancyjnych aktywnych obwodów parametrycznych. Zeszyty Naukowe Politechniki Śląskiej, Elektryka nr 68, ss. 103-114. 1980.
- [5] Frycz S., Topór-Kamiński L.: Analogowe i cyfrowe układy mnożące. Materiały VII SPETO, Gliwice-Ustroń 1984.
- [6] Czarnecki L.: Interpretacja, identyfikacja i modyfikacja właściwości energetycznych obwodów jednofazowych z przebiegami odkształconymi. Zeszyty Naukowe Politechniki Śląskiej, Elektryka nr 91, 1984.

- [7] Stec K., Kamiński L.: Projekt patentu. Sposób kompensacji prądu i lub mocy biernej całkowitej i lub wybranych harmoniczných, nr P-254442, 1985.

Recenzent:

Doc. dr hab. inż. Maciej Siwczyński

Wpłynęło do Redakcji dn. 15 kwietnia 1986 r.

ПРИМЕНЕНИЕ ПАРАМЕТРИЧЕСКИХ СОПРОТИВЛЕНИЙ ДЛЯ УЛУЧШЕНИЯ КОЭФФИЦИЕНТА МОЩНОСТИ

Р е з ю м е

В статье рассматривается возможность улучшения коэффициента мощности при помощи параметрических сопротивлений. Принимаются во внимание системы, в которых токи и напряжения периодические несинусоидальные. Указывается, что при помощи параметрической резистивности можно компенсировать избранную составную часть тока. Рассматриваются два способа улучшения коэффициента мощности:

1. путём компенсации реактивной мощности,
2. путём компенсации всей мощности, за исключением активной мощности.

В обоих случаях принято предложение, что введённое в систему параметрическое сопротивление не может вырабатывать новые гармоники в токе. Даются теоретические правила подбора параметрического сопротивления и управляющих сигналов. Была проведена экспериментальная проверка теоретических рассуждений в компенсационной системе малой мощности.

THE USE OF TIME - VARYING LINEAR RESISTANCES FOR THE IMPROVEMENT OF POWER FACTOR

Summary

A problem of the improvement of power factor by the use of time - varying linear resistances has been elaborated. Periodical non - sinusoidal voltage and current signals were regarded.

It has been proved that the compensation of any required component of power circuit current by means of time - varying linear resistances is possible.

The two possibilities have been concerned:

1. compensation of reactive power
2. compensation of whole power except of its active component

Both possibilities have been elaborated under assumption that time - varying linear resistances cannot generate any new current harmonics. The theoretical rules of determination of the time - varying resistance functions and their control signals have been given. The experimental low-power system has been used to verify theoretic considerations.

O ZMIENNOŚCI SIŁY W DYNAMICZNYM WYPODZIAKOWANIU

W artykule przedstawiono teoretyczne rozważania dotyczące możliwości zmiany siły w dynamicznym wywodzie. Wykazano, że w układach zmiennych rezystancji nie powstają nowe harmoniczne. Podano zasady wyznaczania funkcji rezystancji i sygnałów sterujących. Do sprawdzenia teoretycznych rozważań wykonano model układu o małej mocy.

1. Wstęp

Celem pracy jest przedstawienie sposobów zmiany siły w dynamicznym wywodzie. Wykazano, że w układach zmiennych rezystancji nie powstają nowe harmoniczne. Podano zasady wyznaczania funkcji rezystancji i sygnałów sterujących. Do sprawdzenia teoretycznych rozważań wykonano model układu o małej mocy.

$$Z(s) = Ag(s^2 + \omega^2) = A_1s^2 + \omega^2 \quad (1)$$

Wzrost [1] dla [2] odpowiada [3] [4] [5] [6] [7] [8] [9] [10] [11] [12] [13] [14] [15] [16] [17] [18] [19] [20] [21] [22] [23] [24] [25] [26] [27] [28] [29] [30] [31] [32] [33] [34] [35] [36] [37] [38] [39] [40] [41] [42] [43] [44] [45] [46] [47] [48] [49] [50] [51] [52] [53] [54] [55] [56] [57] [58] [59] [60] [61] [62] [63] [64] [65] [66] [67] [68] [69] [70] [71] [72] [73] [74] [75] [76] [77] [78] [79] [80] [81] [82] [83] [84] [85] [86] [87] [88] [89] [90] [91] [92] [93] [94] [95] [96] [97] [98] [99] [100] [101] [102] [103] [104] [105] [106] [107] [108] [109] [110] [111] [112] [113] [114] [115] [116] [117] [118] [119] [120] [121] [122] [123] [124] [125] [126] [127] [128] [129] [130] [131] [132] [133] [134] [135] [136] [137] [138] [139] [140] [141] [142] [143] [144] [145] [146] [147] [148] [149] [150] [151] [152] [153] [154] [155] [156] [157] [158] [159] [160] [161] [162] [163] [164] [165] [166] [167] [168] [169] [170] [171] [172] [173] [174] [175] [176] [177] [178] [179] [180] [181] [182] [183] [184] [185] [186] [187] [188] [189] [190] [191] [192] [193] [194] [195] [196] [197] [198] [199] [200] [201] [202] [203] [204] [205] [206] [207] [208] [209] [210] [211] [212] [213] [214] [215] [216] [217] [218] [219] [220] [221] [222] [223] [224] [225] [226] [227] [228] [229] [230] [231] [232] [233] [234] [235] [236] [237] [238] [239] [240] [241] [242] [243] [244] [245] [246] [247] [248] [249] [250] [251] [252] [253] [254] [255] [256] [257] [258] [259] [260] [261] [262] [263] [264] [265] [266] [267] [268] [269] [270] [271] [272] [273] [274] [275] [276] [277] [278] [279] [280] [281] [282] [283] [284] [285] [286] [287] [288] [289] [290] [291] [292] [293] [294] [295] [296] [297] [298] [299] [300] [301] [302] [303] [304] [305] [306] [307] [308] [309] [310] [311] [312] [313] [314] [315] [316] [317] [318] [319] [320] [321] [322] [323] [324] [325] [326] [327] [328] [329] [330] [331] [332] [333] [334] [335] [336] [337] [338] [339] [340] [341] [342] [343] [344] [345] [346] [347] [348] [349] [350] [351] [352] [353] [354] [355] [356] [357] [358] [359] [360] [361] [362] [363] [364] [365] [366] [367] [368] [369] [370] [371] [372] [373] [374] [375] [376] [377] [378] [379] [380] [381] [382] [383] [384] [385] [386] [387] [388] [389] [390] [391] [392] [393] [394] [395] [396] [397] [398] [399] [400] [401] [402] [403] [404] [405] [406] [407] [408] [409] [410] [411] [412] [413] [414] [415] [416] [417] [418] [419] [420] [421] [422] [423] [424] [425] [426] [427] [428] [429] [430] [431] [432] [433] [434] [435] [436] [437] [438] [439] [440] [441] [442] [443] [444] [445] [446] [447] [448] [449] [450] [451] [452] [453] [454] [455] [456] [457] [458] [459] [460] [461] [462] [463] [464] [465] [466] [467] [468] [469] [470] [471] [472] [473] [474] [475] [476] [477] [478] [479] [480] [481] [482] [483] [484] [485] [486] [487] [488] [489] [490] [491] [492] [493] [494] [495] [496] [497] [498] [499] [500] [501] [502] [503] [504] [505] [506] [507] [508] [509] [510] [511] [512] [513] [514] [515] [516] [517] [518] [519] [520] [521] [522] [523] [524] [525] [526] [527] [528] [529] [530] [531] [532] [533] [534] [535] [536] [537] [538] [539] [540] [541] [542] [543] [544] [545] [546] [547] [548] [549] [550] [551] [552] [553] [554] [555] [556] [557] [558] [559] [560] [561] [562] [563] [564] [565] [566] [567] [568] [569] [570] [571] [572] [573] [574] [575] [576] [577] [578] [579] [580] [581] [582] [583] [584] [585] [586] [587] [588] [589] [590] [591] [592] [593] [594] [595] [596] [597] [598] [599] [600] [601] [602] [603] [604] [605] [606] [607] [608] [609] [610] [611] [612] [613] [614] [615] [616] [617] [618] [619] [620] [621] [622] [623] [624] [625] [626] [627] [628] [629] [630] [631] [632] [633] [634] [635] [636] [637] [638] [639] [640] [641] [642] [643] [644] [645] [646] [647] [648] [649] [650] [651] [652] [653] [654] [655] [656] [657] [658] [659] [660] [661] [662] [663] [664] [665] [666] [667] [668] [669] [670] [671] [672] [673] [674] [675] [676] [677] [678] [679] [680] [681] [682] [683] [684] [685] [686] [687] [688] [689] [690] [691] [692] [693] [694] [695] [696] [697] [698] [699] [700] [701] [702] [703] [704] [705] [706] [707] [708] [709] [710] [711] [712] [713] [714] [715] [716] [717] [718] [719] [720] [721] [722] [723] [724] [725] [726] [727] [728] [729] [730] [731] [732] [733] [734] [735] [736] [737] [738] [739] [740] [741] [742] [743] [744] [745] [746] [747] [748] [749] [750] [751] [752] [753] [754] [755] [756] [757] [758] [759] [760] [761] [762] [763] [764] [765] [766] [767] [768] [769] [770] [771] [772] [773] [774] [775] [776] [777] [778] [779] [780] [781] [782] [783] [784] [785] [786] [787] [788] [789] [790] [791] [792] [793] [794] [795] [796] [797] [798] [799] [800] [801] [802] [803] [804] [805] [806] [807] [808] [809] [810] [811] [812] [813] [814] [815] [816] [817] [818] [819] [820] [821] [822] [823] [824] [825] [826] [827] [828] [829] [830] [831] [832] [833] [834] [835] [836] [837] [838] [839] [840] [841] [842] [843] [844] [845] [846] [847] [848] [849] [850] [851] [852] [853] [854] [855] [856] [857] [858] [859] [860] [861] [862] [863] [864] [865] [866] [867] [868] [869] [870] [871] [872] [873] [874] [875] [876] [877] [878] [879] [880] [881] [882] [883] [884] [885] [886] [887] [888] [889] [890] [891] [892] [893] [894] [895] [896] [897] [898] [899] [900] [901] [902] [903] [904] [905] [906] [907] [908] [909] [910] [911] [912] [913] [914] [915] [916] [917] [918] [919] [920] [921] [922] [923] [924] [925] [926] [927] [928] [929] [930] [931] [932] [933] [934] [935] [936] [937] [938] [939] [940] [941] [942] [943] [944] [945] [946] [947] [948] [949] [950] [951] [952] [953] [954] [955] [956] [957] [958] [959] [960] [961] [962] [963] [964] [965] [966] [967] [968] [969] [970] [971] [972] [973] [974] [975] [976] [977] [978] [979] [980] [981] [982] [983] [984] [985] [986] [987] [988] [989] [990] [991] [992] [993] [994] [995] [996] [997] [998] [999] [1000]

$$W(s, \lambda) = A \cdot F(s) = [1 - \lambda^2] [ms^2 + a] / [2ms + b] = 0 \quad (2)$$

gdzie $0 = \text{diag} [0, 1, 0, \dots, 0]$

Zygmunt GARCZARZYK

Instytut Podstawowych Problemów
Elektrotechniki i Energoelektroniki

O DŁUGOŚCI KROKU W DYSKRETNEJ METODZIE KONTYNUACJI

Streszczenie. W artykule przedstawiono teoretyczne oszacowanie maksymalnej długości kroku w dyskretnej metodzie kontynuacji związanej z algorytmem rozwiązywania układu równań węzłowych opisujących nieliniowy obwód rezystancyjny. Pokazano, że w praktyce numerycznej wielkość ta winna być korygowana. Wskazano na możliwość dalszego zwiększenia wartości uzyskanego oszacowania.

1. Wstęp

Celem rozważań jest przedstawienie oszacowania długości kroku w dyskretnej metodzie kontynuacji związanej z algorytmem rozwiązywania układu równań nieliniowych postaci

$$f(t) = Ag(A^t x + E) - AJ = 0. \quad (1)$$

Układ (1) dla $n+1$ węzłowego obwodu o m gałęziach stanowi układ n równań węzłowych z niewiadomymi potencjałami węzłowymi x_i , $i = 1, 2, \dots, n$. W równaniu tym A - oznacza zredukowaną macierz incydencji, E - wektor stałych wymuszeń napięciowych, J - wektor stałych wymuszeń prądowych, a $g(u) = [g_1(u_1), g_2(u_2), \dots, g_m(u_m)]^t$ wektor charakterystyk prądowo-napięciowych rezystorów nieliniowych (liniowych). Przy tym $u = A^t x + E$ oznacza wektor napięć na rezystorach.

Jeżeli każda gałąź rozważanego obwodu zostanie zmodyfikowana tak, że rezystor o charakterystyce $i_k = g_k(u_k)$, $k = 1, 2, \dots, m$ zostanie zastąpiony równoległym połączeniem rezystora liniowego o konduktancji $(1-\lambda)G_k$ oraz rezystora o charakterystyce $i_k = \lambda g_k(u_k)$, to można pokazać [3], że dla $\lambda \in \langle 0, 1 \rangle$ równanie węzłowe tego obwodu ma postać:

$$H(x, \lambda) = \lambda f(x) + (1-\lambda) \{ AGA^t x - A(J-GE) \} = 0, \quad (2)$$

gdzie $G = \text{diag} [G_1, G_2, \dots, G_m]$.

Można zauważyć, że równanie (2) ma następujące własności:

- a) Rozwiązanie układu dla wartości początkowej $\hat{\lambda}_0 = 0$ jest łatwe do uzyskania, gdyż równanie

$$H(x, 0) = AGA^t x - A(J-GE) = 0 \quad (3)$$

stanowi układ równań liniowych.

- b) Dla wartości parametru $\hat{\lambda}_N = 1$ redukuje się do równania (1), tzn.

$$H(x, 1) = f(x) = 0. \quad (4)$$

Stosując metodę kontynuacji [2] przyjmuje się, że H jest homotopią [2], tzn., że istnieje ciągle odwzorowanie $x(\lambda)$ takie, że

$$H(x(\lambda), \lambda) = 0 \quad \forall \lambda \in \langle 0, 1 \rangle. \quad (5)$$

Oznacza to, że rozwiązania $x(\lambda)$ równań (2) wyznaczone dla rosnącego ciągu wartości $\hat{\lambda}_0 = 0, \hat{\lambda}_1, \hat{\lambda}_2, \dots, \hat{\lambda}_N = 1$ opisują pewną krzywą łączącą punkt $x(0)$ z zerem $x^* = x(1)$ funkcji $f(x)$.

Do rozwiązywania kolejnych równań

$$H(x, \hat{\lambda}_j) = 0 \quad j = 0, 1, 2, \dots, N \quad (6)$$

wybrano metodę Newtona z przybliżeniem początkowym

$$x(\hat{\lambda}_j)^{(0)} = x(\hat{\lambda}_{j-1}), \quad (7)$$

wtedy

$$x(\hat{\lambda}_j)^{(j)} = x(\hat{\lambda}_j)^{(j-1)} - H_x(x(\hat{\lambda}_j)^{(j-1)}, \hat{\lambda}_j)^{-1} H(x(\hat{\lambda}_j)^{(j-1)}, \hat{\lambda}_j) \quad (8)$$

$$j = 0, 1, 2, \dots$$

Równania (2) i (8) pozwoliły uzyskać zmodyfikowaną postać równań węzłowych tzw. dyskretnego obwodu równoważnego [1, 3]:

$$A[AG^{(j)} + (1-\lambda)G]A^t x^{(j+1)} = A[J^{(j)} - \lambda G^{(j)}E + (1-\lambda)(J-GE)] \quad (9)$$

$$\forall \lambda \in \langle 0, 1 \rangle$$

gdzie:

$G^{(j)}$ - diagonalna macierz dynamicznych konduktancji rezystorów nieliniowych dla napięć w j -tej iteracji

$$J^{(j)} = \lambda [J - J_Q^{(j)}] + G^{(j)} U_Q^{(j)}$$

$$U_Q^{(j)} = A^t x^{(j)} + E$$

$$J_Q^{(j)} = g(U_Q^{(j)}).$$

Rozwiązanie ciągu równań (9) będzie zbieżne do rozwiązania równania (1), jeżeli długość kroku

$$\bar{\lambda}_1 = \lambda_{1+1} - \lambda_1, \quad i = 1, 2, \dots, N-1 \quad (10)$$

będzie odpowiednio dobrana. Winna ona być tak duża, by zapewniła minimalny czas obliczeń konieczny do uzyskania x^* , a jednocześnie "dostatecznie mała" by zapewnić zbieżność metody iteracyjnej.

2. Oszacowanie długości kroku

Niech $x(\lambda)$ oznaczają krzywą spełniającą zależność (5) nazywaną dalej ścieżką homotopii, natomiast $\hat{x}(\lambda)$ niech oznacza krzywą utworzoną przez kolejne przybliżenia początkowe $x(\lambda_1)^{(0)}$ nazywaną dalej ścieżką predykcji. Błąd predykcji $\|\hat{x}(\lambda) - x(\lambda)\|$ jest ściśle związany z długością kroku homotopii. Ponieważ w omawianym algorytmie

$$\hat{x}(\lambda) = x(0) = x^{(0)} \quad \forall \lambda \in \langle 0, \bar{\lambda} \rangle,$$

więc, jeżeli x jest jedyną ścieżką w pewnej dziedzinie D , to

$$\|\hat{x}(\lambda) - x(\lambda)\| = \|x(\lambda) - x(0)\| = \quad (11)$$

$$= \left\| \int_0^\lambda \dot{x}(t) dt \right\| \leq \lambda \cdot \sup_{t \in \langle 0, \bar{\lambda} \rangle} \|\dot{x}(t)\| = \lambda \cdot \gamma.$$

Na podstawie twierdzenia o wartości średniej [2] otrzymuje się:

$$\begin{aligned} H(\hat{x}(\lambda), \lambda) &= H(x(\lambda), \lambda) + \int_0^1 H_x(\alpha(\lambda, t), \lambda) \beta(\lambda, t) dt = \\ &= \int_0^1 H_x(\alpha(\lambda, t), \lambda) \beta(\lambda, t) dt, \end{aligned} \quad (12)$$

gdzie:

$$\alpha(\lambda, t) = x(\lambda) + t(\hat{x}(\lambda) - x(\lambda))$$

$$\beta(\lambda, t) = \hat{x}(\lambda) - x(\lambda)$$

$H_x(x, \lambda)$ oznacza macierz Jacobiego.

Wynika stąd następujące oszacowanie członu korekcji we wzorze (8)

$$\begin{aligned} & \| H_x(\hat{x}(\lambda), \lambda)^{-1} H(\hat{x}(\lambda), \lambda) \| \\ &= \left\| \int_0^1 [H_x(\hat{x}(\lambda), \lambda)^{-1} H_x(\alpha(\lambda, t), \lambda) \beta(\lambda, t)] dt \right\| \\ &= \left\| \int_0^1 [H_x(\hat{x}(\lambda), \lambda)^{-1} (H_x(\alpha(\lambda, t), \lambda) - H_x(\hat{x}(\lambda), \lambda) + I)] (\hat{x}(\lambda) - x(\lambda)) dt \right\| \\ &\leq \| \hat{x}(\lambda) - x(\lambda) \| \cdot \left\| \int_0^1 [H_x(\hat{x}(\lambda), \lambda)^{-1} (H_x(\alpha(\lambda, t), \lambda) - H_x(\hat{x}(\lambda), \lambda) + I)] dt \right\|. \end{aligned}$$

Jeżeli przyjąć, że $\forall y, z \in D$, $\lambda \in \langle 0, 1 \rangle$ zachodzi

$$\| H_x(\hat{x}(\lambda), \lambda)^{-1} (H_x(y, t) - H_x(z, t)) \| \leq \omega \| y - z \|, \quad (13)$$

to

$$\begin{aligned} & \| H_x(\hat{x}(\lambda), \lambda)^{-1} H(\hat{x}(\lambda), \lambda) \| \leq \| \hat{x}(\lambda) - x(\lambda) \| \int_0^1 [1 + \omega \| \alpha(\lambda, t) - \hat{x}(\lambda) \|] dt \\ & = \| \hat{x}(\lambda) - x(\lambda) \| \int_0^1 [1 + \omega(1-t) \| \hat{x}(\lambda) - x(\lambda) \|] dt \\ & = \| \hat{x}(\lambda) - x(\lambda) \| \left[1 + \frac{1}{2} \omega \| \hat{x}(\lambda) - x(\lambda) \| \right]. \end{aligned}$$

Uwzględniając oszacowanie (11) błędu predykcji otrzymuje się

$$\| H_x(\hat{x}(\lambda), \lambda)^{-1} H(\hat{x}(\lambda), \lambda) \| \leq \eta \lambda \left(1 + \frac{1}{2} \omega \eta \lambda \right). \quad (14)$$

Twierdzenie Newtona-Kantorowicza [2] zapewni zbieżność metody Newtona, jeżeli

$$\omega \| H_x(\hat{x}(\lambda), \lambda)^{-1} H(\hat{x}(\lambda), \lambda) \| \leq \frac{1}{2}. \quad (15)$$

Uwzględniając wzory (14) i (15) otrzymamy:

$$\omega \eta \lambda \left(1 + \frac{1}{2} \omega \eta \lambda \right) \leq \frac{1}{2}.$$

A stąd wynika, że metoda będzie zbieżna, jeśli $\bar{\lambda} \in \langle 0, \lambda_{\max} \rangle$, gdzie

$$\lambda_{\max} = \frac{\sqrt{2}-1}{\omega \eta}. \quad (16)$$

Uzyskany wynik może stanowić podstawę doboru kroku homotopii, jeżeli globalne wielkości ω i η zostaną zastąpione przez ich lokalne estymatory $\bar{\omega}_1$, $\bar{\eta}_1$ szacowane w czasie obliczeń dla $\lambda = \lambda_1$.

Wtedy

$$[\bar{\lambda}_{\max}]_1 = \frac{\sqrt{2}-1}{\bar{\omega}_1 \bar{\eta}_1}. \quad (17)$$

Ze względu na globalny charakter ω i η winny być spełnione nierówności:

$$\bar{\omega}_1 < \omega \quad , \quad \bar{\eta}_1 < \eta \quad . \quad (18)$$

Wynika stąd, że

$$[\bar{\lambda}_{\max}]_1 \geq \lambda_{\max} = \frac{\sqrt{2} - 1}{\omega \eta}, \quad (19)$$

to znaczy, że dobierany krok może okazać się większy od oszacowanego teoretycznie. Zatem metoda doboru kroku w praktyce winna zawierać etap przewidywania i ewentualnej korekcji (redukcji) jego wielkości.

Wartość $\bar{\lambda}_{\max}$, a tym samym kroku homotopii, może zostać zwiększona, jeśli przybliżenia początkowe wybiera się według wzoru

$$\hat{x}(\lambda) = x^{(0)} + \lambda \dot{x}(0) = x^{(0)} - \lambda H_x(x^{(0)}, 0) H_\lambda(x^{(0)}, 0). \quad (20)$$

Błąd predykcji można wtedy oszacować, przy założeniu że

$$\|\dot{x}(\lambda) - x(0)\| \leq L \cdot \lambda \quad \forall \lambda \in \langle 0, \bar{\lambda} \rangle,$$

następująco:

$$\begin{aligned} \|\hat{x}(\lambda) - x(\lambda)\| &= \|x(0) + \lambda \dot{x}(0) - x(\lambda)\| = \left\| \int_0^\lambda \dot{x}(t) dt - \lambda \dot{x}(0) \right\| = \\ &= \left\| \int_0^\lambda (\dot{x}(t) - \dot{x}(0)) dt \right\| \leq \int_0^\lambda \|\dot{x}(t) - \dot{x}(0)\| dt \leq L \int_0^\lambda t dt = \end{aligned} \quad (21)$$

$$= \frac{1}{2} \lambda^2 = \eta_2 \lambda^2.$$

Uwzględnienie tego oszacowania w zależnościach (14) i (15) prowadzi do rezultatu

$$\lambda_{\max} = \left(\frac{\sqrt{2} - 1}{\omega \eta_2} \right)^{\frac{1}{2}}. \quad (22)$$

Jeżeli przyjąć, że $\eta_1 = \eta_2$, to widać, że λ_{\max} ulega zwiększeniu.

LITERATURA

- [1] Chua L.O., Lin P.M.: Komputerowa analiza układów elektronicznych. WNT, Warszawa 1981.
- [2] Ortega J.M., Rheinboldt W.C.: Iterative solution of nonlinear equations in several variables, Academic Press, New York 1970.
- [3] Garczarczyk Z.: Metoda kontynuacji a dyskretne obwody równoważne w analizie nieliniowych obwodów rezystancyjnych. Zeszyty Naukowe Politechniki Śląskiej, Elektryka z. 98, 1986.

Recenzent:

Doc. dr hab. inż. Maciej Siwczyński

Wpłynęło do Redakcji 15 kwietnia 1986 r.

О ДЛИНЕ ШАГА В ДИСКРЕТНОМ МЕТОДЕ ПРОДОЛЖЕНИЯ РЕШЕНИЯ ПО ПАРАМЕТРУ

Резюме

В статье представлена параметрическая оценка максимальной длины шага в дискретном методе продолжения решения по параметру, связанном с алгоритмом решения системы узловых уравнений, описывающих нелинейную резистивную цепь. Показано, что в расчётной практике это увеличение нужно корректировать. Указано на возможность увеличения длины шага.

ABOUT STEPSIZE IN THE DISCRETE CONTINUATION METHOD

Summary

In the paper a stepsize estimate for discrete continuation method related to the algorithm of the solution of node equations for nonlinear resistive networks is presented on a theoretical basis. It is shown that in numerical practice a stepsize quantity should be corrected. A further possibility to increase the estimate is shown.

Andrzej DRYGAJŁO
Instytut Elektroniki
Politechniki Śląskiej

SPECJALNE UKŁADY ORTOGONALNE DO FILTRACJI SYGNAŁÓW DYSKRETYNYCH

Streszczenie: W pracy przedstawiono metodę generowania ortogonalnych macierzy transformujących i sposób bezpośredniego wykorzystania ich do budowy układów dyskretnych służących do pasmowo-przepustowej i pasmowo-zaporowej filtracji sygnałów. Podana opis czasowy i widmowy tych układów.

1. Wprowadzenie

W przetwarzaniu widmowym sygnałów dyskretnych najczęściej wykorzystywanym ortogonalnym układem ciągów bazowych, także ze względu na istnienie efektywnych algorytmów szybkiej transformacji Fouriera (FFT), jest układ zespolonych ciągów wykładniczych [1].

Obecny rozwój technologii elektronicznych układów cyfrowych sprawia, że coraz częściej można zaobserwować dążenie do zastosowania innych układów ortogonalnych, przede wszystkim rzeczywistych, dla których można zbudować algorytmy szybkich transformacji [2]. W ostatnich latach można zauważyć również tendencję do eliminowania z algorytmów przetwarzania sygnałów dyskretnych operacji mnożenia [3] i projektowanie filtrów w przestrzeniach wartości całkowitych [4].

Przeprowadzone w niniejszej pracy rozważania stanowią próbę uogólnienia wyników badań z zakresu generowania układów ortogonalnych ciągów, przyjmujących jedynie wartości 1, -1 i 0 w przedziale określoności, jako ciągów bazowych w widmowym przetwarzaniu sygnałów [5]. Uogólnienie obejmuje układy ortogonalne nie zawierające ciągu stałego. Brak ciągu stałego sugeruje zastosowanie tego typu układów ortogonalnych do budowy dyskretnych diadycznych układów liniowych [6] służących do pasmowo-przepustowej i pasmowo-zaporowej filtracji sekwencyjnościowej sygnałów [7].

2. Specjalne układy ortogonalne ciągów trójwartościowych

Dogodne przedstawienie układów ortogonalnych dla bezpośredniego wykorzystania w przetwarzaniu sygnałów dyskretnych daje ujęcie macierzowe [1]. Zbiór N pierwszych ciągów podaje macierz ortogonalna o wymiarach $N \times N$, w której m -ty wiersz zawiera wyrazy n -tego ciągu dla $n = 0, 1, 2, \dots, N-1$, gdzie $N = 2^p$ ($p = 0, 1, 2, \dots$). Tak zbudowana macierz stanowi macierz transformującą w zapisie dyskretnej transformacji względem danego układu ortogonalnego.

Elementy ortogonalne macierzy transformujących zawierających ciągi trójwartościowe mogą być zdefiniowane przy wykorzystaniu binarnego zapisu wskaźnika wierszy m i wskaźnika kolumn n . Szczególne macierze ortogonalne, dla których istnieje zwięzły zapis definiujący elementy macierzy, to macierz Hadamarda H i macierz jednostkowa I . Macierz Hadamarda zawiera ortogonalne ciągi Walsha w uporządkowaniu naturalnym, natomiast macierz jednostkowa będąca macierzą transformującą tożsamościowo stanowi układ ortogonalny ciągów impulsowych.

Elementy macierzy Hadamarda H i macierzy jednostkowej I o wymiarach $N \times N$ definiują wzory:

$$h(m, n) = \prod_{i=0}^{p-1} (-1)^{m_i n_i}, \quad (1)$$

$$j(m, n) = \prod_{i=0}^{p-1} \delta_{m_i n_i}, \quad (2)$$

gdzie $h(m, n)$, $j(m, n)$ - elementy odpowiednio macierzy H i I w m -tym wierszu i n -tej kolumnie, m_i, n_i - współczynniki binarnego rozwinięcia liczb m i n , $\delta_{m_i n_i}$ - symbol Kroneckera.

Dla $N=8$ macierze H i I mają postać:

$$\begin{array}{cccccccc}
 0 & 0 & 0 & 0 & 1 & 1 & 1 & 1 & n_2 & & 0 & 0 & 0 & 0 & 1 & 1 & 1 & 1 & n_2 \\
 0 & 0 & 1 & 1 & 0 & 0 & 1 & 1 & n_1 & & 0 & 0 & 1 & 1 & 0 & 0 & 1 & 1 & n_1 \\
 0 & 1 & 0 & 1 & 0 & 1 & 0 & 1 & n_0 & & 0 & 1 & 0 & 1 & 0 & 1 & 0 & 1 & n_0 \\
 \\
 \left[\begin{array}{cccccccc}
 1 & 1 & 1 & 1 & 1 & 1 & 1 & 1 \\
 -1 & -1 & -1 & -1 & 1 & 1 & 1 & 1 \\
 1 & -1 & -1 & 1 & 1 & -1 & -1 & 1 \\
 -1 & -1 & 1 & 1 & -1 & -1 & 1 & 1 \\
 1 & 1 & 1 & -1 & -1 & 1 & 1 & -1 \\
 -1 & 1 & -1 & -1 & 1 & -1 & 1 & 1 \\
 1 & 1 & -1 & -1 & -1 & 1 & 1 & 1 \\
 -1 & -1 & -1 & 1 & 1 & -1 & 1 & -1
 \end{array} \right] & \begin{array}{l} 0 & 0 & 0 \\ 0 & 0 & 1 \\ 0 & 1 & 0 \\ 0 & 1 & 1 \\ 1 & 0 & 0 \\ 1 & 0 & 1 \\ 1 & 1 & 0 \\ 1 & 1 & 1 \end{array} & = & \begin{array}{l} \left[\begin{array}{cccccccc}
 1 & 0 & 0 & 0 & 0 & 0 & 0 & 0 \\
 0 & 1 & 0 & 0 & 0 & 0 & 0 & 0 \\
 0 & 0 & 1 & 0 & 0 & 0 & 0 & 0 \\
 0 & 0 & 0 & 1 & 0 & 0 & 0 & 0 \\
 0 & 0 & 0 & 0 & 1 & 0 & 0 & 0 \\
 0 & 0 & 0 & 0 & 0 & 1 & 0 & 0 \\
 0 & 0 & 0 & 0 & 0 & 0 & 1 & 0 \\
 0 & 0 & 0 & 0 & 0 & 0 & 0 & 1
 \end{array} \right] & \begin{array}{l} 0 & 0 & 0 \\ 0 & 0 & 1 \\ 0 & 1 & 0 \\ 0 & 1 & 1 \\ 1 & 0 & 0 \\ 1 & 0 & 1 \\ 1 & 1 & 0 \\ 1 & 1 & 1 \end{array}
 \end{array}$$

 $m_2 m_1 m_0$
 $m_2 m_1 m_0$

Dokonyując faktoryzacji macierzy \underline{H} o wymiarach $N \times N$, $N = 2^p$ otrzymuje się iloczyn p macierzy rzadkich, z których każda jest macierzą ortogonalną, o elementach, które mogą być definiowane wykorzystując zapisy (1) i (2). Dalsze rozważania będą ilustrowane przykładami macierzy o wymiarach 8×8 . W wyniku faktoryzacji macierzy \underline{H} otrzymuje się:

$$\underline{H} = \begin{bmatrix} 1 & 0 & 0 & 0 & 1 & 0 & 0 & 0 \\ 0 & 1 & 0 & 0 & 0 & 1 & 0 & 0 \\ 0 & 0 & 1 & 0 & 0 & 0 & 1 & 0 \\ 0 & 0 & 0 & 1 & 0 & 0 & 0 & 1 \\ 1 & 0 & 0 & 0 & -1 & 0 & 0 & 0 \\ 0 & 1 & 0 & 0 & 0 & -1 & 0 & 0 \\ 0 & 0 & 1 & 0 & 0 & 0 & -1 & 0 \\ 0 & 0 & 0 & 1 & 0 & 0 & 0 & -1 \end{bmatrix} \cdot \begin{bmatrix} 1 & 0 & 1 & 0 & 0 & 0 & 0 & 0 \\ 0 & 1 & 0 & 1 & 0 & 0 & 0 & 0 \\ 1 & 0 & -1 & 0 & 0 & 0 & 0 & 0 \\ 0 & 1 & 0 & -1 & 0 & 0 & 0 & 0 \\ 0 & 0 & 0 & 0 & 1 & 0 & 1 & 0 \\ 0 & 0 & 0 & 0 & 0 & 1 & 0 & 1 \\ 0 & 0 & 0 & 0 & 1 & 0 & -1 & 0 \\ 0 & 0 & 0 & 0 & 0 & 1 & 0 & -1 \end{bmatrix} \cdot \begin{bmatrix} 1 & 1 & 0 & 0 & 0 & 0 & 0 & 0 \\ 1 & -1 & 0 & 0 & 0 & 0 & 0 & 0 \\ 0 & 0 & 1 & 1 & 0 & 0 & 0 & 0 \\ 0 & 0 & 1 & -1 & 0 & 0 & 0 & 0 \\ 0 & 0 & 0 & 0 & 1 & 1 & 0 & 0 \\ 0 & 0 & 0 & 0 & 1 & -1 & 0 & 0 \\ 0 & 0 & 0 & 0 & 0 & 0 & 1 & 1 \\ 0 & 0 & 0 & 0 & 0 & 0 & 1 & -1 \end{bmatrix}$$

$$\underline{H} = \underline{H}_3 \cdot \underline{H}_2 \cdot \underline{H}_1.$$

Elementy macierzy \underline{H}_1 , \underline{H}_2 , \underline{H}_3 mogą być definiowane następująco:

$$h_1(m,n) = \prod_{i=1,2} \delta_{m_i n_i} \cdot (-1)^{m_0 n_0}$$

$$h_2(m,n) = \prod_{i=0,2} \delta_{m_i n_i} \cdot (-1)^{m_1 n_1}$$

$$h_3(m,n) = \prod_{i=0,1} \delta_{m_i n_i} \cdot (-1)^{m_2 n_2}$$

Z kolei każda z macierzy będąca iloczynem macierzy powyższych $\underline{H}_4 = \underline{H}_2 \underline{H}_1$, $\underline{H}_5 = \underline{H}_1 \underline{H}_3$, $\underline{H}_6 = \underline{H}_2 \underline{H}_3$ jest również macierzą ortogonalną:

$$\underline{H}_4 = \begin{bmatrix} 1 & 1 & 1 & 1 & 0 & 0 & 0 & 0 \\ 1 & -1 & 1 & -1 & 0 & 0 & 0 & 0 \\ 1 & 1 & -1 & -1 & 0 & 0 & 0 & 0 \\ 1 & -1 & -1 & 1 & 0 & 0 & 0 & 0 \\ 0 & 0 & 0 & 0 & 1 & 1 & 1 & 1 \\ 0 & 0 & 0 & 0 & 1 & -1 & 1 & -1 \\ 0 & 0 & 0 & 0 & 1 & 1 & -1 & -1 \\ 0 & 0 & 0 & 0 & 1 & -1 & -1 & 1 \end{bmatrix} \quad \underline{H}_5 = \begin{bmatrix} 1 & 1 & 0 & 0 & 1 & 1 & 0 & 0 \\ 1 & -1 & 0 & 0 & 1 & -1 & 0 & 0 \\ 0 & 0 & 1 & 1 & 0 & 0 & 1 & 1 \\ 0 & 0 & 1 & -1 & 0 & 0 & 1 & -1 \\ 1 & 1 & 0 & 0 & -1 & -1 & 0 & 0 \\ 1 & -1 & 0 & 0 & -1 & 1 & 0 & 0 \\ 0 & 0 & 1 & 1 & 0 & 0 & -1 & -1 \\ 0 & 0 & 1 & -1 & 0 & 0 & -1 & 1 \end{bmatrix} \quad \underline{H}_6 = \begin{bmatrix} 1 & 0 & 1 & 0 & 1 & 0 & 1 & 0 \\ 0 & 1 & 0 & 1 & 0 & 1 & 0 & 1 \\ 1 & 0 & -1 & 0 & 1 & 0 & -1 & 0 \\ 0 & 1 & 0 & -1 & 0 & 1 & 0 & -1 \\ 1 & 0 & 1 & 0 & -1 & 0 & -1 & 0 \\ 0 & 1 & 0 & 1 & 0 & -1 & 0 & -1 \\ 1 & 0 & -1 & 0 & -1 & 0 & 1 & 0 \\ 0 & 1 & 0 & -1 & 0 & -1 & 0 & 1 \end{bmatrix}$$

Elementy tych macierzy definiują wzory:

$$h_2(m, n) = \delta_{m_2 n_2} \prod_{i=0,1} (-1)^{m_i n_i}$$

$$h_3(m, n) = \delta_{m_1 n_1} \prod_{i=0,2} (-1)^{m_i n_i}$$

$$h_6(m, n) = \delta_{m_0 n_0} \prod_{i=1,2} (-1)^{m_i n_i}$$

Ciągi trójwartościowe otrzymane w macierzach typu H oraz H_1, H_2, H_6 stanowią podstawę budowy specjalnych układów ortogonalnych. Dozwolone są takie kombinacje tych ciągów, dla których utworzoną z nich macierz ortogonalną N -wymiarową można rozłożyć na iloczyn p macierzy rzadkich ortogonalnych N -wymiarowych. Przykładowe dwie macierze dla $N=8$ utworzone w powyższy sposób mają postać:

$$D1 = \begin{bmatrix} 1 & 1 & 1 & 1 & 0 & 0 & 0 & 0 \\ 1 & -1 & 0 & 0 & 0 & 0 & 0 & 0 \\ 1 & 1 & -1 & -1 & 1 & 1 & -1 & -1 \\ 0 & 0 & 1 & -1 & 0 & 0 & 0 & 0 \\ 0 & 0 & 0 & 0 & 1 & 1 & 1 & 1 \\ 0 & 0 & 0 & 0 & 1 & -1 & 0 & 0 \\ 1 & 1 & -1 & -1 & -1 & -1 & 1 & 1 \\ 0 & 0 & 0 & 0 & 0 & 0 & 1 & -1 \end{bmatrix} = \begin{bmatrix} 1 & 0 & 0 & 0 & 0 & 0 & 0 & 0 \\ 0 & 1 & 0 & 0 & 0 & 0 & 0 & 0 \\ 0 & 0 & 1 & 0 & 0 & 0 & 1 & 0 \\ 0 & 0 & 0 & 1 & 0 & 0 & 0 & 0 \\ 0 & 0 & 0 & 0 & 1 & 0 & 0 & 0 \\ 0 & 0 & 0 & 0 & 1 & 0 & 0 & 0 \\ 0 & 0 & 1 & 0 & 0 & 0 & -1 & 0 \\ 0 & 0 & 0 & 0 & 0 & 0 & 0 & 1 \end{bmatrix} \cdot \begin{bmatrix} 1 & 0 & 1 & 0 & 0 & 0 & 0 & 0 \\ 0 & 1 & 0 & 0 & 0 & 0 & 0 & 0 \\ 1 & 0 & -1 & 0 & 0 & 0 & 0 & 0 \\ 0 & 0 & 0 & 1 & 0 & 0 & 0 & 0 \\ 0 & 0 & 0 & 0 & 1 & 0 & 1 & 0 \\ 0 & 0 & 0 & 0 & 1 & 0 & 1 & 0 \\ 0 & 0 & 0 & 0 & 1 & 0 & -1 & 0 \\ 0 & 0 & 0 & 0 & 1 & 0 & -1 & 0 \end{bmatrix} \cdot \begin{bmatrix} 1 & 1 & 0 & 0 & 0 & 0 & 0 & 0 \\ 1 & -1 & 0 & 0 & 0 & 0 & 0 & 0 \\ 0 & 0 & 1 & 1 & 0 & 0 & 0 & 0 \\ 0 & 0 & 1 & -1 & 0 & 0 & 0 & 0 \\ 0 & 0 & 0 & 0 & 1 & 1 & 0 & 0 \\ 0 & 0 & 0 & 0 & 1 & -1 & 0 & 0 \\ 0 & 0 & 0 & 0 & 0 & 0 & 1 & 1 \\ 0 & 0 & 0 & 0 & 0 & 0 & 1 & -1 \end{bmatrix}$$

$$D2 = \begin{bmatrix} 1 & 0 & 1 & 0 & 1 & 0 & 1 & 0 \\ 0 & 1 & 0 & 1 & 0 & 1 & 0 & 1 \\ 1 & 0 & -1 & 0 & 0 & 0 & 0 & 0 \\ 0 & 1 & 0 & -1 & 0 & 0 & 0 & 0 \\ 1 & 1 & 1 & 1 & -1 & -1 & -1 & -1 \\ 1 & -1 & 1 & -1 & 1 & -1 & 1 & -1 \\ 0 & 0 & 0 & 0 & 1 & 0 & -1 & 0 \\ 0 & 0 & 0 & 0 & 0 & 1 & 0 & -1 \end{bmatrix} = \begin{bmatrix} 1 & 0 & 0 & 0 & 0 & 0 & 0 & 0 \\ 0 & 1 & 0 & 0 & 0 & 0 & 0 & 0 \\ 0 & 0 & 1 & 0 & 0 & 0 & 0 & 0 \\ 0 & 0 & 0 & 1 & 0 & 0 & 0 & 0 \\ 0 & 0 & 0 & 0 & 1 & 1 & 0 & 0 \\ 0 & 0 & 0 & 0 & 1 & -1 & 0 & 0 \\ 0 & 0 & 0 & 0 & 0 & 0 & 1 & 0 \\ 0 & 0 & 0 & 0 & 0 & 0 & 0 & 1 \end{bmatrix} \cdot \begin{bmatrix} 1 & 0 & 0 & 0 & 1 & 0 & 0 & 0 \\ 0 & 1 & 0 & 0 & 0 & 1 & 0 & 0 \\ 0 & 0 & 1 & 0 & 0 & 0 & 0 & 0 \\ 0 & 0 & 0 & 1 & 0 & 0 & 0 & 0 \\ 1 & 0 & 0 & 0 & -1 & 0 & 0 & 0 \\ 0 & 1 & 0 & 0 & 0 & -1 & 0 & 0 \\ 0 & 0 & 0 & 0 & 0 & 0 & 1 & 0 \\ 0 & 0 & 0 & 0 & 0 & 0 & 1 & 0 \end{bmatrix} \cdot \begin{bmatrix} 1 & 0 & 1 & 0 & 0 & 0 & 0 & 0 \\ 0 & 1 & 0 & 1 & 0 & 0 & 0 & 0 \\ 1 & 0 & -1 & 0 & 0 & 0 & 0 & 0 \\ 0 & 1 & 0 & -1 & 0 & 0 & 0 & 0 \\ 0 & 0 & 0 & 0 & 1 & 0 & 1 & 0 \\ 0 & 0 & 0 & 0 & 1 & 0 & 1 & 0 \\ 0 & 0 & 0 & 0 & 1 & 0 & -1 & 0 \\ 0 & 0 & 0 & 0 & 1 & 0 & -1 & 0 \end{bmatrix}$$

W powyższy sposób można otrzymać układy ortogonalne nie zawierające ciągu stałego złożonego z jedności, jak to miało miejsce dla układów ortogonalnych klasycznych. Zatem przedstawione w niniejszej pracy metoda rozszerza klasę układów ortogonalnych złożonych z ciągów trójwartościowych, przyjmujących wartości 1, -1 i 0 w przedziale określoności [5].

3. Zastosowanie specjalnych układów ortogonalnych w algorytmach filtracji sygnałów dyskretnych

Wykorzystując macierzową postać utworzonych w niniejszej pracy układów ortogonalnych jako macierzy transformujących, można sformułować definicje dyskretnych transformacji prostej i odwrotnej względem tych układów w postaci równań macierzowych:

$$\underline{X}_D = \frac{1}{N} \underline{D} \underline{x} , \quad (3)$$

$$\underline{x} = N \underline{D}^{-1} \underline{X}_D , \quad (4)$$

gdzie:

- \underline{X}_D - wektor dyskretnego widma o elementach $X_D(m)$,
- \underline{x} - wektor dyskretnego sygnału o elementach $x(n)$,
- \underline{D} - ortogonalna macierz transformująca o wymiarach $N \times N$,
- \underline{D}^{-1} - macierz odwrotna do macierzy \underline{D} .

Praktyczna przydatność transformacji (3) i (4) wynika z możliwości budowy uniwersalnego algorytmu szybkich transformacji zarówno względem wykorzystywanych dotychczas układów hybrydowych ciągów Hadamarda-Haara [8], jak i względem układów bazowych otrzymanych w niniejszej pracy.

Transformacja sygnału dyskretnego danego w punktach $n = 0, 1, 2, \dots, N-1$, gdzie $N = 2^p$, $p = 0, 1, 2, \dots$ do przestrzeni danego układu ortogonalnego \underline{D} wymaga jedynie wykonania od $2(N-1)$ do $N \log_2 N - N/2$ operacji dodawania i odejmowania liczb rzeczywistych przy wykorzystaniu algorytmu szybkich transformacji.

W pracy [7] przedstawiono zasadę budowy dyskretnych układów liniowych niezmiennych względem przesunięcia diecezycznego wykorzystującą algorytmy szybkich transformacji bazujące na układach ortogonalnych ciągów trójwartościowych. Macierze ortogonalne przedstawione w niniejszej pracy mogą być również użyte do budowy tego typu układów liniowych. Proces przetwarzania opisany jest wtedy równaniami macierzowymi:

$$\underline{y} = \frac{1}{N} \underline{D}^T \underline{D} \underline{x} , \quad (5)$$

$$\underline{y} = \frac{1}{N} \underline{D}_1^T \dots \underline{D}_p^T \underline{D}_p \dots \underline{D}_1 \underline{x} , \quad (6)$$

gdzie:

- $\underline{x}, \underline{y}$ - wektory dyskretnych sygnałów odpowiednio wejściowego i wyjściowego,
- \underline{D} - ortogonalna macierz transformująca o wymiarach $N \times N$,

\underline{D}_1 - ortogonalne macierze rzadkie,
 $\underline{D}^T, \underline{D}_1^T$ - macierze transponowane względem macierzy $\underline{D}, \underline{D}_1$.

Tak skonstruowane układy diadyczne opisują algorytm ortogonalnej sekwencyjnościowej filtracji cyfrowej w przestrzeni ciągów Walsh, dla którego elementy diagonalne macierzy filtrującej \underline{G}^W przyjmują wartości będące całkowitymi ujemnymi potęgami liczby 2 [8]. Ponadto pozwalają one na tłumienie składowej stałej, co nie było dotychczas możliwe przy wykorzystaniu jedynie hybrydowych ciągów Hadamarda-Haara. Przykładowe 8-punktowe algorytmy wykorzystujące macierze \underline{D}_1 i \underline{D}_2 realizują dwie charakterystyki widmowe filtrów sekwencyjnościowych odpowiednio o charakterze środkowo-przepustowym i środkowo-zaporowym.

$$\underline{G}_1^W = \text{diag} [1/2, 1/2, 1, 1, 1/4, 1/4, 1/4, 1/4]$$

$$\underline{G}_2^W = \text{diag} [1/2, 1, 1/4, 1/4, 1/4, 1/4, 1, 1/2].$$

Układy te mogą być opisane również w dziedzinie czasowej za pomocą odpowiedzi impulsowej układu [6]:

$$\underline{g}_1' = [1/2, 1/4, -1/8, -1/8, 0, 0, 0, 0]$$

$$\underline{g}_2' = [1/2, 0, 1/4, 0, -1/8, 0, -1/8, 0]$$

Złożoność obliczeniowa takich realizacji wynosi jedynie od $4(N-1)$ do $2N \log_2 N$ - N operacji dodawania i odejmowania liczb rzeczywistych.

4. Podsumowanie

W pracy rozszerzono metodę wyznaczania układów ortogonalnych ciągów trójwartościowych o sposób generowania układów ortogonalnych nie zawierających ciągu stałego. Pozwoliło to na znaczne rozszerzenie możliwości budowy dyskretnych diadycznych układów liniowych, wykorzystujących do realizacji bezpośrednio algorytmy szybkich transformacji. Rozwiązanie to prowadzi do realizacji układów filtrujących o charakterze pasmowo-przepustowym i pasmowo-zaporowym aproksymujących charakterystyki sekwencyjnościowe za pomocą elementów z przestrzeni całkowitych potęg liczby 2 przy jednoczesnym zmniejszeniu złożoności obliczeniowej.

Metodę przedstawioną w niniejszej pracy można zastosować do budowy cyfrowych filtrów 2-D w sposób podany w pracach [9, 10].

LITERATURA

- [1] Ahmed N., Rao K.R.: Orthogonal Transforms for Digital Signal Processing. Springer-Verlag, Berlin 1975.
- [2] Elliott D.F., Rao K.R.: Fast Transforms - Algorithms, Analyses, Applications. Academic Press, New York 1982.
- [3] Lüder E., Höfer K.: Fast Digital Filters without Multipliers. AEU, Band 36, Heft 7/8, 1982, ss. 275-278.
- [4] Lim Y.C., Parker S.R., Constantinides A.G.: Finite Wordlength FIR Filter Design Using Integer Programming Over Discrete Coefficient Space. IEEE Trans. ASSP-30, August 1982, ss. 661-664.
- [5] Drygajło A.: Zastosowanie ortogonalnych funkcji trójwartościowych do analizy widmowej sygnałów dyskretnych. VI SPETO, Gliwice-Ustroń 1983, ss. 53-62.
- [6] Drygajło A.: Dyskretne diadyczne układy liniowe. VII SPETO, Gliwice-Ustroń 1984, ss. 207-215.
- [7] Drygajło A.: Ortogonalne filtry cyfrowe. VII KK TOIUE, Kazimierz Dolny 1984, ss. 306-311.
- [8] Drygajło A.: Zastosowanie szybkich transformacji bazujących na funkcjach schodkowych do przetwarzania sygnałów cyfrowych jedno- i dwuwymiarowych. Praca doktorska, Politechnika Śląska, Gliwice 1983.
- [9] Drygajło A., Ichnatowicz J.: On the Construction of Two-Dimensional Digital Filters by Fast Hadamard-Haar Hybrid Transforms. ECCTD 83, Stuttgart 1983, ss. 450-453.
- [10] Drygajło A.: Dyadic Sequence Filters in Image Processing. Proc. of the First Image Symposium, Biarritz, 1984, tom 1, ss. 519-523.

Recenzent:

Doc. dr hab. inż. Karol Rumatowski

Wpłynęło do Redakcji 15 czerwca 1985 r.

ОПЕЦИАЛЬНЫЕ ОРТОГОНАЛЬНЫЕ СИСТЕМЫ ДЛЯ ФИЛЬТРАЦИИ
ДИСКРЕТНЫХ СИГНАЛОВ

Р е з ю м е

В работе представлен метод генерации ортогональных матриц преобразований и их прямого применения в строении дискретных систем для полосовой и полосно-заграждающей фильтрации сигналов. Системы описаны во временной и спектральной областях.

Andrzej DRYGAJŁO
Instytut Elektroniki
Politechnika Śląska

DECYMACJA SYGNAŁÓW DYSKRETYCH

Streszczenie. W pracy rozważono zagadnienia związane z konwersją częstotliwości próbkowania sygnałów dyskretnych. Zwrócono szczególną uwagę na problemy filtracji cyfrowej związane ze zmniejszeniem częstotliwości próbkowania, które wynikają z potrzeby eliminacji zjawiska stroboskopowego. Na początku omówiono teoretyczny model układów służących do decymacji, a następnie przedstawiono szereg struktur, które mogą być efektywnie użyte do budowy decymatorów. Rozważono metody projektowania antystroboskopowych cyfrowych filtrów SOI, a na końcu pracy wykazano, że istnieje możliwość budowy filtrów cyfrowych SOI o strukturze kaskadowej zwiększającej efektywność przetwarzania filtrów antystroboskopowych.

1. Wprowadzenie

W wielu zastosowaniach cyfrowego przetwarzania sygnałów zachodzi potrzeba zwiększenia częstotliwości próbkowania sygnału dyskretnego (interpolacja) lub zmniejszenia (decymacja). Oba procesy są całkowicie dyskretne i dotyczą zarówno sygnałów dolnopasmowych, jak i pasmowych. Z procesem konwersji częstotliwości próbkowania jest ściśle związany proces filtracji, mający na celu wyeliminowanie efektu stroboskopowego. W pracy rozpatrzono problemy liniowej nierekursywnej filtracji cyfrowej związane przede wszystkim z procesem decymacji. Dąży się do otrzymania struktury filtru o liniowej fazie dającej jednocześnie możliwości efektywnej zmiany częstotliwości odcięcia.

2. Konwersja częstotliwości próbkowania

Konwersja częstotliwości próbkowania jest cyfrowym procesem zmiany częstotliwości próbkowania $F = 1/T$ na częstotliwość próbkowania $F' = 1/T'$, gdzie T , T' są okresami próbkowania.

Zmniejszenie częstotliwości próbkowania zachodzi, gdy spełnione są nierówności:

$$F' < F \quad (1)$$

lub

$$T' > T. \quad (2)$$

Jeżeli stosunek

$$\frac{T'}{T} = \frac{F}{F'} = D \quad (3)$$

określony jest za pomocą współczynnika D , który jest liczbą całkowitą, to proces konwersji jest procesem decymacji [1]. Analiza procesu decymacji w dziedzinie częstotliwości pozwala na określenie zależności, jakie muszą być spełnione, aby nie wystąpił efekt stroboskopowy. Z twierdzenia o próbkowaniu wiadomo, że sygnał ciągły $x(t)$ o ograniczonym widmie, dla którego $X(f) = 0$ dla $|f| > F_M$, jest jednoznacznie określony przez swoje próbki $x(iT)$, $i = 0, \pm 1, \pm 2, \dots$, jeżeli

$$F > 2 F_M. \quad (4)$$

Częstotliwość

$$F_N = F/2 \quad (5)$$

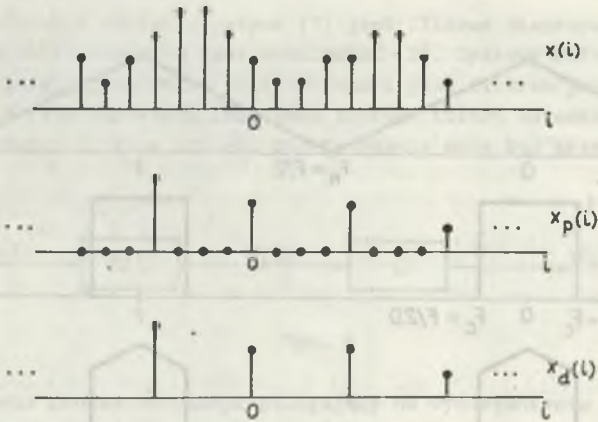
jest częstotliwością Nyquista.

W dziedzinie czasu proces decymacji ilustruje rys. 1.

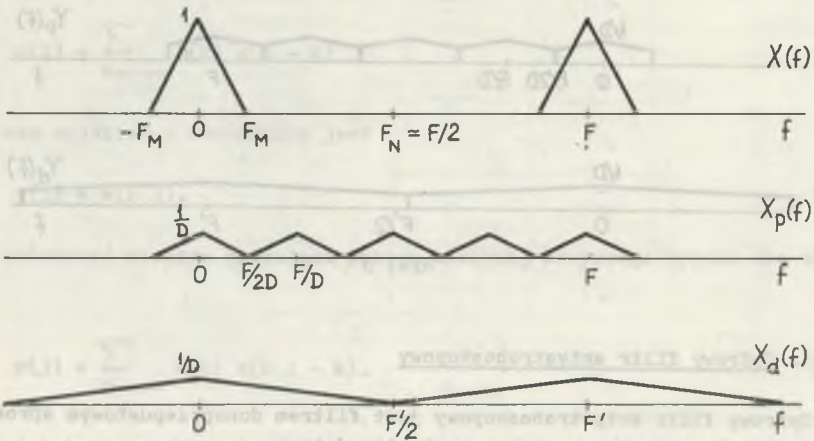
Sygnał $x(i)$ powstaje w wyniku próbkowania sygnału ciągłego z częstotliwością próbkowania F . $x_p(i)$ powstaje w wyniku próbkowanie sygnału $x(i)$ z częstotliwością F/D , a $x_d(i)$ w wyniku procesu decymacji. Sygnał $x_d(i)$ powstaje w wyniku D -krotnego zmniejszenia częstotliwości próbkowania.

W dziedzinie częstotliwości proces decymacji ilustruje rys. 2. $X(f)$, $X_p(f)$ i $X_d(f)$ są widmami częstotliwościowymi sygnałów $x(i)$, $x_p(i)$ i $x_d(i)$. Z rys. 2 można wywnioskować, że przy D -krotnym zmniejszeniu częstotliwości próbkowania efekt stroboskopowy nie wystąpi, jeżeli

$$F/D > 2 F_M. \quad (6)$$

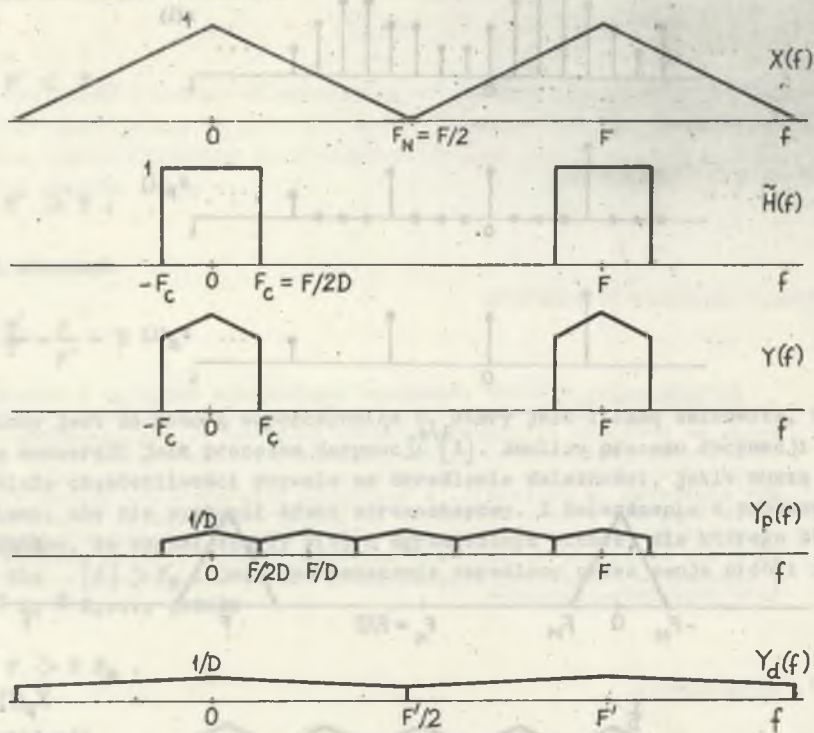


Rys. 1



Rys. 2

Przy założeniu, że częstotliwość próbkowania F jest tak dobrana, że $F = 2 F_M$, proces decymacji prowadzi do pojawienia się efektu stroboskopowego. Aby tego uniknąć, należy przed D -krotną zmianą częstotliwości próbkowania zastosować idealny filtr dolnoprzepustowy o częstotliwości odcięcia $F/2D$. Ilustruje to rys. 3.



Rys. 3

3. Cyfrowy filtr antystroboskopowy

Cyfrowy filtr antystroboskopowy jest filtrem donoprzepustowym aproksymującym idealną charakterystykę częstotliwościową

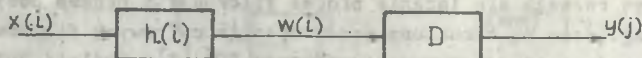
$$\tilde{H}(f) = \begin{cases} 1 & |f| \leq F/2D \\ 0 & \text{w przeciwnym razie.} \end{cases} \quad (7)$$

Odpowiedź impulsowa $\tilde{h}(i)$ odpowiadająca charakterystyce $\tilde{H}(f)$ wyraża się wzorem

$$\tilde{h}(i) = \frac{\sin(\pi i/D)}{(\pi i/D)} \quad (8)$$

dla $i = 0, \pm 1, \pm 2, \dots, \pm \infty$.

Filtr cyfrowy o charakterystyce (7) jest filtrem nieprzyczynowym, a tym samym nie spełnia warunków realizowalności [2]. Cyfrowy filtr antystroboskopowy spełniający warunki realizowalności jest filtrem przyczynowym i stabilnym. Jeżeli odpowiedź impulsowa takiego filtra oznaczona jest przez $h(i)$, to schemat blokowy procesu przetwarzania może być przedstawiony jak na rys. 4.



Rys. 4

D oznacza proces decymacji polegający na wyodrębnieniu każdej D-tej próbki z sygnału wyjściowego filtra $w(i)$.

Zakładając, że filtr antystroboskopowy jest filtrem liniowym niezmiennym względem przesunięcia, otrzymuje się zależność

$$w(i) = \sum_{k=-\infty}^{\infty} h(k) x(i - k) \quad (9)$$

Sygnałem wyjściowym decymatora jest

$$y(j) = w(Dj). \quad (10)$$

Stąd zależność czasowa opisująca proces liniowej decymacji wyraża się wzorem

$$y(j) = \sum_{k=-\infty}^{\infty} h(k) x(Dj - k). \quad (11)$$

W dziedzinie częstotliwościowej proces liniowej decymacji opisuje zależność:

$$Y(f') = \frac{1}{D} (H(f'/D) X(f'/D) + H((f' - F')/D) X((f' - F')/D) + \dots) \quad (12)$$

Cyfrowy filtr antystroboskopowy powinien w maksymalnym stopniu zapewnić spełnienie zależności

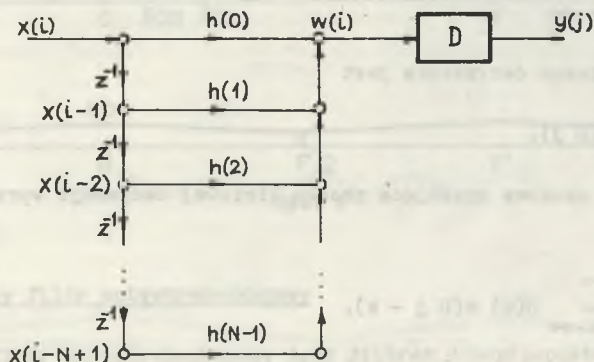
$$Y(f') \approx \frac{1}{D} X(f'/D). \quad (13)$$

Bezpośrednie zastosowanie schematu przetwarzania z rys. 4 wymaga obliczania próbek sygnału $w(i)$ z częstotliwością próbkowania F sygnału wejściowego.

wego $x(i)$, gdy sygnał wyjściowy $y(j)$ składa się z próbek powtarzających się częstotliwością F' D -krotnie mniejszą. Próbkę $y(j)$ powstają przez pozostawienie co D -tej próbki przebiegu $w(i)$. Pozostałe obliczone próbki sygnału $w(i)$ są najczęściej nie wykorzystane. Podejście takie jest uzasadnione jedynie w przypadku konieczności sygnalizacji stopnia spełnienia warunku Shannon-Kotielnikowa. Z punktu widzenia procesu decymacji podejście powyższe jest nieefektywne. W celu zwiększenia efektywności przetwarzania filtru antystrzeboskopowego rozważa się łącznie proces filtracji i proces decymacji. Według tego w tym względzie są struktury przetwarzania cyfrowych filtrów nie-rekursywnych o skończonej odpowiedzi impulsowej SOI [3]. Ogólnie opisane są one za pomocą równania różnicowego

$$w(i) = h(0) x(i) + h(1) x(i - 1) + \dots + h(N-1) x(i - N + 1). \quad (14)$$

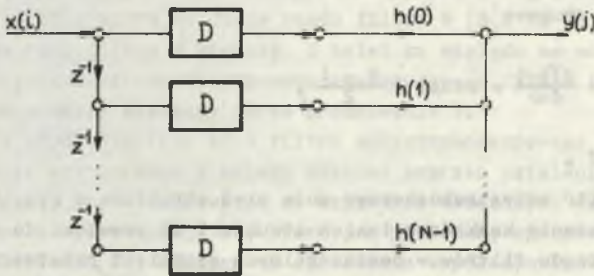
Filtry SOI są filtrami przyczynowymi i absolutnie stabilnymi dla dowolnych skończonych wartości współczynników odpowiedzi impulsowej $h(i)$. Decymator wykorzystujący filtr SOI ma strukturę opisaną grafem przepływu sygnału z rys. 5.



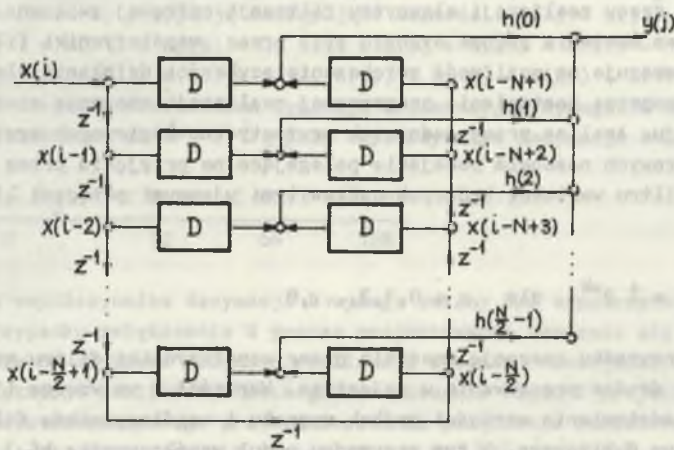
Rys. 5

Dla obliczenia jednej próbki sygnału $w(i)$ trzeba wykonać w czasie okresu T N operacji mnożenia przez współczynniki $h(0)$, $h(1)$, ..., $h(N-1)$ oraz N operacji dodawania. Wymagana szybkość obliczeń może być zmniejszona dzięki możliwej modyfikacji grafu z rys. 5 w sposób przedstawiony na rys. 6 [4]. W przypadku zastosowania struktury z rys. 6 szybkość przetwarzania jest zmniejszona D -krotnie, tzn. N operacji mnożenia i dodawania potrzebnych do obliczenia jednej próbki $y(j)$ musi być wykonanych w czasie $D \cdot T = T'$. W celu dalszego zwiększenia efektywności przetwarzania można wykorzystać strukturę filtrów SOI o liniowej fazie. Są to filtry, dla których

$$h(i) = h(N - 1 - i). \quad (15)$$



Rys. 6



Rys. 7

Strukturę przetwarzania dla decymatora z filtrem SOI o liniowej fazie przedstawia rys. 7.

Realizacja struktury z rys. 7 wymaga dwa razy mniej operacji mnożenia oraz dwa razy mniejszego obszaru pamięci dla współczynników $h(\cdot)$ niż realizacja struktury z rys. 6. Z punktu widzenia procesu decymacji korzystna jest również właściwość liniowości fazy. W tym przypadku, jeżeli charakterystyka częstotliwościowa filtra jest określona wzorem

$$H(\omega) = |H(\omega)| e^{j\varphi(\omega)}, \quad (16)$$

to opóźnienie grupowe

$$\tau(\omega) = -\frac{d\varphi(\omega)}{d\omega} = \text{const} = \frac{N-1}{2}, \quad (17)$$

gdzie $\omega = 2\pi f$.

Cyfrowy filtr antystroboskopowy może mieć strukturę z rys. 5 ÷ 7 lub stanowić połączenie kaskadowe takich struktur, co prowadzi do znacznego zmniejszenia rzędu filtrów w poszczególnych stopniach przetwarzania [5][6].

Analizując algorytmy filtrów antystroboskopowych o strukturach z rys. 5 ÷ 7, można stwierdzić, że stosując klasyczne podejście do realizacji filtru cyfrowego najszybsze algorytmy otrzymuje się przy stosowaniu arytmetyki stałoprzecinkowej. Z analizy tych algorytmów wynika również, że przeważająca część czasu realizacji algorytmu filtracji cyfrowej związana jest z wykonywaniem mnożenia próbek sygnału $x(i)$ przez współczynniki filtru $h(.)$. Fakt ten wskazuje na możliwość zwiększenia szybkości działania algorytmu filtracji poprzez zastąpienie programowej realizacji mnożenia operacją innego rodzaju. Analiza pracy jednostek arytmetyczno-logicznych systemów mikroprocesorowych nasunęła podejście polegające na przyjęciu przez współczynniki filtru wartości będących całkowitymi ujemnymi potęgami liczby 2 [7].

$$h(k) = \pm 2^{-k} \quad \text{dla} \quad k = 0, 1, 2, \dots, 8 \quad (18)$$

W tym przypadku operację mnożenia przez współczynniki filtru można realizować na drodze przesuwania w rejestrze. Wartości k we wzorze (18) wynikają z przedstawienia wartości próbek sygnału i współczynników filtru za pomocą słowa 8-bitowego. W tym przypadku moduł współczynnika $h(.)$ może przyjmować 9 różnych wartości 1, 1/2, 1/4, 1/8, 1/16, 1/32, 1/64, 1/128, 0, gdzie wartość 0 odpowiada przesunięciu o 8 pozycji w prawo.

Proces syntezy i projektowania filtrów antystroboskopowych o przedstawionych strukturach może być łatwo kontrolowany, ponieważ istnieje twierdzenie o optymalności dla filtrów SOI w sensie minimalnej wartości maksymalnego błędu w pasmach zaporowym i przepustowym [8]. W przypadku stosowania tego twierdzenia wymagania dla filtru dopłnoprzepustowego przyjmują postać przedziałów tolerancji, jakie powinien spełniać pożądaný filtr cyfrowy. Oznaczają one, że chcemy aproksymować wartość 1 w pasmie przepustowym $0 < f \leq f_1$ z błędem mniejszym niż δ_1 , a także wartość 0 w pasmie zaporowym $f_2 \leq |f| \leq 0.5$. Ponieważ w większości metod projektowych częstotliwość próbkowania nie odgrywa żadnej roli w procedurach aproksymacyjnych, sposób polegający na określeniu wymagań filtru cyfrowego w wartościach częstotliwości znormalizowanej f/F w zakresie $[0 - 0.5]$ jest najmniej kłopotliwy.

W przypadku filtru antystroboskopowego pożądané jest uzyskanie zadanych wartości δ_1 i δ_2 przy możliwie małej szerokości pasma przejściowego

$\Delta f = f_2 - f_1$. Należy przy tym zdawać sobie sprawę z tego, że dobór δ_1 , δ_2 i Δf ma istotny wpływ na dobór rzędu filtra N [8]. Im δ_1 , δ_2 i Δf mniejsze, tym rząd filtra N większy. Z kolei ze względu na możliwości czasowe danego systemu mikroprocesorowego realizującego filtr im większy rząd filtra N , tym większy wymagany okres próbkowania T .

Obliczenia współczynników $h(\cdot)$ filtra antystroboskopowego o zadanych δ_1 , δ_2 i wstępnie wyznaczonym N należy dokonać poprzez ustalenie $f_2 = F/2D$ i taką zmianę f_1 , która doprowadzi do uzyskania założonych wartości δ_1 i δ_2 . Do tego celu wykorzystuje się iteracyjną procedurę opracowaną przez Parksa i McClellana [9], służącą do określenia współczynników o nieskończonej precyzji. W celu wyznaczenia współczynników będących całkowitymi ujemnymi potęgami liczby 2 można wykorzystać zmodyfikowane programy opracowane przez Bajserta [10].

Przykładowo, dla $N = 32$, $f_2 = 0.05$ ($D = 10$), $\delta_1 = 0.15$, $\delta_2 = 0.15$, współczynniki $h(i)$ przyjmują następujące wartości: $h(1) = h(32) = -1/128$, $h(2) + h(4) = h(31) + h(29) = 0$, $h(5) = h(6) = h(28) = h(27) = -1/64$, $h(7) + h(9) = h(26) + h(24) = 1/32$, $h(10) + h(16) = h(23) + h(17) = 1/16$. Z przeprowadzonych doświadczeń wynikają orientacyjne wymagania na rząd filtra N w zależności od δ_1 i δ_2 przy współczynniku decymacji $D \leq 10$:

δ_1, δ_2	< 0.15	< 0.1	< 0.01
N	32	64	128

Zmiana współczynnika decymacji D wymaga zmiany $N/2$ współczynników filtra. W przypadku zwiększenia N proces projektowania znacznie się wydłuża, a wymagania na szybkość obliczeń realizacji w czasie rzeczywistym zwiększają się. Istnieje możliwość znacznego zredukowania rzędu N projektowanego filtra antystroboskopowego przy zastosowaniu połączenia kaskadowego podfiltrów o liniowej fazie rzędu N równego 9 lub 11 [11] [12].

W przypadku metody pierwszej [11] wykorzystuje się w połączeniu kaskadowym dodatkowo operację dodawania i mnożenia przez współczynniki będące liczbami całkowitymi. Przykładowo, w ten sposób można uzyskać transmitancję filtra $H_0(f)$ używając do tego celu połączenia trzech podfiltrów $H_1(f)$ realizującego równanie

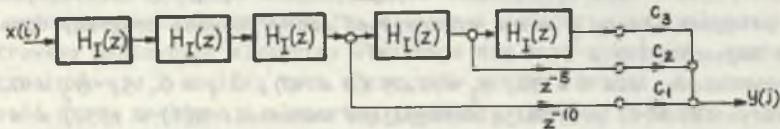
$$H_0(f) = H_1^2(f) (3 - 2 H_1(f)). \quad (19)$$

Dzięki takiej metodzie konstrukcji filtra antystroboskopowego uzyskuje się wygładzenie charakterystyki amplitudowej w pasmie przepustowym i zaporowym przy jednoczesnym zwiększeniu stromości charakterystyki w pasmie przejściowym.

Metoda druga [12] opiera się na ogólnej zależności

$$H_0(f) = \sum_{i=1}^N c_i H_T^{n+1}(f) \quad (20)$$

dla której współczynniki c_i wyznacza się przyrównując do zera pochodne do n -tej włącznie względem c_i wyrażenia (20) w jedności. Jedną z przykładowych realizacji tego typu filtru przedstawia rys. 8.



Rys. 8

Kaskadowe filtry antystroboskopowe zaprojektowane metodą pierwszą pozwalają na zmianę częstotliwości odcięcia filtru za pomocą współczynników pod-filtru, natomiast za pomocą drugiej metody można również zmieniać częstotliwość odcięcia za pomocą dodatkowych współczynników c_i przy zmianie współczynnika decymacji D w zakresie $2 \leq D \leq 6$.

LITERATURA

- [1] Crochiere R.E., Rabiner L.R.: Interpolation and Decimation of Digital Signals - A Tutorial Review. Proc. IEEE, vol. 69, no. 3, March 1981, ss. 300-331.
- [2] Wojtkiewicz A.: Elementy syntezy filtrów cyfrowych. WNT, Warszawa 1984.
- [3] Oppenheim A.V., Schaffer R.W.: Cyfrowe przetwarzanie sygnałów. WKŁ, Warszawa 1979.
- [4] Crochiere R.E., Rabiner L.R.: Optimum FIR Digital Filter Implementations for Decimation, Interpolation, and Narrow-Band Filtering. IEEE Trans. Acoust., Speech, Signal Proc., vol. ASSP-23, no. 5, October 1975, ss. 444-456.
- [5] Crochiere R.E., Rabiner L.R.: Further Considerations in the Design of Decimators and Interpolators. IEEE Trans. Acoust., Speech, Signal Proc., vol. ASSP-24, August 1976, ss. 296-311.
- [6] Crochiere R.E., Rabiner L.R.: A Program for Multistage Decimation, Interpolation, and Narrow-Band Filtering. (w) Programs for Digital Signal Processing. IEEE Press, New York 1979, ss. 8.3-1 - 8.3-14.
- [7] Lim Y.C., Parker S.R.: FIR Filter Design Over a Discrete Powers - of - Two Coefficient Space. IEEE Trans. Acoust., Speech, Signal Proc., vol. ASSP-31, no. 3, June 1983, ss. 583-591.
- [8] Herrman O., Rabiner L.R., Chan D.S.K.: Practical Design Rules for Optimum Finite Impulse Response Low-Pass Digital Filters. Bell System Technical Journal, vol. 52, no. 6, July-August 1973, ss. 769-799.

- [9] McClellan J.H., Parks T.W., Rabiner L.R.: A Computer Program for Designing Optimum FIR Linear Phase Digital Filters. IEEE Trans. Audio Electroacoust., vol. AU-21, December 1973, ss. 506-525.
- [10] Bajsert W.: Synteza mikroprocesorowych filtrów cyfrowych. Rozprawa doktorska, Politechnika Poznańska, Poznań 1982.
- [11] Kaiser J.F., Hamming R.W.: Sharpening the Response of Symmetric Nonrecursive Filter by Multiple Use of the Same Filter. IEEE Trans. Acoust., Speech, Signal Proc., vol. ASSP-25, October 1977, ss. 415-422.
- [12] Nakamura S., Yasuda S., Mitra S.K.: An Approach to the Realization of a Programmable FIR Digital Filter. IEEE Trans. Acoust., Speech, Signal Proc., vol. ASSP-33, no. 3, June 1985. ss. 741-744.

Recenzent:

Doc. dr inż. Zdzisław Trzaska

Wpłynęło do Redakcji 15 kwietnia 1986 r.

ДЕЦИМАЦИЯ ДИСКРЕТНЫХ СИГНАЛОВ

Р е з ю м е

В работе рассмотрены проблемы связанные с конверсией частоты дискретизации дискретных сигналов. Особенное внимание сосредоточено на проблемы цифровой фильтрации, связанные с уменьшением числа выборок, которые возникают из-за необходимости исключения эффекта наложения. В начале обсуждена теоретическая модель систем децимации а после этого представлены структуры, которые могут быть использованы в строении этих систем. Рассмотрены методы синтеза цифровых КИХ - фильтров исключающих искажения из-за наложения частот, и наконец представлены возможности строения каскадной формы цепи цифровых КИХ - фильтров для улучшения эффективности этих фильтров.

DECIMATION OF DISCRETE SIGNALS

S u m m a r y

In the paper problems of sampling rate conversion of discrete signals are considered. In particular, problems of digital filtering connected with sampling rate reduction, which results from the need of elimination of stroboscopic effect are presented. First a theoretic model for decimation systems is discussed and then it is shown how various structure can be derived to provide efficient implementations if these systems. Design techniques for FIR anty-aliasing digital filters are discussed, and finally the ideas behind cascade of identical FIR subfilters implementations for increased efficiency are presented.

Marian PASKO
Janusz WALCZAK

Instytut Podstawowych Problemów
Elektrotechniki i Energoelektroniki
Politechniki Śląskiej

MODELOWANIE PORTRETÓW FAZOWYCH RÓWNAŃ STANU.

W OTOCZENIU PUNKTU OSOBLIWEGO ZA POMOCĄ SPRZĘŻONYCH WZAJEMNIE
ŹRÓDEŁ STEROWANYCH I ELEMENTÓW RC

Streszczenie. W pracy pokazano pewien sposób syntezy portretów fazowych równań stanu rzędu drugiego w otoczeniu punktu osobliwego za pomocą sprzężonych wzajemnie źródeł sterowanych i elementów RC. Przeprowadzono analizę wybranej struktury spośród wielu modelujących portrety fazowe. Wybrana struktura, w zależności od rodzaju sprzężeń oraz użycia impedancji ujemnych (realizowanych z pomocą konwertera impedancji ujemnej), pozwala na modelowanie wszystkich możliwych portretów fazowych. Badania przeprowadzone na modelu doświadczalnym w pełni potwierdzają wyniki uzyskane teoretycznie.

1. Wprowadzenie

Niech będzie dany układ równań różniczkowych zwyczajnych w postaci normalnej Cauchy'ego

$$\frac{dx_k(t)}{dt} = f_k(x), \quad k \in \{1, \dots, n\}, \quad (1)$$

$$x = \{x_1, x_2, \dots, x_n\} \in DC \mathbb{R}^n,$$

$$f_k \in \text{kl. } C_1(D).$$

Punktami osobliwymi układu równań (1) nazywamy te punkty obszaru D , w których nie są spełnione założenia twierdzeń gwarantujących jednoznaczność rozwiązania tego układu równań (np. twierdzenie Picarda [1]). Problem istnienia punktów osobliwych układu równań (1) jest ściśle związany z problemem istnienia rozwiązań układu równań algebraicznych:

$$f_k(x) = 0, \quad k \in \{1, \dots, n\}, \quad (2)$$

gdyż rozwiązania tego układu równań określają zbiór punktów osobliwych dla równań (1), [1], [4]. Problem ten nie będzie w niniejszej pracy analizowany.

Badanie trajektorii układu równań (1) w otoczeniu punktu osobliwego x_0 przeprowadza się często drogą analizy trajektorii układu równań pierwszego liniowego przybliżenia przyporządkowanego układowi równań (1).

$$\frac{dx_k(t)}{dt} = \sum_{l=1}^n H_{kl}(x_0)x_l(t), \quad x_0 \in DC R^n, \quad k, l \in \{1, \dots, n\}. \quad (3)$$

gdzie:

x_0 - izolowany punkt osobliwy układu równań (1),

$[H_{kl}]$ - macierz Jacobiego funkcji f_k w punkcie osobliwym x_0 .

W teorii równań różniczkowych wykazuje się [1], [4], że układ równań (3) sprowadzić można za pomocą przekształcenia nieosobliwego

$$\xi_k = \sum_{l=1}^n a_{kl} x_l, \quad \det [a_{kl}] = 0, \quad (4)$$

do postaci kanonicznej:

$$\frac{d\xi_k(t)}{dt} = \sum_{l=1}^n J_{kl} \xi_l(t), \quad (5)$$

gdzie:

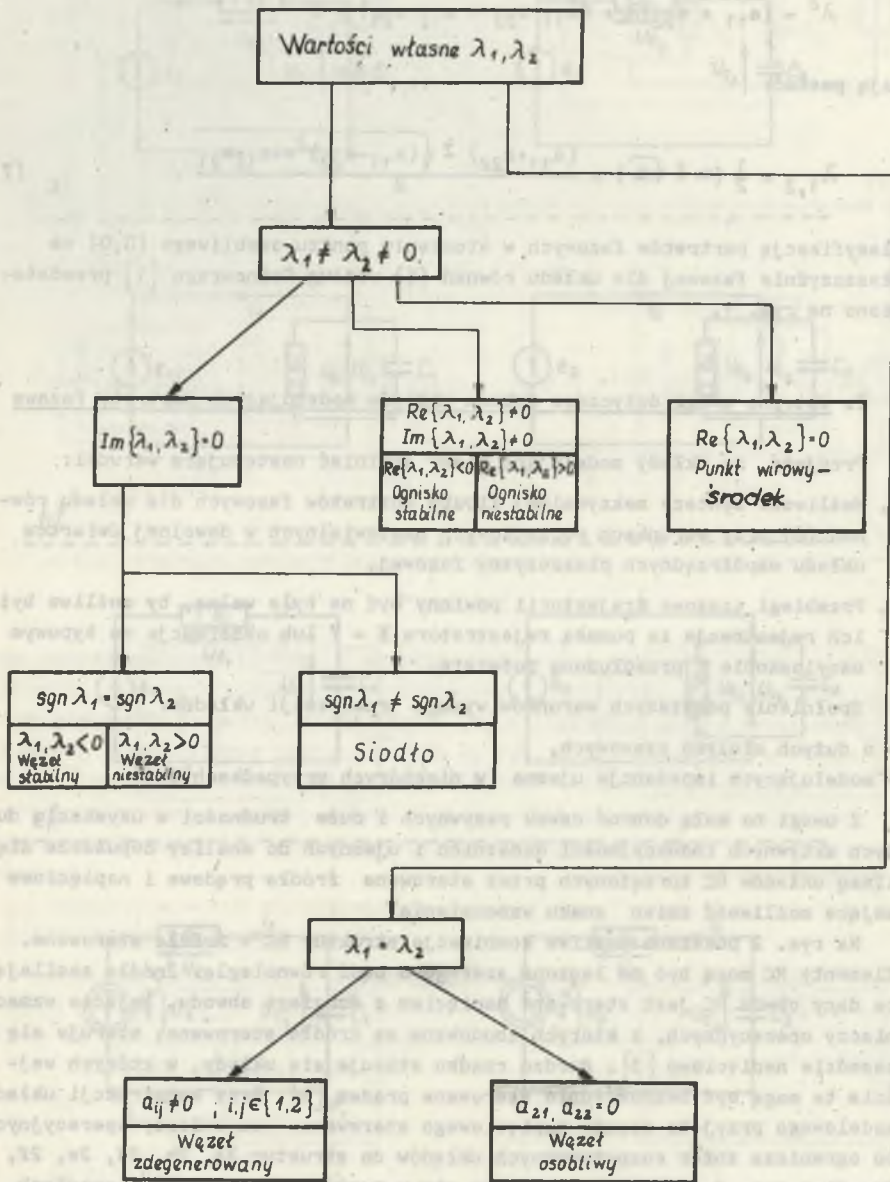
$[J_{kl}]$ - macierz Jordana przyporządkowana macierzy H_{kl} z pomocą przekształcenia podobieństwa.

Analiza wartości własnych macierzy $[H_{kl}]$ pozwala ustalić [4] pełną klasyfikację portretów fazowych dla układu równań (5) w otoczeniu punktu osobliwego, a tym samym pozwala ustalić klasyfikację portretów fazowych dla układów równań (3), (1), jeśli tylko wszystkie wartości własne macierzy $[H_{kl}]$ są różne od zera.

W niniejszej pracy przeprowadza się analizę możliwości uzyskania portretów fazowych w otoczeniu punktu osobliwego dla układu równań:

$$\frac{dx_1(t)}{dt} = a_{11} x_1(t) + a_{12} x_2(t) \quad (6)$$

$$\frac{dx_2(t)}{dt} = a_{21} x_1(t) + a_{22} x_2(t).$$



Rys. 1

Pierwiastki równania charakterystycznego układu równań (6)

$$\lambda^2 - (a_{11} + a_{22})\lambda + (a_{11}a_{22} - a_{12}a_{21}) = 0$$

mają postać:

$$\lambda_{1,2} = \frac{1}{2} (\alpha \pm \sqrt{\Delta}) = \frac{(a_{11} + a_{22}) \pm \sqrt{(a_{11} - a_{22})^2 + 4a_{12}a_{21}}}{2} \quad (7)$$

Klasyfikację portretów fazowych w otoczeniu punktu osobliwego (0,0) na płaszczyźnie fazowej dla układu równań (6) według Poincarego [1] przedstawiono na rys. 1.

2. Wstępne uwagi dotyczące doboru układów modelujących portrety fazowe

Przyjęto, że układy modelujące winny spełniać następujące warunki:

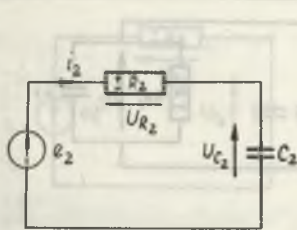
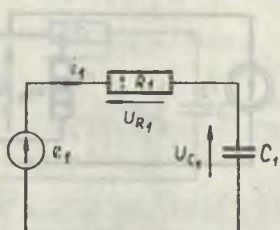
1. Możliwość syntezy maksymalnej liczby portretów fazowych dla układu równań (6) przy warunkach początkowych nastawialnych w dowolnej ćwiartce układu współrzędnych płaszczyzny fazowej.
2. Przebiegi czasowe trajektorii powinny być na tyle wolne, by możliwa była ich rejestracja za pomocą rejestratora X - Y lub obserwacja na typowym oscyloskopie z przedłużoną poświatą.

Spełnienie powyższych warunków wymaga realizacji układów:

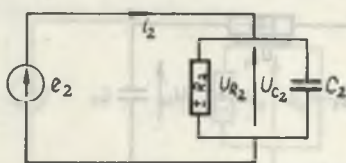
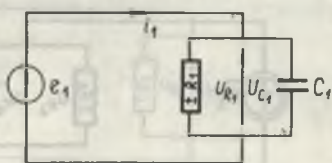
- o dużych stałych czasowych,
- modelujących impedancje ujemne (w niektórych przypadkach).

Z uwagi na małą dobroć cewek pasywnych i duże trudności w uzyskaniu dużych aktywnych indukcyjności dodatnich i ujemnych do analizy dopuszcza się klasę układów RC sprzężonych przez sterowane źródła prądowe i napięciowe mające możliwość zmian znaku wzmocnienia.

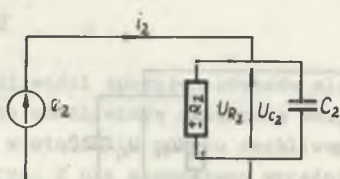
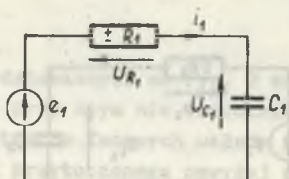
Na rys. 2 pokazano możliwe kombinacje struktur RC - źródła sterowane. Elementy RC mogą być tu łączone szeregowo bądź równolegle. Źródło zasilające dany obwód RC jest sterowane napięciem z drugiego obwodu. Wejścia wzmacniaczy operacyjnych, z których zbudowane są źródła sterowane, steruje się w zasadzie napięciowo [3]. Bardzo rzadko stosuje się układy, w których wejścia te mogą być bezpośrednio sterowane prądem [3]. Przy konstrukcji układu modelowego przyjęto zasadę napięciowego sterowania wzmacniaczy operacyjnych, co ogranicza zbiór rozpatrywanych układów do struktur 2a, 2b, 2d, 2e, 2f, 2g, 2i z rys. 2. Jeśli jako zmienne stanu przyjmie napięcia na elementach RC, prądy gałęziowe lub napięcia źródeł sterowanych (por. rys. 2), to drogą stosunkowo prostych obliczeń można sprawdzić, że każda ze struktur przedstawionych na rys. 2 jest opisywana równaniem o postaci (6). Każda ze struk-



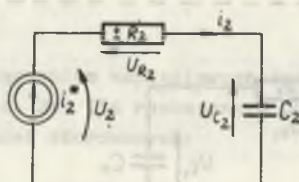
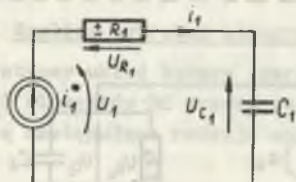
a/



b/

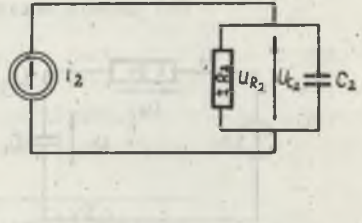
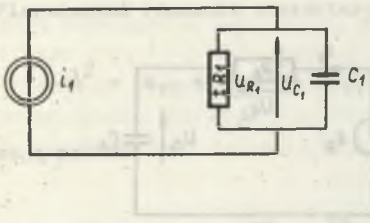


c/

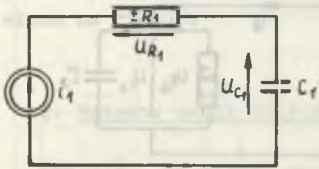


d/

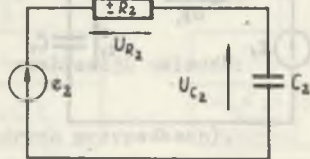
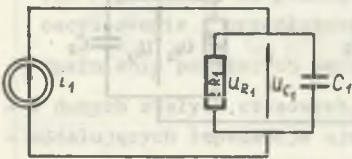
Rys. 2a-d



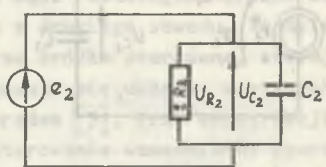
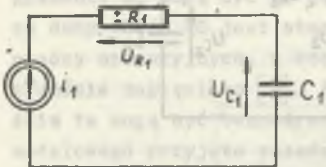
e/



f/

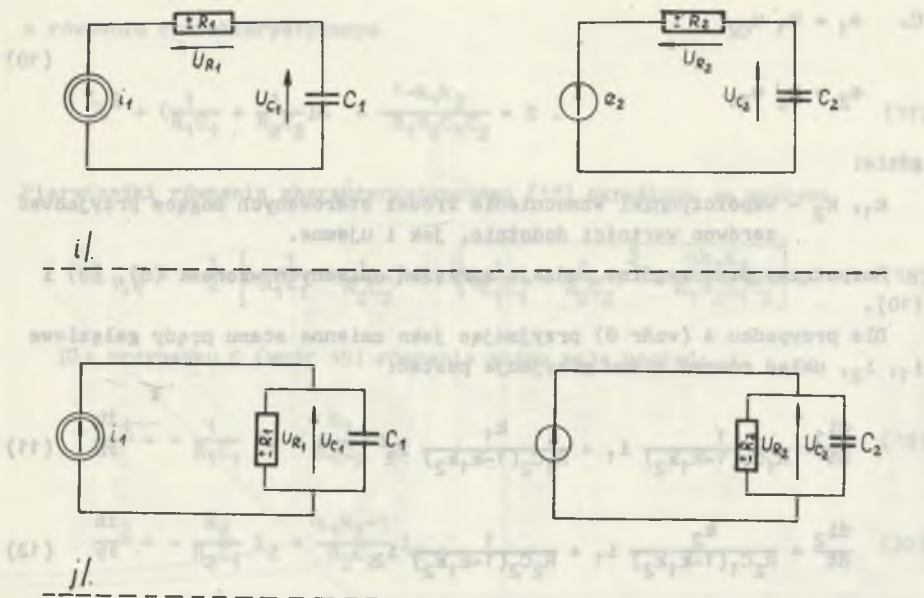


g/



h/

Rys. 2e-h



Rys. 2 i-j

tur przedstawionych na rys. 2 ma różne możliwości sprzężeń obwodów elementarnych, przy czym nie wszystkie sprzężenia umożliwiają uzyskanie wszystkich portretów fazowych układu równań (6) w otoczeniu punktu osobliwego $(0,0)$. Z przytoczonego powyżej powodu na rys. 2 nie zaznaczono wyraźnie sposobu sprzężeń dla każdej pary (struktury) obwodów elementarnych RC-źródło sterowane. Analizę wpływu tych sprzężeń na możliwości realizacji portretów fazowych dla wybranej struktury układu modelowego przedstawiono poniżej.

2.1. Analiza wybranej struktury

Rozpatrzmy układ będący szeregowym połączeniem napięciowych źródeł sterowanych i elementów RC przedstawiony na rys. 2a. Dla rozważanego układu możliwe są następujące rodzaje sprzężeń źródeł sterowanych:

$$A. \quad e_1 = k_1 u_{R2} \quad (8)$$

$$e_2 = k_2 u_{R1}$$

$$B. \quad e_1 = k_1 u_{C2} \quad (9)$$

$$e_2 = k_2 u_{C1}$$

$$C. \quad e_1 = k_1 u_{C2} \quad (10)$$

$$e_2 = k_2 u_{R1}$$

gdzie:

k_1, k_2 - współczynniki wzmocnienia źródeł sterowanych mogące przyjmować zarówno wartości dodatnie, jak i ujemne.

Rozpatrzmy poszczególne rodzaje sprzężeń opisanych wzorami (8), (9) i (10).

Dla przypadku A (wzór 8) przyjmując jako zmienne stanu prądy gałęziowe i_1, i_2 , układ równań stanu przyjmuje postać:

$$\frac{di_1}{dt} = \frac{1}{R_1 C_1 (1 - k_1 k_2)} i_1 + \frac{k_1}{R_1 C_2 (1 - k_1 k_2)} i_2 \quad (11)$$

$$\frac{di_2}{dt} = \frac{k_2}{R_2 C_1 (1 - k_1 k_2)} i_1 + \frac{1}{R_2 C_2 (1 - k_1 k_2)} i_2 \quad (12)$$

Równanie charakterystyczne przyporządkowane równaniom (11) i (12) ma postać:

$$\lambda^2 - \frac{R_1 C_1 + R_2 C_2}{R_1 R_2 C_1 C_2 (1 - k_1 k_2)} \lambda + \frac{1 - k_1 k_2}{R_1 R_2 C_1 C_2 (1 - k_1 k_2)^2} = 0. \quad (13)$$

Pierwiastki równania (13) są następujące:

$$\lambda_1 = 0, \quad \lambda_2 = - \frac{R_1 C_1 + R_2 C_2}{R_1 R_2 C_1 C_2 (1 - k_1 k_2)}, \quad 1 - k_1 k_2 \neq 0 \quad (14)$$

Ze wzoru (14) wynika, że dla struktury A nie istnieje możliwość generacji wszystkich portretów fazowych (trajektorii) (por. rys. 1).

Dla przypadku B (wzór 9) przyjmuje się jako zmienne stanu napięcia na kondensatorach, oznaczając je w dalszym ciągu przez u_1, u_2 ; uzyskuje się układ równań stanu:

$$\frac{du_1}{dt} = - \frac{1}{R_1 C_1} u_1 + \frac{k_1}{R_1 C_1} u_2, \quad (15)$$

$$\frac{du_2}{dt} = \frac{k_2}{R_2 C_2} u_1 - \frac{1}{R_2 C_2} u_2, \quad (16)$$

o równaniu charakterystycznym

$$\lambda^2 + \left(\frac{1}{R_1 C_1} + \frac{1}{R_2 C_2}\right)\lambda + \frac{1 - k_1 k_2}{R_1 R_2 C_1 C_2} = 0. \quad (17)$$

Pierwiastki równania charakterystycznego (17) określone są wzorem:

$$\lambda_{1,2} = -\frac{1}{2} \left[\left(\frac{1}{R_1 C_1} + \frac{1}{R_2 C_2}\right) \mp \sqrt{\left(\frac{1}{R_1 C_1} - \frac{1}{R_2 C_2}\right)^2 + \frac{4k_1 k_2}{R_1 R_2 C_1 C_2}} \right]. \quad (18)$$

Dla przypadku C (wzór 10) równania stanu mają postać:

$$\frac{di_1}{dt} = -\frac{1}{R_1 C_1} i_1 + \frac{k_1}{R_1 C_2} i_2 \quad (19)$$

$$\frac{di_2}{dt} = -\frac{k_2}{R_2 C_1} i_2 + \frac{k_1 k_2 - 1}{R_2 C_2} i_2, \quad (20)$$

o równaniu charakterystycznym

$$\lambda^2 - \frac{(k_1 k_2 - 1) R_1 C_1 - R_2 C_2}{R_1 R_2 C_1 C_2} \lambda + \frac{1}{R_1 R_2 C_1 C_2} = 0. \quad (21)$$

Pierwiastki równania charakterystycznego (21) określone są wzorem:

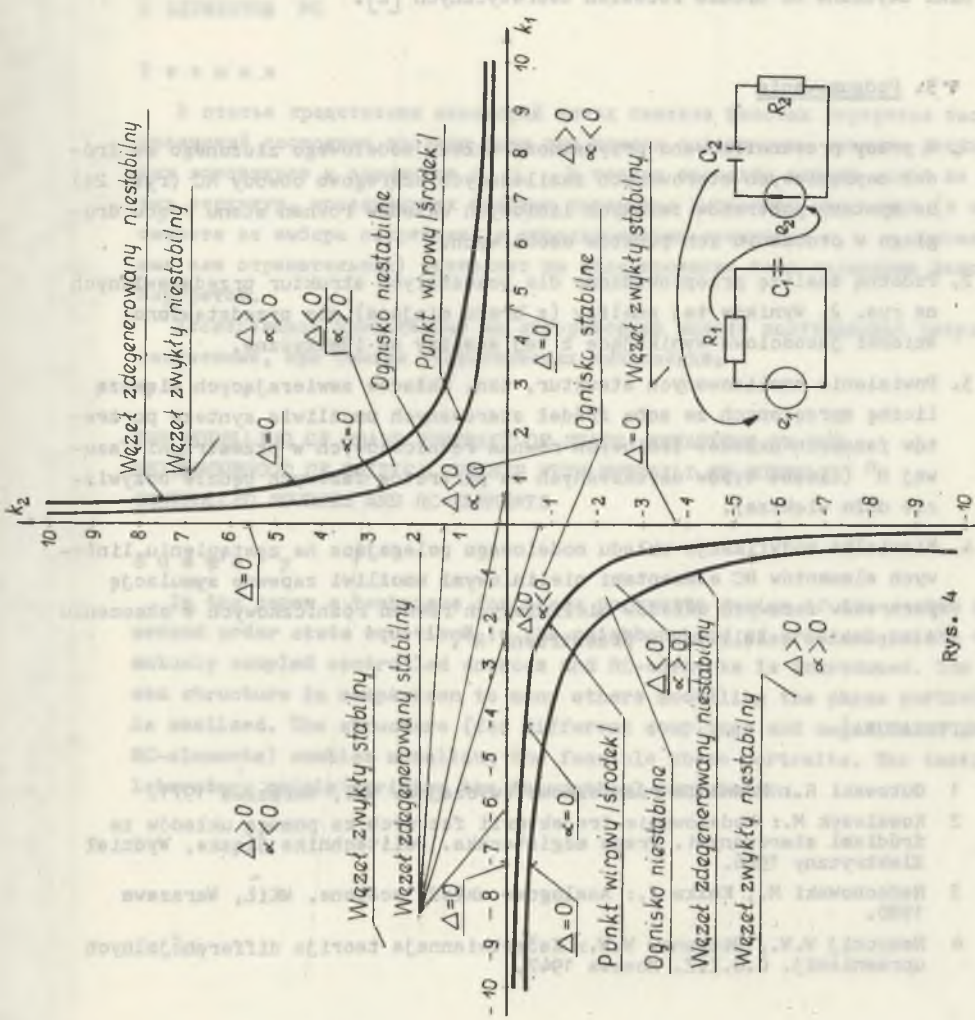
$$\lambda_{1,2} = \frac{1}{2R_1 R_2 C_1 C_2} \left[(k_1 k_2 - 1) R_1 C_1 - R_2 C_2 \pm \sqrt{((k_1 k_2 - 1) R_1 C_1 - R_2 C_2)^2 - 4R_1 R_2 C_1 C_2} \right]. \quad (22)$$

Analizując wyrażenia (18) i (22) zauważyć można, że dla dodatnich i ujemnych współczynników wzmocnień k_1 , k_2 oraz odpowiednich wartości elementów $\pm R_1$, $\pm R_2$, C_1 , C_2 możliwe jest wygenerowanie pierwiastków równania charakterystycznego λ_1 , λ_2 w dowolnym miejscu płaszczyzny Gaussa. Tak więc układ z rys. 2a przy sprzężeniach typu B i C umożliwia modelowanie wszystkich portretów fazowych podanych na rys. 1.

Dla przedstawionych przypadków B i C przeanalizowano wpływ poszczególnych parametrów na modelowanie różnych portretów fazowych.

Na rys. 3 przedstawiono miejsca geometryczne pierwiastków równania charakterystycznego dla przypadku B w funkcji pojemności C_1 , C_2 przy ustalonych wartościach R_1 , R_2 , k_1 , k_2 .

Na rys. 4 pokazano podobne miejsca geometryczne dla przypadku C w funkcji współczynników wzmocnienia k_1 , k_2 przy ustalonych wartościach R_1 , R_2 , C_1 , C_2 .



Rys. 4

Badania przeprowadzone na modelu doświadczalnym w pełni potwierdzają wyniki uzyskane na drodze rozważań teoretycznych [2].

3. Podsumowanie

1. W pracy przeanalizowano przydatność układu modelowego złożonego ze źródeł napięciowych sterowanych zasilających szeregowo obwody RC (rys. 2a) do syntezy portretów fazowych liniowych układów równań stanu rzędu drugiego w otoczeniu ich punktów osobliwych.
2. Podobną analizę przeprowadzono dla pozostałych struktur przedstawionych na rys. 2. Wyników tej analizy (z braku miejsca) nie przedstawiono. Wnioski jakościowe wynikające z tej analizy są identyczne.
3. Powielenie analizowanych struktur, tzn. układów zawierających większą liczbę sprzężonych ze sobą źródeł sterowanych umożliwi syntezę portretów fazowych układów liniowych równań różniczkowych w przestrzeni fazowej R^n (liczba typów uzyskiwanych tu portretów fazowych będzie oczywiście dużo większa).
4. Niewielka modyfikacja układu modelowego polegająca na zastąpieniu liniowych elementów RC elementami nieliniowymi umożliwi zapewne symulację portretów fazowych układów nieliniowych równań różniczkowych w otoczeniu ich punktów osobliwych w przestrzeni R^n .

LITERATURA

- 1 Gutowski R.: Równania różniczkowe zwyczajne. WNT, Warszawa 1971.
- 2 Kowalczyk M.: Modelowanie trajektorii fazowych za pomocą układów ze źródłami sterowanymi. Praca magisterska. Politechnika Śląska, Wydział Elektryczny 1986.
- 3 Nadachowski M., Kulka Z.: Analogowe układy scalone. WKiŁ, Warszawa 1980.
- 4 Nemyckij W.W., Stepanow W.W.: Kačestwiennaja teorija differencjalnych uprawnień. O.G.I.Z. Moskwa 1947.

Recenzent:

Prof. dr inż. Stanisław Bolkowski

Wpłynęło do Redakcji 15 kwietnia 1986 r.

МОДЕЛИРОВАНИЕ ФАЗОВЫХ ПОРТРЕТОВ ОБЩИХ ЛИНЕЙНЫХ ЦЕПЕЙ
ПРИ ПОМОЩИ СОПРЯЖЕННЫХ ВЗАИМНО РЕГУЛИРУЕМЫХ ИСТОЧНИКОВ
И ЭЛЕМЕНТОВ RC

Р е з ю м е

В статье представлен некоторый метод синтеза фазовых портретов системы уравнений состояния второго рода при помощи сопряженных взаимно регулируемых источников и элементов R, C. В статье проведен анализ одной из многих структур, моделирующих фазовые портреты. Выбранная структура (в зависимости от выбора сопряжений и использованных элементов R, C - положительных или отрицательных) позволяет на моделирование всех возможных фазовых портретов.

Исследования проведенные на лабораторной модели подтверждают результаты, полученные, при помощи теоретических вычислений.

THE MODELLING OF PHASE PORTRAIT OF STATE EQUATIONS IN THE
NEIGHBOURHOOD OF CRITICAL POINTS WITH MUTUALLY OF COUPPLED
CONTROLLED SOURCES AND RC-ELEMENTS

S u m m a r y

In the paper a technique for phase portraits design of the system of second order state equations in the neighbourhood of critical points with mutually coupled controlled sources and RC-elements is introduced. The chosen structure in comparison to many others modelling the phase portraits is analysed. The structure (for different couplings and negative or positive RC-elements) enables modelling the feasible phase portraits. The testing of laboratory models verifies the theoretical computation.